

# RADIO PLANS

## ELECTRONIQUE *Loisirs*

ISSN 0033 7668

N° 447 Février 1985

14 f

**Réalisez**

**Bargraph multiple  
sur écran couleur**

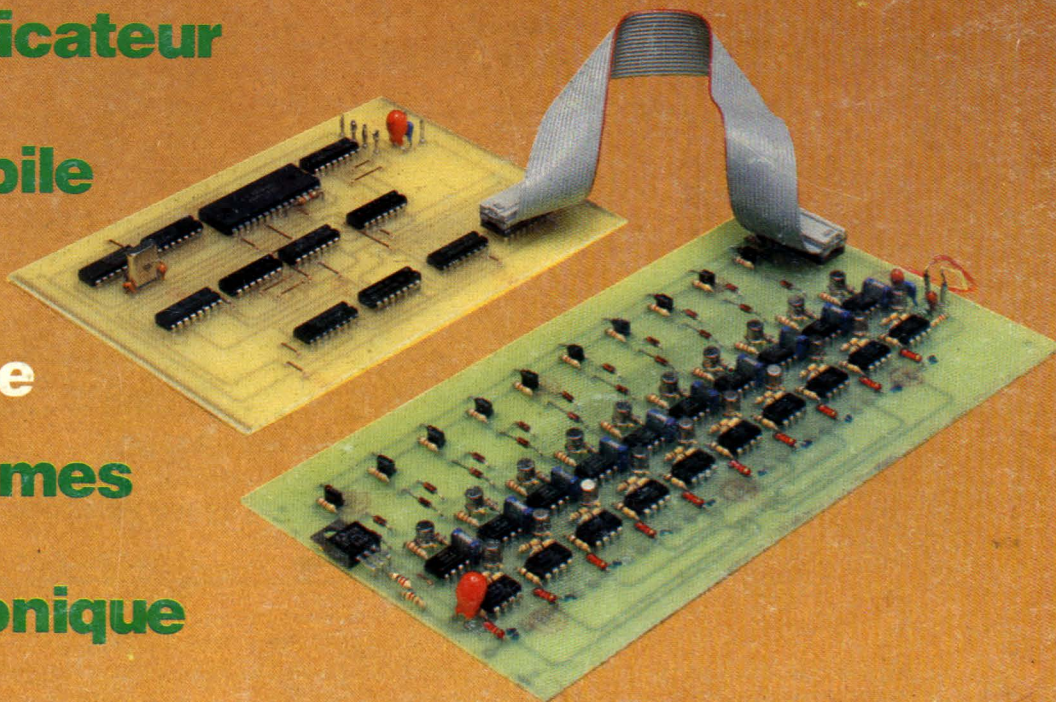
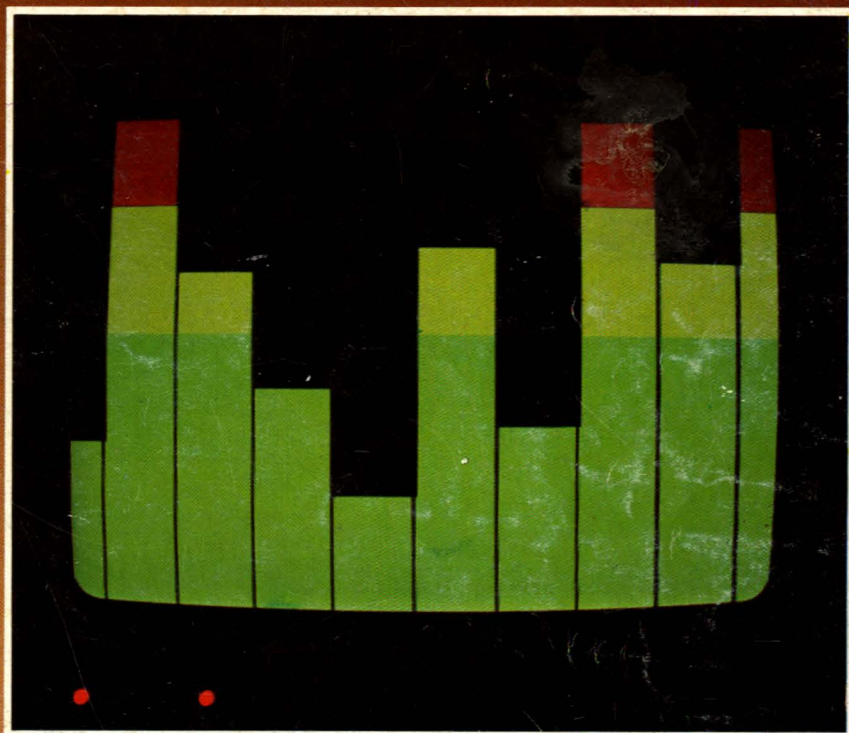
**Décodeur  
régénérateur FSK  
pour  
votre  $\mu$  ordinateur**

**Un détecteur  
de radioactivité**

**Un préamplificateur  
pour cellule  
à bobine mobile**

**$\mu$  informatique**

**Des programmes  
BASICODE  
pour l'électronique**







**DISTRIBUTEUR  
SIEMENS**  
343.31.65 +

11 bis, rue Chaligny 75012 PARIS

Métro : Reuilly Diderot - RER Nation

**SPECIALISTE CIRCUITS INTEGRES  
ET OPTOELECTRONIQUE SIEMENS**



**CIF - JELT - JBC - APPLICRAFT - ESM - PANTEC  
TOUT PRODUIT CLASSIQUE DISPONIBLE**

TARIFS QUANTITATIFS INDUSTRIES et PROFESSIONNELS

**EXTRAIT DE TARIF ET LISTE DE FICHES  
TECHNIQUES SUR SIMPLE DEMANDE**

Accompagne  
de 10,50 F  
en timbre

**FORAÎT EXPEDITION PTT : 20,00 F pour toute commande**

**CONDENSATEURS POLYESTER METALLISES MKH PLASTIPUCES**

B 32560 250 V 3,3 nF	1,30	15 nF	1,40	68 nF	1,70	220 nF	2,10	1 µF	4,20
1 nF	1,30	4,7	1,30	22	1,40	100	1,90	330 nF	2,70
B 32562	1,5	1,30	6,8	1,30	33	1,40	100 V 470	3,20	1,5
5,20	2,2	1,30	10	1,40	47	1,50	150	1,90	680
4,00	2,2	6,80							

**CONDENSATEURS CERAMIQUE PRO MULTICOUCHE XTR 5 mm 100 V**

220 pF	1,50	1 nF	1,50	6,8 nF	1,50	33 nF	1,60	> 2,2 nF : 50 V
330 pF	1,50	2,2 nF	1,50	10 nF	1,50	47 nF	1,80	
470 pF	1,50	3,3 nF	1,50	15 nF	1,50	68 nF	2,20	
680 pF	1,50	4,7 nF	1,60	22 nF	1,50	100 nF	2,50	

**CERAMIQUE DISQUE TYPE II (1 pF à 4,7 nF. E 12) l'unité 0,80**

**CERAMIQUE DECOUPLAGE INDUSTRIEL SIBATIT 63 V. 5 mm**

10 nF	1,00	22 nF	1,00	47 nF	1,00	100 nF	1,20
-------	------	-------	------	-------	------	--------	------

**CONDENSATEURS POLYPROPYLENE DE PRECISION 2,5 %**

De 47 pF à 33 nF. E 6 l'unité 2,50

**MICRO SELFS** pour C.I. 10 %. Format résistance. B78

De 1 µH à 4,7 mH. E 6 l'unité 3,50

**RESISTANCES 1/4 W : 0,30 F / 1/2 W : 0,30 F / 1 W : 0,70 F / 3 W : 8 F**

### CIRCUITS INTEGRES

L 296	136,00	SDA 2010-A1	110,00	TDA 1046/47	30,00
LM 311	13,00	SDA 2014	53,00	TDA 1048	32,00
S 576 B/C	36,00	SO 41 P	16,00	TDA 2593	22,00
SAB 0529	37,00	SO 42 P	18,00	TDA 4050 B	30,00
SAB 0600	34,00	TBA 120 S	13,00	TDA 4292	45,00
SAB 3210	55,00	TBA 231	14,00	TDA 4920	26,00
SAB 4209	76,00	TCA 205 A	38,00	TDA 7000	40,00
SAJ 141	51,00	TCA 345 A	19,00	TFA 1001 W	38,00
SAS 231 W	53,00	TCA 780	30,00	UAA 170/180	22,00
SAS 251	42,00	TCA 965	25,00		
SDA 2003 (promo)	100,00	TCA 4500 A	25,00		

µA 741 CP	5,00	NE 555 CP	5,00	LM 324 N	12,00
-----------	------	-----------	------	----------	-------

REGUL. TO220. 7805 à 7824	11,00	7905/6/8/12/15/18/24	12,50
---------------------------	-------	----------------------	-------

**Nouveaux circuits télécommande infrarouge**

Sorties directes 8 canaux	SLB 3801 - Emetteur	40,00 F
	SLB 3802 - Récepteur	60,00 F

**OPTOELECTRONIQUE SIEMENS**

Led Rectangulaire	2,70	Led 5 mm	1,70	Led 3 mm	1,70
Led Bicolore R.V.	8,00	Led 2,54 mm	2,90	Led 1 x 1,5 mm	3,70
INFRAROUGE : LED LD 271	3,30	Led clignotante	10,00		
		PHOTOTRANSISTOR BP 103 B	5,00		

**AFFICHEUR A LED**

	Poi Rouge	Vert		Poi Rouge	Vert
10 mm			13 mm		
HD 1105 chiffre	AC	13,50 15,50	HD 1131 chiffre	AC	12,00 14,00
HD 1106 chiffre	AC	15,50 17,50	HD 1132 chiffre	AC	14,50 16,50
HD 1107 chiffre	KC	13,50 15,50	HD 1133 chiffre	KC	12,00 14,00
HD 1108 chiffre	KC	15,50 17,50	HD 1134 chiffre	KC	14,50 16,50
7 mm					
HD 1075 chiffre	AC	13,50 15,50	DL 3401 chiffre	AC	28,20
HD 1076 chiffre	AC	15,50 17,50	DL 3403 chiffre	KC	28,20
HD 1077 chiffre	KC	13,50 15,50	DL 3406 chiffre	AC + KC	29,20
HD 1078 chiffre	KC	15,50 17,50			

**CONDENSATEURS CHIMIQUES - TANTALES GOUTTE - TRANSISTORS - DIODES - PONTS - CONNECTIQUE - COFFRETS - CIRCUIT IMPRIME - VOYANTS - INTERRUPTEURS - SOUDURE - MESURE - ETC...**

DEMANDEZ L'EXTRAIT DE TARIF 10,50 F en timbres

# RADIO PLANS

**ELECTRONIQUE Loisirs**

Société Parisienne d'Édition

Société anonyme au capital de 1 950 000 F. Siège social : 43, rue de Dunkerque, 75010 Paris. Direction-Rédaction-Administration-Ventes : 2 à 12, rue de Bellevue, 75940 Paris Cedex 19 - Tél. : 200.33.05.

Président-Directeur Général  
Directeur de la Publication  
**Jean-Pierre VENTILLARD**

Rédacteur en chef  
**Christian DUCHEMIN**

Rédacteur en chef adjoint  
**Claude DUCROS**

Courrier des lecteurs  
**Paulette GROZA**

Publicité : Société auxiliaire de publicité, 70, rue Compans, 75019 Paris. Tél. : 200.33.05 C.C.P. 37-93-60 Paris.

Chef de publicité : **Mlle A. DEVAUTOUR**  
Service promotions : **S. GROS**  
Direction des ventes : **J. PETAUTON**

Radio Plans décline toute responsabilité quant aux opinions formulées dans les articles, celles-ci n'engageant que leurs auteurs. Les manuscrits publiés ou non ne sont pas retournés.

« La loi du 11 mars 1957 n'autorisant aux termes des alinéas 2 et 3 de l'article 41, d'une part, que « copies ou reproductions strictement réservées à l'usage privé du copiste et non destinées à une utilisation collective » et, d'autre part, que les analyses et les courtes citations dans un but d'exemple et d'illustration, « toute représentation ou reproduction intégrale, ou partielle, faite sans le consentement de l'auteur ou de ses ayants-droits ou ayants-causes, est illicite » (alinéa premier de l'article 40). Cette représentation ou reproduction, par quelque procédé que ce soit, constituerait donc une contrefaçon sanctionnée par les articles 425 et suivants du Code Pénal. »

Abonnements : 2 à 12, rue de Bellevue, 75019 Paris.  
France : 1 an 112 F - Étranger : 1 an 205 F (12 numéros).  
**Pour tout changement d'adresse, envoyer la dernière bande accompagnée de 2 F en timbres.**  
**IMPORTANT : ne pas mentionner notre numéro de compte pour les paiements par chèque postal.**



Ce numéro a été tiré  
à 93800 exemplaires

Copyright ©1985

**Dépôt légal février 1985 - Editeur 1265 - Mensuel paraissant en fin de mois. Distribué par S.A.E.M. Transport-Presses. Composition COMPOGRAPHIA - Imprimeries SNIL Aulnay-sous-Bois et REG Torcy.**

### COTATION DES MONTAGES

Les réalisations pratiques sont munies, en haut de la première page, d'un cartouche donnant des renseignements sur le montage et dont voici le code :

**temps :**



Moins de 2 h de câblage



Entre 2 h et 4 h de câblage



Entre 4 h et 8 h de câblage



Plus de 8 h

**difficulté :**



Montage à la portée d'un amateur sans expérience particulière



Mise au point nécessitant un matériel de mesure minimum (alim., contrôleur)



Montage nécessitant des soins attentifs et un matériel de mesure minimum



Une excellente connaissance de l'électronique est nécessaire ainsi qu'un matériel de mesure évolué (scope, géné BF, contrôleur, etc.)

**dépense :**



Prix de revient inférieur à 200 F



Prix de revient compris entre 200 F et 400 F



Prix de revient compris entre 400 F et 800 F



Prix de revient supérieur à 800 F



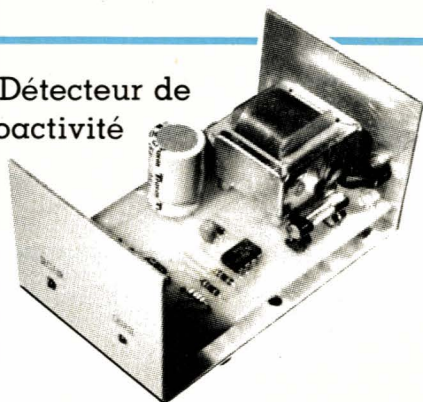
# SOMMAIRE

## N° 447 FEVRIER 1985

### Réalisation

- 29** Pré-préampli pour cellules à bobines mobiles

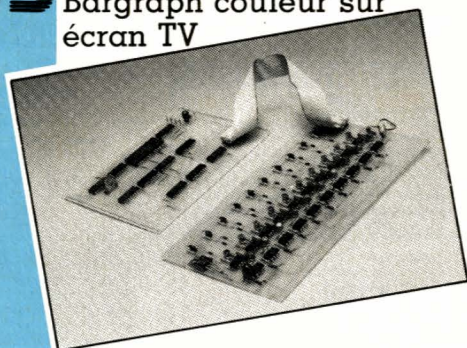
- 35** Détecteur de radioactivité



- 47** Console de mixage modulaire (2<sup>e</sup> partie)

- 61** Décodeur - régénérateur de signaux FSK

- 65** Bargraph couleur sur écran TV



### Technique

- 51** Fiches « mesure » détachables

- 91** Les capteurs (fin)



### Micro-Informatique

- 19** Votre ordinateur et les circuits LC

- 24** Votre ordinateur et les circuits RC



- 57** Rectificateur du moniteur assembleur - désassembleur pour ORIC

- 87** Initiation au langage machine (2<sup>e</sup> partie)

### Divers

- 26** Fiche de commande de circuits imprimés

- 58** En visite chez Cholet Composants

- 86** Page circuits imprimés

Ont participé à ce numéro:

J. Alary, M. Barthou, C. Bergerot, J. Cecaldi, C. Couillec, F. de Dieuleveult, P. Gueulle, P. Hiraga, M.-A. de Jacquemet, C. de Maury, Ch. Pannetier, M. Rateau, J. Sabourin, R. Schnebelen.





# LEXTRONIC

33-39, avenue des Pinsons, 93370 MONTFERMEIL  
Tél.: 388.11.00 (lignes groupées) C.C.P. La Source 30.576.22

s.a.r.l. Ouvert du mardi au samedi de 9 h à 12 h et de 13 h 45 à 18 h 30. Fermé dimanche et lundi  
CRÉDIT CETELEM • EXPORTATION : DÉTAXE SUR LES PRIX INDiquÉS

## ENSEMBLES DE RADIOCOMMANDE 1 A 14 CANAUX

LEXTRONIC propose une gamme étendue d'ensembles E/R de radiocommande, utilisant du matériel de haute qualité, ces appareils sont étudiés afin de permettre la commande à distance de relais avec une grande sécurité de fonctionnement, grâce à un codage à l'émission et à la réception en PCM, pratiquement imbrouillables par les CB, Talky-Walky, radiocommandes digitales, etc. Les portées de ces appareils sont données à titre indicatif, à vue et sans obstacle. Pour de plus amples renseignements, consultez notre catalogue. Prix spéciaux par quantité.

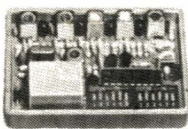
Modèle de haute fiabilité et de très belle présentation, pratiquement imbrouillable grâce à son codage PCM avec programmation du code à l'émission et à la réception par mini-interrupteurs DIL (8192 combinaisons).

EMETTEUR 8192 AT livré en boîtier luxe noir (92 x 57 x 22 mm), avec logement pour pile 9 V min, puis. HF 600 mW 9 V. Cons. 120 mA (uniquement sur ordre), test pile par LED. Existe en 3 présentations :

- 1) EMETTEUR 8192 AT équipé d'une antenne télescopique de 70 cm pour une portée supérieure à 1 km.
- 2) EMETTEUR 8192 AC équipé d'une antenne souple type «caoutchouc» de 15 cm pour une portée de l'ordre de 300 à 500 m.
- 3) EMETTEUR 8192 SA sans antenne extérieure (incorporée à l'intérieur du boîtier pour une portée de l'ordre de 100 à 200 m).

MEME ENSEMBLE 8192 en version 72 MHz émetteur-récepteur en ordre de marche, avec quartz ..... **991,90 F**

### ENSEMBLE MONOCANAL 8192 MINIATURE 41 MHz



EMETTEUR 8192 complet en kit (spécifier la version, AT, AC ou SA), livré avec son boîtier luxe et quartz émission 41 MHz: **334,75 F**  
MEME EMETTEUR 8192 livré sous forme de platine complète en kit, avec quartz émission, mais sans inter, sans antenne télescopique ou caoutchouc, ni boîtier ..... **231,75 F**  
PLATINE SEULE 8192 en ordre de marche ..... **263,25 F**  
EMETTEUR 8192 (spécifier la version) en ordre de marche, sans pile) ..... **437,75 F**

RECEPTEUR monocanal 8192 livré en boîtier plastique (72 x 50 x 24 mm). Alimentation 9 à 12 V. Très grande sensibilité (< 1 µV) CAP sur 4 étages, équipé de 9 transistors et 2 Cl. Sortie sur relais 1 RT 10A. Consom. au repos de 15 mA. Réponse de l'ens. E/R 0,5 s env. RECEPTEUR 8192 complet en kit, avec quartz ..... **369,50 F**  
RECEPTEUR 8192 en ordre de marche ..... **472,80 F**

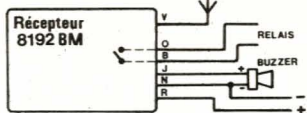
**NEW !**

RECEPTEUR 8192 BM. Mêmes caractéristiques et dimensions que les modèles 8192, mais équipé d'un relais bistable à mémoire. Fonctionne en version monocanal bistable avec les émetteurs 8192 AT, AC ou SA, le relais de sortie basculant alternativement sur «arrêt, marche, arrêt, marche» etc. à chaque impulsion de l'émetteur ou en version 2 canaux bistables en utilisant l'émetteur 2 canaux 8192 SP2, dans ces conditions, les fonctions «arrêt» et «marche» sont déterminées par l'un des 2 canaux de l'émetteur.

— Alim. 8 à 12 V, consom. identique de 15 mA env. avec relais de sortie en position contact «ouvert» ou «fermé», (intensité des contacts : 5 A max.).

Une sortie temporisée de 1 s. env. est prévue pour le branchement éventuel d'un buzzer piezo (intensité max. 30 mA) permettant le contrôle auditif de fonctionnement de chaque changement d'état du relais bistable.

Le récepteur 8192 BM, complet en kit, version 41 MHz avec quartz : **417 F**  
Prix  
Le récepteur 8192 BM en ordre de marche avec quartz ..... **558 F**



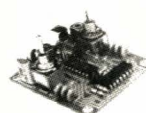
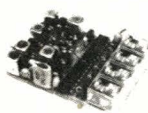
Emetteur 2 canaux 8192 SP2AC (version antenne caoutchouc 15 cm) ou 8192 SP2A (version sans antenne), en ordre de marche avec quartz ..... **499,50 F**

ENSEMBLE MONOCANAL 27 ou 72 MHz (portée supérieure à 1 km). Programmation du code à l'émission et à la réception par mini-interrupteurs. Puissance 1 WHF, 12 V. PLATINE SEULE (HF + codeur) dim: 110 x 25 x 16 mm. Complet en kit, sans quartz : **296,00 F** Monté : **434,40 F**  
RECEPTEUR MONOCANAL livré avec boîtier (dim: 72 x 50 x 24 mm), sortie sur relais étanches : 2RT 5A. Alimentation : 4V8. Complet, en kit, sans quartz : **382,00 F** Monté : **462,00 F**

### ENSEMBLE 4 CANAUX 27 ou 72 MHz

(portée 500 mètres)  
EMETTEUR miniature 4 canaux, 350 mW, 9 V, complet avec boîtier (dim: 12 x 58 x 23 mm). Manches de commande antenne télescopique, etc. sans quartz.

En kit : **342,00 F**  
Monté : **398,00 F**



RECEPTEUR 4 canaux, alim. 4,8 V, livré avec boîtier (72 x 50 x 24 mm), sortie sur relais IRT 2A.  
Complet en kit, sans quartz : **358,00 F** Monté : **492,50 F**

### ENSEMBLE 14 CANAUX 27 ou 72 MHz

(portée supérieure à 1 km) à commandes momentanées ou avec mémoire.

EMETTEUR 14 canaux, 1 WHF, 12 V, complet avec boîtier (dim. 128 x 93 x 35 mm). Antenne télescopique, manches de commande, etc.

Sans quartz en kit : **579,00 F** Monté : **798,00 F**

Option : Batterie 12 V, 500 mAh : **208,00 F**

RECEPTEUR 14 canaux : sortie sur relais étanches 2RT 5A. Complet en version monocanal.

Sans quartz en kit : **329,00 F** Monté : **418,00 F**

Par canal supplémentaire en kit : **77,45 F**. Monté **89,55 F**

### ENSEMBLE DE TELECOMMANDE 14 CANAUX 41 MHz. A MODULATION DE FREQUENCE

(Commandes non simultanées). Appareils codés à l'émission et à la réception en PCM.

L'émetteur EMZ14 est livré uniquement sous forme de platine câblée et réglée (dim: 170 x 25 mm) comportant la partie émission en 41 MHz FM et le codeur, mais sans antenne ni leviers de commande. Puissance HF 0,8 W. Alim. 12 V.

Le récepteur REZ14 est livré également sous forme de platine câblée et réglée avec sortie sur 14 relais IRT 5 A. Alim. 4,8 à 6 V. Consom. au repos : 10 mA environ. Dim: 170 x 85 x 25 mm.

Platine émetteur EMZ14 en ordre de marche, avec quartz ..... **436,80 F**

Platine récepteur REZ14 en ordre de marche, montée en 14 canaux ..... **1255,00 F**

**NEW !**

### ENSEMBLE DE RADIOCOMMANDE 14 canaux à commandes simultanées 41 MHz à modulation de fréquence.

Cet ensemble E/R permet la commande de relais avec possibilité d'obtenir jusqu'à 7 commandes simultanées. Le temps de réponse de l'ensemble E/R est de 0,5 s.

La présentation de l'émetteur ES14CX est identique au modèle ES14CX réf. 222 (non compatible), il existe en 2 versions, soit avec antenne télescopique (portée supérieure à 2 km à vue) soit type «caoutchouc» de 15 cm (portée de 300 à 500 m), à spécifier à la commande. Puissance HF 1,8 W.

Le récepteur RS14CX est équipé de connecteurs permettant de recevoir 7 modules encartables de décodage 2 canaux avec sortie sur relais IRT 5 A. L'alimentation du récepteur se fait sous 6 V.

Emetteur ES14CX 41 MHz en ordre de marche, équipé de sa batterie Cadmium-Nickel : 12 V 500 mA ..... **1288 F**

Platine récepteur de base RS14CS, en ordre de marche avec quartz, mais sans module ..... **1120 F**

Module encartable 2 canaux avec 2 relais, montage ..... **220 F**

Antenne type «caoutchouc» 15 cm seule, avec embase isolante ..... **95 F**

**NEW !**

## A NOTRE RAYON ALARME

Conditions aux  
revendeurs pour  
quantités

### LES RADARS VOLUMETRIQUES «LEXTRONIC» RV004 et RV005 A INFRAROUGE PASSIF

Se caractérisent par leurs dimensions réduites ainsi que par une très faible consommation de veille (3 mA environ). Les portées opérationnelles (réglables) sont de 6 à 12 m maxi avec un angle de couverture de 70° environ. Le déclenchement de ces radars se fait par détection de variation de température causée par la radiation du corps humain (infrarouge passif). Ils utilisent un détecteur spécial muni d'un filtre sélectif de longueur d'ondes bien spécifique de la température du corps humain évitant ainsi tous les déclenchements intempestifs. De plus, ces radars ne traversent pas les cloisons ni les vitres. Ils possèdent également une très grande immunité contre la lumière, les bruits, etc. Ils sont équipés d'un contrôleur visuel par Led réagissant dès le passage d'une personne (ou d'un animal dans la zone couverte par le radar).

Nombres applications : Antivol, déclenchement automatique d'alarmes, d'appareil photo ou caméra, magnétophone, vidéo de surveillance, objet animé, guirlandes, spots, système de sécurité, etc.



RADAR RV004 : Dim: 57 x 37 x 20 mm. Modèle spécialement étudié pour fonctionner avec la centrale d'alarme CAP 002. Alim. 12 V. Consom. en veille 3 mA.

En kit : **330 F** Monté : **402 F**

RADAR RV005 : mêmes caractéristiques que le RV004, mais dim: 72 x 50 x 24 mm, il comporte également les temporisations d'entrées (10 s) de sortie (90 s) et de durée d'alarme (redéclenchable) de 60 s. Les sorties se font sur relais incorporé I RT 3A pouvant actionner directement une sirène ou tout autre appareil.

En kit ..... **389 F** Monté ..... **480,30 F**

Documentation  
contre enveloppe timbrée\*

\*Egalement en stock, centrales d'alarme, barrières infrarouges, alimentations secteur, sirènes, etc.

### QUARTZ NOUVELLE BANDE 26 MHz

BOITIER HC25U. Partiel 3, sorties par broches pour ensembles LEXTRONIC en AM.

#### FREQUENCES DISPONIBLES :

E26.815 MHz	R26.360 MHz	E26.875 MHz	R26.420 MHz
E26.835 MHz	R26.380 MHz	E26.905 MHz	R26.460 MHz
E26.855 MHz	R26.400 MHz		

Prix du jeu E/R en AM ..... **120 F**

Fréquence E/R 26.875 MHz pour ensembles

LEXTRONIC EN FM ..... **163 F**

Veuillez m'adresser VOTRE DERNIER CATALOGUE + LES NOUVEAUTES  
(ci-joint 30 F en chèques) ou seulement vos NOUVEAUTES  
(ci-joint 10 F en chèque)

Nom ..... Prénom .....

Adresse .....

RP 02/85

**NEW !**

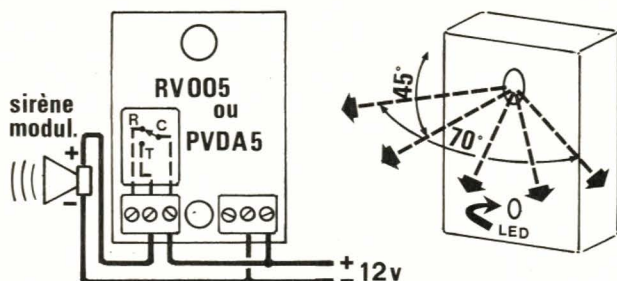
## INCROYABLE LE PVDA-5 !

### SYSTEME D'ALARME SANS FIL (protection volumétrique à dépression atmosphérique)

Fonctionne dès l'ouverture d'une porte ou d'une fenêtre donnant sur l'extérieur (aucun contact ni dispositif spécial à monter sur celles-ci). Se déclenche également en cas de bris de glaces. Entièrement autonome le PVDA-5 permet de protéger plusieurs locaux même sur plusieurs étages (jusqu'à 1500 m). L'avantage par rapport au radar est que toute personne ou animal peut se déplacer librement à l'intérieur des pièces protégées sans déclenchement du système.

#### MONTAGE TYPE

#### RV004/ RV005



NOMBRES APPLICATIONS : antivol, protection des personnes âgées, détecteur de présence pour magasins, etc.  
Dim: 72 x 50 x 24 mm. Alim: 8 à 12 V, 4 mA en veille. Sortie sur relais IRT 5 A incorporé. Temporisations : sorties : 1 mn, entrée : 10 s, alarme autoréclenchable : 1 mn. Contrôle des différentes fonctions par Led 3 couleurs. Réglage de sensibilité. Le PVDA-5A est vivement conseillé comme antivol voiture.

PRIX EN DIRECT DU FABRICANT, MONTE : **480,30 F**

Démonstration dans notre magasin  
Documentation contre enveloppe timbrée à 3,70 F + port 34 F ou contre-remboursement 40 F





## Votre ordinateur et les circuits accordés

Le calcul précis d'un circuit accordé self-capacité ou circuit LC est une épreuve suffisamment fastidieuse pour que « tombent à l'eau » bien des projets imaginés par nos lecteurs.

Du calcul de la fréquence de résonnance à celui du nombre de spires à bobiner sur un mandrin existant, il ne manque pas de formules qui ne demandent qu'à être programmées sur un quelconque ordinateur BASIC. Ainsi, les tâtonnements indispensables à la recherche de la meilleure solution pratique ne se traduiraont pas par des heures passées à noircir du papier !

Quelques logiciels ont bien été publiés ici ou là, mais pour des ordinateurs bien précis tels que ZX 81 ou ORIC. Nous nous adressons aujourd'hui à **tous les possesseurs d'ordinateurs programmables en BASIC**, quelle que soit la marque de leur matériel, grâce à l'emploi du BASICODE, que nous avons largement présenté dans nos derniers numéros.

### Informations préliminaires

Nos lecteurs les plus fidèles ne sont pas sans savoir que NOS BASICODE-2 est un procédé permettant l'écriture et la diffusion par cassettes ou radio de programmes BASIC compatibles avec la plupart des ordinateurs d'amateur.

Pour de plus amples renseignements, on pourra se reporter utilement à nos précédents articles sur le sujet.

Nous utilisons pour nos logiciels une version « améliorée » du BASICODE mis au point en Hollande, et dérivée de celle utilisée par la BBC sous le nom de BASICODE 2 +.

En fait, nous sommes allés encore plus loin dans la direction suivie par la BBC, en nous interdisant volontairement d'employer les instructions ou les formulations posant des problèmes aux utilisateurs de machines SINCLAIR (dont nous sommes !).

Seule entorse à ces bonnes résolutions, nous n'avons pas voulu alourdir par trop nos programmes en renonçant à la possibilité d'écrire plusieurs instructions par ligne. Nous avons cependant laissé assez de place pour que les possesseurs de ZX 81 puissent facilement les séparer en lignes numérotées indivi-



duellement : ce n'est qu'une affaire de saisie au clavier.

Nous nous sommes également « fait plaisir » en adoptant une mise en page aérée sur l'écran, obtenue par de fréquents sauts de ligne.

Bien que nous ayons scrupuleusement respecté la limite de 24 lignes fixée par les conventions BASICODE (en nous limitant d'ailleurs à 32 caractères par ligne au lieu des 40 autorisés !), des débordements d'écran pourront se produire avec des machines telles que certains TRS 80 (16 lignes). Dans de tels cas, le remède est simple : il suffit de supprimer suffisamment de PRINT « vides ».

On pourra de même abréger les textes affichés lorsque l'écran n'accepte que moins de 32 caractères par ligne (cas du VIC 20 avec 22 caractères), et que l'on désire éviter des coupures peu esthétiques.

Nos logiciels peuvent cependant être frappés directement et sans modification sur le clavier de la plupart des ordinateurs existants ou à venir, du SPECTRUM à l'APPLE en passant par les ORICs.

Si certains de nos lecteurs devaient rencontrer des problèmes particuliers avec des machines moins courantes, qu'ils n'hésitent surtout pas à nous en faire part, même s'ils ont trouvé facilement la solution.

Nous ne pouvons évidemment nous engager à leur répondre personnellement, mais nous tiendrons

compte de leurs avis lors de l'écriture de nos futurs logiciels en BASICODE.

## Détermination de la valeur de la self

Partons du principe que l'amateur utilise des condensateurs de valeurs normalisées (au besoin ajustables), évalue tant bien que mal la capacité parasite venant s'y ajouter, puis construit sa self en conséquence.

Le logiciel de la figure 1 permet, grâce à la formule de Thomson, de déterminer la valeur de la self conduisant, pour une capacité d'accord donnée, à une fréquence de résonance que l'on se fixe.

Le résultat est donné en microhenrys, unité la plus courante en radio.

Nous ne nous étendrons pas sur le fonctionnement du programme lui-même, tout l'intérêt du BASICODE étant justement de rendre possible la fourniture de logiciels « clés en mains ». Rappelons cependant que ce programme est inutilisable seul. La figure 1 ne reproduit que la section de logiciel indépendante de la machine employée, et commençant à la ligne 1000. Avant cette ligne 1000, il faut loger les routines BASICODE normalisées qui, elles, sont spécifiques de l'ordinateur utilisé mais ne dépendent pas du logiciel d'application. Nous avons déjà publié quelques exemples de ces

« adaptateurs », destinés à des machines telles que SPECTRUM, ZX 81, ou DRAGON.

Voici aujourd'hui ceux relatifs à l'ORIC ATMOS et à l'ORIC 1, respectivement reproduits aux figures 2 et 3.

Il ne s'agit pas de créations originales, ni d'ailleurs des seules solutions possibles : comme les précédents, ces programmes reprennent des routines extraites des cassettes de la radiofréquence néerlandaise NOS, de la BBC, reçues par radio ou mises au point soit par nous soit par des amateurs. Nous les considérons comme des exemples présentant des idées aussi variées que possible pour la reconstitution des instructions BASIC interdites en BASICODE.

Même s'il ne s'agit dans notre esprit que d'exemples pouvant être améliorés (et nos lecteurs ne s'en priveront pas !), ces routines fonctionnent toutes en conformité avec le protocole BASICODE.

Si donc, vous possédez l'une des machines pour lesquelles nous avons publié un « adaptateur », alors conservez soigneusement celui-ci sur une cassette : il vous suffira de le recharger avant la frappe de l'un quelconque de nos programmes BASICODE. Au terme de votre saisie, un simple RUN suffira pour que l'ensemble fonctionne exactement comme sur le SPECTRUM qui nous a servi à l'origine.

Bien sûr, si vous possédez la cassette de la NOS-HILVERSUM ou de la BBC, servez-vous en, et chargez le programme destiné à votre ordinateur personnel !

A vrai dire, notre logiciel de la figure 1 n'utilise que deux des routines standard BASICODE :

— le « chapeau » toujours indispensable ;

— la routine d'effacement d'écran.

La figure 4 reproduit donc ce « programme minimum » dans le cas d'un SPECTRUM : mettez bout à bout les figures 4 et 1, et vous retrouverez notre logiciel « de travail ».

```

1000>LET A=100:GO TO 20:REM ***** CIRCUITS LC *****
1010 GO SUB 100: PRINT : PRINT
1015 PRINT "      CALCUL DE CIRCUITS LC"
1020 PRINT "      ====="
1030 PRINT : PRINT : PRINT
1040 PRINT "FREQUENCE DE RESONANCE EN HZ ?"
1050 INPUT F: PRINT "F = ";F;" HZ": PRINT
1060 PRINT "CAPACITE EN PF ?"
1070 INPUT C: PRINT "C = ";C;" PF": PRINT
1080 FOR G=1 TO 12
1090 LET C=C/10
1100 NEXT G
1110 LET L=1000000/(39.4784*F*F*C)
1120 LET L=(INT (100*L))/100
1230 PRINT "===== "
1240 PRINT "SELF : L = ";L;" MICROHENRYS"
1250 PRINT "===== "
1260 PRINT : PRINT : PRINT
1270 PRINT "NOUVELLE VALEUR DU CONDENSATEUR"
1280 INPUT C: GO SUB 100: PRINT : PRINT
1290 PRINT "F = ";F;" HZ": PRINT : PRINT
1300 PRINT "C = ";C;" PF": PRINT : PRINT
1310 GO TO 1080
1320 REM NOS BASICODE 2
1330 REM COPYRIGHT 1984
1340 REM PATRICK GUEULLE
    
```

Figure 1

```

10 RUN 1000
20 GO TO 1010
100 CLS : RETURN
    
```

Figure 4



```

1 REM**** ORIC ATMOS ****
10 POKE#26A,35
20 GOTO1010
100 CLS:RETURN
110 IF HO<0 OR HO>39 THEN RETURN
112 IF VE<0 OR VE>26 THEN RETURN
115 PRINT@HO,VE:CHR$(0):RETURN
120 HO=PEEK(#269):VE=PEEK(#268)-1:RETURN
200 IN$=KEY$:RETURN
210 GET IN$:RETURN
250 PING:RETURN
260 RV=RND(1):RETURN
270 FR=FRE(""):RETURN
300 SR$=STR$(SR):IF SR<0 THEN RETURN
305 SR$=RIGHT$(SR$,LEN(SR$)-1):RETURN
310 RA=ABS(SR)
312 IF RA+0.5>=1E9 OR (RA<>0 AND RA<5E-8) THEN 335
315 RI=RA-INT(RA)+0.500000002*10^-CN
317 IFCN=0 THEN RI$=""ELSE RI$=MID$(STR$(RI+1),3,CN+1)
318 SR$=STR$(INT(RA)+INT(RI))
320 SR$=MID$(SR$,2,LEN(SR$))+RI$
325 IFSR<0 THEN SR$="-"+SR$
330 IF LEN(SR$)<=CT THEN 340
335 SR$=RIGHT$("*****",CT):RETURN
340 SR$=LEFT$(" ",CT-LEN(SR$))+SR$:RETURN
350 LPRINT SR$:RETURN
360 LPRINT:RETURN

```

Figure 2

```

1 REM**** ORIC 1 ****
10 POKE#26A,35
20 GOTO1010
100 CLS:RETURN
110 IF HO<0 OR HO>39 THEN RETURN
112 IF VE<0 OR VE>26 THEN RETURN
115 CALL#A7E4:POKE#268,VE+1:POKE#269,HO:CALL#A7FE:
RETURN
120 HO=PEEK(#269):VE=PEEK(#268)-1:RETURN
200 IN$=KEY$:RETURN
210 GET IN$:RETURN
250 PING:RETURN
260 RV=RND(1):RETURN
270 FR=FRE(""):RETURN
300 SR$=STR$(SR):RETURN
310 RA=ABS(SR)
312 IF RA+0.5>=1E9 OR (RA<>0 AND RA<5E-8) THEN 335
315 RI=RA-INT(RA)+0.500000002*10^-CN
317 IFCN=0 THEN RI$=""ELSE RI$=MID$(STR$(RI+1),3,CN+1)
318 SR$=STR$(INT(RA)+INT(RI))
320 SR$=MID$(SR$,2,LEN(SR$))+RI$
325 IFSR<0 THEN SR$="-"+SR$
330 IF LEN(SR$)<=CT THEN 340
335 SR$=RIGHT$("*****",CT):RETURN
340 SR$=LEFT$(" ",CT-LEN(SR$))+SR$:RETURN
350 LPRINT SR$:RETURN
360 LPRINT:RETURN

```

Figure 3

## Et les autres machines ?

Nous ne pouvons évidemment fournir les « adaptateurs » BASICODE pour tous les ordinateurs existants !

Notre article du N°445 permet à tout programmeur connaissant bien sa machine d'en écrire un lui-même,

et nous en publierons d'autres lorsque l'occasion se présentera.

Néanmoins, nous accompagnons nos logiciels BASICODE à venir, des routines qui leur sont nécessaires, écrites pour les machines les plus répandues, sous une forme condensée.

Ainsi, le lecteur disposera d'un logiciel immédiatement utilisable, sans avoir obligatoirement à se reporter à des numéros précédents dont il ne dispose pas forcément.

La figure 5 fournit donc une sélection de « chapeaux » et la figure 6

```

00 REM **** SPECTRUM ****
10 RUN 1000
20 GO TO 1010
00 REM **** ZX 81 ****
10 RUN 1000
20 GOTO 1010
00 REM **** DRAGON ****
10 GOTO 1000
20 CLEAR A : GOTO 1010
00 REM **** ORIC 1 ****
10 POKE #26A,35
20 GOTO 1010
00 REM **** ATMOS ****
10 POKE #26A,35
20 GOTO 1010
00 REM **** APPLE II et IIE ***
10 GOTO 1000
20 GOTO 1010
00 REM **** THOMSON T07 ****
10 COLOR 0 : GOTO 1000
20 CLEAR A : GOTO 1010

```

Figure 5

```

000 REM **** SPECTRUM ****
100 CLS : RETURN
000 REM **** ZX 81 ****
100 CLS
102 RETURN
000 REM **** DRAGON ****
100 CLS : RETURN
000 REM **** ORIC 1 ****
100 CLS : RETURN
000 REM **** ATMOS ****
100 CLS : RETURN
000 REM **** APPLE II et IIE ***
100 HOME : RETURN
000 REM **** THOMSON T07 ****
100 CLS : RETURN

```

Figure 6

un choix de routines GOSUB 100 (effacement d'écran) pour les ordinateurs suivants :

SPECTRUM, ZX 81, DRAGON 32 et 64, ORIC 1, ATMOS, APPLE II et IIE, THOMSON T07.

Nos lecteurs sont bien sûr cordialement invités à nous faire part de leurs créations susceptibles de contribuer à l'allongement de cette liste au fil de nos futurs numéros !

En attendant, la majorité d'entre vous doit déjà être en mesure d'établir avec l'ordinateur un dialogue ressemblant à celui de la figure 7 !

## Fabrication du bobinage

Connaître la valeur de la self à réaliser est une chose, passer à sa construction en est une autre !

Selon le problème exact à résoudre, que nous ne sommes pas censé



```
CALCUL DE CIRCUITS LC
=====
FREQUENCE DE RESONANCE
EN HZ ? F = 1E+8 HZ
CAPACITE EN PF ?
C = 22 PF
```

```
=====
SELF : L = 0.11 MICROHENRYS
=====
```

```
NOUVELLE VALEUR DU CONDENSATEUR
```

```
F = 1E+8 HZ
C = 47 PF
```

```
=====
SELF : L = .05 MICROHENRYS
=====
NOUVELLE VALEUR
DU CONDENSATEUR
```

Figure 7

```
1000>LET A=400:GO TO 20:REM ***** BOBINES *****
1010 GO SUB 100: PRINT : PRINT : PRINT
1015 PRINT "      CALCUL DE BOBINAGES"
1020 PRINT "      ====="
1030 PRINT : PRINT : PRINT
1040 PRINT "VALEUR SELF EN MICROHENRYS ?"
1050 INPUT L: PRINT L;" MICROHENRYS"
1060 PRINT : PRINT : PRINT
1070 PRINT "SUR AIR OU SUR POT FERRITE ?"
1080 PRINT : PRINT "(PRESSER A OU P PUIS RET. CH.)"
1090 INPUT Z$
1100 IF Z$="A" THEN GO TO 2000
1110 IF Z$="P" THEN GO TO 4000
1120 GO SUB 100: GO TO 1060
2000 REM FORMULE DE NAGAOKA
2010 GO SUB 100: PRINT : PRINT
2020 PRINT "DIMENSIONS PREVUES EN CM ?"
2030 PRINT "=====": PRINT
2040 PRINT "DIAMETRE MOYEN EN CM : ";
2050 INPUT D: PRINT D: PRINT
2060 PRINT "HAUTEUR OU LONGUEUR : ";
2070 INPUT LG: PRINT LG: PRINT
2080 PRINT "EPAISSEUR DE FIL : ";
2090 INPUT E: PRINT E: PRINT
2100 LET N=SQR ((L*((3*D)+(9*LG)+(10*E)))/(0.08*D*D))
2110 LET N=INT (N): PRINT
2120 PRINT "=====
2130 PRINT "      BOBINER ";N;" SPIRES"
2140 PRINT "POUR ";L;" MICROHENRYS"
2150 PRINT "=====
2160 PRINT : PRINT "NOUVELLES DIMENSIONS ? O/N +RET"
2170 INPUT Z$
2180 IF Z$="N" THEN STOP
2190 IF Z$="O" THEN GO TO 2010
2200 GO TO 2170
4000 GO SUB 100: PRINT : PRINT
4010 PRINT "COEFFICIENT DU POT EN NH/SP 2 ?"
4020 INPUT A: GO SUB 100: PRINT
4030 LET N=SQR (L/(A/1000))
4040 LET N=INT (N)
4050 PRINT "POUR OBTENIR UNE SELF DE"
4060 PRINT L;" MICROHENRYS": PRINT : PRINT
4070 PRINT "=====
4080 PRINT "BOBINEZ ";N;" SPIRES DE FIL"
4090 PRINT : PRINT "DANS UN POT DE ";A;" NH/SP 2"
4100 PRINT "=====
4110 PRINT : PRINT : PRINT
4120 PRINT "AUTRE COEFFICIENT ? O/N + RET"
4130 INPUT Z$
4140 IF Z$="O" THEN GO TO 4000
4150 IF Z$="N" THEN STOP
4160 GO TO 4130
4170 REM NOS BASICODE 2
4180 REM COPYRIGHT 1984
4190 REM PATRICK GUEULLE
```

Figure 8

connaître, on peut recourir à deux technologies principales :

- bobinage sur air (une ou plusieurs couches de fil sur un mandrin isolant dans lequel on se réserve la possibilité d'introduire une vis de réglage si des corrections sont à opérer) ;

- bobinage sur ferrite (pot d'inductance spécifique connue, éventuellement ajustable par vis de réglage).

Les méthodes de calcul à utiliser sont diamétralement opposées. Dans le cas du bobinage sur air, on applique la formule de NAGAOKA qui, très empirique, suppose la prédiction purement « pifométrique » de certaines caractéristiques géométriques du futur bobinage (en particulier l'épaisseur du fil bobiné, avant même de connaître le nombre de spires !). Il faudra donc exécuter le calcul plusieurs fois, par approches successives, jusqu'à ce que le nombre de spires nécessaire puisse « tenir » dans l'encombrement prévu.

Le problème est voisin dans le cas d'un pot ferrite : si le coefficient spécifique est mal choisi, ou bien jamais le nombre de spires calculé n'y tiendra, ou bien il y aura de la place perdue.

Le logiciel de la figure 8 permet de se débarrasser de cette recherche en un temps record. Les routines standard BASICODE sont les mêmes que pour le programme précédent.

L'exemple de dialogue reproduit à la figure 9 montre, comme d'ailleurs celui de la figure 10 qui le complète, l'usage du terme « RET. CH. » ou « RETOUR CHARIOT ».

Il s'agit tout simplement de la touche de validation du clavier qui, selon les machines, s'appelle ENTER, NEWLINE, RETURN, CARRIAGE RETURN, etc.

Il fallait bien choisir un terme plus ou moins universel !



## Sauvegarde sur cassette

Lorsque votre programme est complet (routines spécifiques à votre machine et partie commune), vous pouvez le sauver sur cassette selon la procédure habituelle de votre ordinateur (SAVE, CSAVE, etc.).

Si vous possédez la cassette NOS ou BBC, vous pouvez aussi grâce aux routines machine qu'elle contient, enregistrer ce programme en STANDARD BASICODE.

Il s'agit d'une variante du fameux « Kansas City », accélérée à 1 200 bauds, et que tout ordinateur muni d'un logiciel BASICODE complet (pas seulement les routines standard) peut lire sans problème.

Ainsi, si vous changez un jour d'ordinateur, ou si vous souhaitez prêter la cassette à un utilisateur d'une autre machine, il ne sera pas nécessaire de repartir du listing ! Ajoutons que ce « format » d'enregistrement sur cassette se révèle souvent plus rapide et plus fiable que celui adopté par le fabricant de bien des ordinateurs : ce n'est pas pour rien qu'il permet aux programmes de franchir des centaines de kilomètres sur les ondes des stations de radio néerlandaises et britanniques...

## Conclusion

Voici donc quelques exemples de programmes BASICODE appliqués à l'électronique, que tous nos lecteurs équipés d'un ordinateur pourront utiliser sans avoir à les transformer de fond en comble.

Nous comptons prochainement compléter cette série, puis aborder d'autres domaines d'applications qui, nous le savons, vous intéressent aussi, quelle que soit la machine dont vous pouvez être équipé. A bientôt donc avec BASICODE !

Patrick GUEULLE



### CALCUL DE BOBINAGES =====

VALEUR SELF EN MICROHENRYS ?  
15 MICROHENRYS

SUR AIR OU SUR POT FERRITE ?  
(PRESSER A OU P PUIS RET. CH.)

DIMENSIONS PREVUES EN CM ?  
=====

DIAMETRE MOYEN EN CM : 1

HAUTEUR OU LONGUEUR : 1

EPAISSEUR DE FIL : 0.1

=====

BOBINER 49 SPIRES  
POUR 15 MICROHENRYS

=====

NOUVELLES DIMENSIONS ? O/N +RET

Figure 9

### CALCUL DE BOBINAGES =====

VALEUR SELF EN MICROHENRYS ?  
50000 MICROHENRYS

SUR AIR OU SUR POT FERRITE ?  
(PRESSER A OU P PUIS RET. CH.)

POUR OBTENIR UNE SELF DE  
50000 MICROHENRYS

=====

BOBINEZ 447 SPIRES DE FIL  
DANS UN POT DE 250 NH/SP 2

=====

AUTRE COEFFICIENT ? O/N + RET

Figure 10



**ROCHE**  
200, avenue d'Argenteuil  
92600 ASNIERES Tél.: 799.35.25

Commandez par  
téléphone :  
799.35.25 ou 798.94.13  
et gagnez du temps.  
SPECIALISTE DE LA VENTE  
PAR CORRESPONDANCE  
DEPUIS 9 ANS

Magasin ouvert du mardi au samedi inclus  
de 9h à 12h et de 14h15 à 19 h

# VOTRE REGLEMENT N'EST ENCAISSE QU'APRES EXPEDITION DU MATERIEL

EXPEDITIONS RAPIDES (P et T) sous 2 jours ouvrables du matériel en stock. Commande minimum : 40 F+port. Frais de port et d'emballage : PTT ordinaire : 24 F. PTT URGENT : 30 F. Envoi en recommandé : 35 F pour toutes les commandes supérieures à 200 F. Contre remboursement 6 France métropolitaine uniquement) : recommandé+taxe : 38 F. DOM-TOM et étranger : règlement joint à la commande+port recommandé. PAR AVION : port recommandé+55 F (sauf en recommandé : les marchandises voyagent toujours à vos risques et périls).

## + de 258 KITS EXPOSES EN MAGASIN ET GARANTIS 1 AN NOTICE DE MONTAGE DETAILLEE JOINTE (LC=avec boîtier)

<b>KITS - JEUX DE LUMIERE</b>	
PL 03 Modulateur 3 voies, 3 x 1200 W	90 F
PL 05 Modulateur 3 voies, 3 x 1200 W + préampli	100 F
PL 07 Modulateur 3 voies, 3 x 1200 W inverse	100 F
PL 08 Modulateur 3 voies, 3 x 1200 W à MICRO	120 F
PL 37 Modulateur + Chenillard 4 voies 4 x 1200 W	180 F
OK 26 Modulateur 1 voie 1200 W	48 F
OK 11 Voie négative pour modulateur	26 F
OK 126 Amplificateur pour modulateur	74,40 F
PL 13 Chenillard 4 voies, 4 x 1200 W	120 F
PL 24 Chenillard 6 voies, 6 x 1200 W MODULE	150 F
KN 49 Chenillard 6 voies, 6 x 1200 W SEQUENTIAL	245 F
EL 42 Chenillard 10 voies, 10 x 1200 W	220 F
PL 71 Chenillard 10 voies, 2048 programmes	250 F
PL 15 Stroboscope 40 joules	120 F
KN 33 Stroboscope 60 joules	130 F
KN 33 à Déclatateur en métal pour KN 33	48 F
2014 Stroboscope 300 joules	245 F
2014 Stroboscope 2 x 300 joules alterné	355 F
PL 42 Gradateur de lumière 1000 W	40 F
KN 35 Gradateur de lumière 1200 W	50 F
PL 48 Gradateur à touch control 1000 W	120 F
50 Inter à touch control 1200 W	83,30 F
PL 30 Clip-Interrupteur, sortie sur relais	90 F
PL 35 Clip-Interrupteur, sortie sur relais	75 F
PL 36 Télérupteur	90 F

<b>KITS - AMPLI - PREAMPLI - EQUALIZER</b>	
PL 16 Ampli BF 2 W / 8 Ω	50 F
PL 52 Ampli stéréo 2 x 15 W ou mono 30 W	100 F
OK 30 Ampli BF 4,5 W / 8 Ω	63,70 F
OK 31 Ampli BF 10 W / 4,8 Ω	97 F
OK 32 Ampli BF 30 W / 4,8 Ω	126,40 F
PL 91 Ampli-préampli correcteur stéréo 2 x 30 W	330 F
PL 91 Ampli-préampli correcteur stéréo 2 x 45 W	450 F
PL 97 Amplificateur Hi-Fi 30 W efficace	290 F
PL 98 Amplificateur guitare 80 W efficace	390 F
KN 13 Préampli MONO pour cellule magnétique 47 F	
KN 14 Correcteur de tonalité mono	52 F
2022 Préampli correcteur stéréo	275 F
2022 Correcteur de tonalité stéréo	102,80 F
2022 Correcteur de tonalité stéréo	156 F
EL 148 Equalizer stéréo 6 voies	225 F
2052 Equalizer stéréo 10 voies	595 F
PL 62 Vu-mètre stéréo 2 x 6 leds	100 F
PL 65 Vu-mètre stéréo à aiguilles	92 F

<b>KITS - EMISSION - RECEPTION</b>	
005 Emetteur FM de 60 à 145 MHz	
P: 300 mW. Portée 8 km. Alim. de 4,5 à 40 V	51 F
OK 61 Emetteur FM réglable, avec mètre	57,80 F
Plus 35 Emetteur FM, de 60 à 108 MHz	140 F
Micro pastille	26 F
Antenne télescopique pour émetteurs FM	26 F
PL 50 Mini récepteur FM + amplificateur	160 F
KN 48 Mini récepteur FM sur écouteur	75 F
OK 44 Décodeur stéréo à CI	116,60 F
KN 9 Convertisseur AM/VHF, 118-130 MHz	44 F
KN 10 Convertisseur FM/VHF, 150-170 MHz	47 F
KN 20 Convertisseur 27 MHz, réception CB	61 F
OK 122 Récepteur à 200 MHz, 5 gammes	125 F
OK 17 Oscillateur code morse	46 F
KN 17 bis Manipulateur code morse	28 F
OK 100 VFO pour 27 MHz	93,10 F
OK 107 Récepteur 27 MHz, 4 canaux, LC	255 F
OK 108 Récepteur MARINE, FM 144 MHz, LC	255 F
OK 109 Récepteur bande police, FM, LC	255 F
OK 163 Récepteur AM, bande AVIATION, LC	255 F
OK 181 Décodeur de BLU ou CW	125 F
OK 81 Récepteur PO-GO, sur écouteur	65 F
OK 165 Récepteur bande CHAULIERS, LC	255 F
PL 79 Récepteur FM stéréo, 98 à 104 MHz	260 F
OK 179 Récepteur OC 1 MHz, LC avec ampli BF	255 F
OK 130 Modulateur UHF, son/image	79 F
PL 14 Préampli d'antenne 27 MHz	70 F
KN 45 Préampli d'antenne PO-GO-OC-FM	32 F
PL 17 Convertisseur 27 MHz sur 20	90 F
PL 33 Générateur 9 tons pour appels CB	90 F
PL 23 Emetteur 27 MHz en FM, 1 watt	100 F
PL 63 Préampli TV, UHF/VHF, Gain 20 dB	110 F

<b>KITS - AUTO - MOTO</b>	
2009 Compte-tours auto-moto à 12 LEDs	133 F
057 Booster 2 x 30 W, alim. 12 volts	230 F
OK 87 Allumage électronique à décharge capacitive. Complet avec boîtier	399 F
OK 46 Cadenceur pour essuie-glace, réglable	73,50 F
OK 59 Antivol à ultra-sons pour voiture	190 F
PL 32 Interphone moto à 2 postes	250 F
OK 35 Détecteur de vergles	67,60 F
PL 83 Compte-tours digital pour auto 0-9900 T/m	150 F
PL 78 Allumage électronique à décharge capacitive 270 F	
OK 165 Détecteur de réservoir d'essence à led	53,50 F
PL 60 Modulateur, 3 voies à leds pour voiture	100 F
OK 154 Antivol moto avec détecteur de chocs	125 F
PL 47 Antivol pour voiture temporisé	110 F

<b>KITS - TEMPS ET TEMPERATURE</b>	
PL 141 Horloge digitale, heure et minute en 12 v	160 F
PL 122 Horloge digitale, heure et minute en 220 v	160 F
EL 128 Horloge digitale, heure et minute en 12 v	124 F
OK 141 Chronomètre digital, 0 à 99 s en 2 gms	195 F
OK 1 Minuterie 10 s à 5 mn, sortie sur triac	
P 1600 W	83,30 F
OK 43 Thermomètre digital 0-99°-2° afficheur	180 F
OK 96 Thermomètre à ultra-sons pour diapositives	93,10 F
PL 29 Thermomètre réglable, 0-99°-s/relais	100 F
PL 45 Thermomètre digital, 0-99°-s/relais	210 F
EL 202 Thermomètre digital, 0-99°-2° mémoires	225 F

## NOUVELLE GAMME 140 SUPER-LOTS

QUALITE et PRIX IMBATTABLES. UN SUCCES CONSACRE  
Tous nos super-lots sont exposés en magasin pour votre contrôle de la qualité et des prix

### FINI LES MONTAGES INACHEVES ET LES COURSES BREDOUILLES

<b>RESISTANCES 1/2 watt. Tolérance 5 %</b>	
N° 100 : les 20 principales valeurs vendues en magasin de 10Ω à 1 MΩ, 10 par valeur. Les 200 résistances	35,00 F
<b>RESISTANCES 1/4 de watt. Tolérance 5 %</b>	
N° 150 : les 16 principales valeurs vendues en magasin de 10Ω à 1 MΩ, 10 par valeur. Les 160 résistances	28,00 F
<b>CONDENSATEURS CERAMIQUE isolement 50 volts</b>	
N° 200 : les 10 principales valeurs vendues en magasin de 10 pF à 820 pF, 10 par valeur. Les 100 condensateurs	44,00 F
N° 211 : les 7 principales valeurs vendues en magasin de 1 nF à 47 nF, 10 par valeur. Les 70 condensateurs	35,00 F
<b>CONDENSATEURS MYLAR 250 volts</b>	
N° 220 : les 7 principales valeurs vendues en magasin de 1 nF à 0,1 μF, 10 par valeur. Les 70 mylars	66,50 F
<b>CONDENSATEURS-CHIMIQUE isolement 25 volts</b>	
N° 240 : les 7 principales valeurs vendues en magasin de 1 mF à 100 mF, 10 par valeur. Les 70 chimiques	70,00 F
<b>DIODES ET POINTS DE DIODES les plus courants :</b>	
N° 301 : 20 diodes de commutation 1N4148 (= 1N914)	12,00 F
N° 304 : 20 diodes de redressement 1N4004 (1 A/400 V)	16,00 F
N° 305 : 10 diodes de redressement BY 253 (3 A/600 V)	24,00 F
N° 310 : 4 points de diodes universels 1A/50 V	20,00 F
<b>ZENERS MINIATURES 400 mW série BZX 46 C...</b>	
N° 320 : les 5 valeurs les plus vendues en magasin de 4,7 à 12 V, 4 par valeur. Les 20 zeners 0,4 W	30,00 F

<b>FUSIBLES VERRE 5 x 20 mm ET SUPPORTS</b>	
N° 700 : les 5 principales valeurs vendues en magasin et 10 par valeur : 0,1-0,5-1-2 et 3A les 50 fusibles	40,00 F
N° 720 : 10 supp. pour CI 16,00 F N° 721 : 4 supp. châssis 18,00 F	
<b>PRISES ET COUPLEURS ALIMENTATION B.T.</b>	
N° 450 : 10 pressions pour pile 9 volts	14,00 F
N° 451 : 2 coupleurs pour 2 piles bâton 1,5 V	6,00 F
N° 452 : 2 coupleurs pour 4 piles bâton 1,5 V	8,00 F
N° 454 : 4 pinces crocodile isolées	7,20 F
N° 455 : 10 passe-fils en caoutchouc Ø 4 mm	7,50 F
N° 456 : 2 pinces batterie 15 ampères	8,60 F
<b>POTENTIOMETRES AJUSTABLES AU PAS DE 2,54 mm</b>	
N° 800 : les 7 principales valeurs vendues en magasin et 4 par valeur : 1-2-2,4-10-22-47 et 100K. Les 28 potentiomètres	42,00 F
<b>LEDS Ø 5 mm. 1re QUALITE</b>	
N° 1101 : 10 rouges + 10 vertes. Les 20 leds	30,00 F
N° 1102 : 25 rouges	37,50 F
N° 1103 : 25 vertes	38,80 F

## RAYON LIBRAIRIE ELECTRONIQUE ET INFORMATIQUE

<b>LV 87 L'électronique ? rien de plus simple</b>	65 F
LV 32 Montages électroniques amusants et instructifs	58 F
LV 10 Le dépannage TV rien de plus simple	60 F
LV 16 La TV couleur, mais c'est très simple	55 F
LV 14 Le transistor mais c'est très simple	55 F
LV 33 Initiation à l'emploi des C.I. digitaux	52 F
LV 43 Réglage et dépannage des TV à couleurs	100 F
LV 51 Réglage et dépannage des TV à transistors	85 F
OK 128 Circuits intégrés TV	100 F
LV 97 Réparation des récepteurs à transistors	70 F
LV 176 Pratique l'électronique en 15 leçons	85 F
LV 101 Le dépannage des pannes TV par la mire et l'oscilloscope	70 F
LV 105 200 montages électroniques simples	110 F
LV 172 Sécurité et alarme, législation - montages	60 F
LV 69 40 gadgets auto-moto	70 F
LV 93 100 applications des ampli OP	80 F
LV 9 Montages à circuits intégrés	55 F
LV 91 100 montages à transistors	55 F
LV 178 Pratique de CB	58 F
LV 25 Schémas d'ampli BF à transistors	60 F
LV 117 Petits montages d'électronique pratiques	65 F
LV 118 Radiocommande pratique	65 F
LV 119 La pratique des transistors	60 F
LV 125 Guide pratique radioélectronique	60 F
LV 18 Basse fréquence, calculs et schéma	100 F
LV 26 Technologie des composants électron. Tome 1	110 F
LV 27 Technologie des composants électron. Tome 2	110 F
LV 72 Circuits intégrés linéaires	115 F
LV 75 Circuits intégrés, JFET, MOS, CMOS	160 F
LV 88 Technologie des circuits imprimés	60 F
LV 171 Cours pratique d'électronique	165 F
LV 15 Radio-tubes	45 F
LV 54 Télé-tube	45 F
LV 44 Constructions des récepteurs toutes gammes	115 F
LV 95 Equivalences circuits intégrés	115 F
LV 10 Répertoire mondial des semi-conducteurs	110 F
LV 115 Répertoire mondial des transistors (+ 20 000)	115 F
LV 2 Répertoire mondial des ampli OP	125 F
LV 13 Répertoire mondial des microprocesseurs	125 F
LV 55 Répertoire mondial des CI numériques	120 F
LV 48 Pratique de la vidéo	105 F
LV 173 Magnétoscopes à cassettes	105 F
LV 60 La pratique des antennes	110 F
LV 19 Théorie et pratique des microprocesseurs	110 F
LV 53 Interfaces pour micro-ord. et microprocesseurs	75 F
LV 119 Initiation aux fichiers basic	95 F
LV 52 Initiation au langage basic	130 F
LV 1 Initiation au langage assembleur	90 F
LV 4 Initiation au langage Pascal	85 F
LV 35 50 programmes ZX spectrum	85 F
LV 116 Guide pratique des radios livres	65 F
LV 170 30 montages électroniques d'alarme	35 F
LV 30 Montages expérimentaux opto-elect.	35 F
LV 4 Initiation à la micro-informatique	35 F
LV 6 Montages électroniques divertissants et utiles	35 F
LV 6 Montages à capteurs photo-sensibles	35 F
LV 7 Les égaliseurs graphiques	35 F
LV 8 Pianos électroniques et synthétiseurs	35 F
LV 9 Recherches méthodiques des pannes radio	35 F
LV 11 Les enceintes acoustiques hi-fi stéréo	35 F
LV 11 Structure fonctionnelle de l'oscilloscope	35 F
LV 13 Horloges et montres à quartz	35 F

**NOUVEAU : REGIE LUMIERE ROCHE 007... NOUVEAU TOUT SOUS LA MAIN EN UN SEUL APPAREIL EN KIT POUR ANIMER VOS SOIREES.** Le kit comprend : 1 MODULATEUR 3 voies + inverse 4 x 1200 W réglable + 1 CHENILLARD 4 voies 4 x 1200 W réglable + 4 GRADATEURS 1200 W chacun. Chaque jeu fonctionne séparément ou en même temps que les autres. Visualisation par leds de tous les jeux... Exceptionnel : 409 F. ROCHE 008 L'HABILAGE DE VOTRE REGIE LUMIERE : coffret + interrupteurs + voyants + douilles de sortie + boutons : 209 F.

Cette annonce annule et remplace les précédentes. Prix unitaires toutes taxes comprises et indicatifs au 1/10/1984





Après avoir proposé à nos lecteurs un jeu de programmes BASICODE leur permettant de calculer leurs circuits LC et leurs bobinages sur leur ordinateur, quel qu'en soit le type, nous attaquerons maintenant le cas des circuits RC (filtres, relaxateurs, oscillateurs, etc.).

Ainsi, disposerons-nous de moyens adaptés au calcul rapide et précis des deux principales familles de circuits sélectifs.

Les formules applicables aux circuits RC sont plus simples que celles régissant les circuits LC, mais l'optimisation d'un montage nécessite souvent toute une série de calculs débouchant par approches successives sur un résultat idéal. C'est à ce niveau que l'informatique peut faire gagner un temps appréciable.

## Votre ordinateur et les circuits RC

### Calcul de la fréquence de coupure

Le logiciel de la figure 1 permet de calculer très rapidement la résistance permettant d'obtenir la fréquence de coupure désirée, en présence d'une capacité imposée.

Plusieurs essais peuvent être très rapidement enchaînés en faisant varier la capacité.

Le programme utilise la formule bien connue :

$$F_c = \frac{1}{2\pi RC}$$

C'est la ligne 1110 qui exécute le calcul, et qu'il sera facile de modifier si la détermination numérique de-

vait porter sur des circuits RC régis par une formule différente (filtres actifs par exemple).

Notons l'usage de la constante 6,28 ( $2 \times 3,14$ ) en remplacement de  $\pi$ , dont l'emploi est proscrit en BASICODE.

De même, la division opérée par la boucle FOR-NEXT des lignes 1080 à 1100 peut surprendre, mais est volontaire !

Comme dans tous nos logiciels BASOCIDE, ce programme ne peut pas fonctionner seul.

On ne pourra établir le dialogue reproduit à la figure 2 qu'en mettant



```

1000>LET A=100:GO TO 20:REM ***** CIRCUITS RC *****
1010 GO SUB 100: PRINT : PRINT
1015 PRINT "      CALCUL DE CIRCUITS RC"
1020 PRINT "      ====="
1030 PRINT : PRINT : PRINT
1040 PRINT "FREQUENCE DE COUPURE EN HZ ?"
1050 INPUT F: PRINT "F = ";F;" HZ": PRINT
1060 PRINT "CAPACITE EN PF ?"
1070 INPUT C: PRINT "C = ";C;" PF": PRINT
1080 FOR G=1 TO 12
1090 LET C=C/10
1100 NEXT G
1110 LET R=1/(6.28*F*C)
1120 LET R=(INT (100*R))/100
1230 PRINT "===== "
1240 PRINT "RESISTANCE: R = ";R;" OHMS"
1250 PRINT "===== "
1260 PRINT : PRINT : PRINT
1270 PRINT "NOUVELLE VALEUR DU CONDENSATEUR"
1280 INPUT C: GO SUB 100: PRINT : PRINT
1290 PRINT "F = ";F;" HZ": PRINT : PRINT
1300 PRINT "C = ";C;" PF": PRINT : PRINT
1310 GO TO 1080
1320 REM NOS BASICODE 2
1330 REM COPYRIGHT 1984
1340 REM PATRICK GUEULLE

```

Figure 1

## CALCUL DE CIRCUITS RC =====

FREQUENCE DE COUPURE EN HZ ?  
F = 1000 HZ

CAPACITE EN PF ?  
C = 47000 PF

=====

RESISTANCE: R = 3387.99 OHMS

=====

NOUVELLE VALEUR DU  
CONDENSATEUR

F = 1000 HZ

C = 100000 PF

Figure 2

=====

RESISTANCE: R = 1592.35 OHMS

=====

bout à bout les **rutines normalisées BASICODE** spécifiques de la machine utilisée et notre logiciel de la figure 1 (lignes 1000 et suivantes).

Ce programme n'utilise que deux rutines sur toutes celles que nous avons définies dans notre article du N° 445 : le « chapeau » toujours indispensable et la routine GO-SUB 100 (effacement d'écran).

Sur un SPECTRUM (machine nous ayant servi à écrire le programme), il suffit donc d'ajouter les lignes fournies par la figure 3.

```

10 RUN 1000
20 GO TO 1010
100 CLS : RETURN

```

Figure 3

Nous avons publié dans nos précédents articles sur le BASICODE plusieurs jeux complets de rutines permettant l'adaptation de nos logiciels « universels » à différents ordinateurs choisis parmi les plus courants.

Nos lecteurs possesseurs de SPECTRUM, ZX 81, DRAGON 32 et 64, ORIC 1, ATMOS, pourront utilement s'y reporter.

Nous complétons aujourd'hui cette collection en reproduisant à la figure 4 l'ensemble des rutines destinées aux APPLE modèles II et II<sup>e</sup>.

Cependant, et afin que cet article se suffise à lui-même, nous donnons en figures 5 et 6 les rutines utilisées par notre programme, dans les versions correspondant aux ordinateurs sur lesquels nous avons jusqu'à présent travaillé en BASICODE.

```

00 REM **** SPECTRUM ****
10 RUN 1000
20 GO TO 1010
00 REM **** ZX 81 ****
10 RUN 1000
20 GOTO 1010
00 REM **** DRAGON ****
10 GOTO 1000
20 CLEAR A : GOTO 1010
00 REM **** ORIC 1 ****
10 POKE #26A,35
20 GOTO 1010
00 REM **** ATMOS ****
10 POKE #26A,35
20 GOTO 1010
00 REM **** APPLE II et IIe ****
10 GOTO 1000
20 GOTO 1010
00 REM **** THOMSON T07 ****
10 COLOR 0 : GOTO 1000
20 CLEAR A : GOTO 1010

```

Figure 5

La figure 5 regroupe les différents « chapeaux », et la figure 6 les rutines GOSUB 100 correspondantes.

Bien évidemment, les lignes REM (numérotées zéro) ne sont pas à recopier : elles ne servent que de points de repère. Si vous travaillez sur THOMSON T07, par exemple,

```

1 REM**** APPLE II et IIe ****
10 GOTO 1000
20 GOTO 1010
100 HOME : RETURN
110 O1=ABS(VE)+1 : IF O1>24 THEN RETURN
111 O2=ABS(HO)+1 : IF O2>40 THEN RETURN
112 VTB O1 : HTAB O2 : RETURN
120 HO=PEEK(36) : VE=PEEK(37) : RETURN
200 IN$="" : IF PEEK(49152)<128 THEN RETURN
210 GET IN$ : RETURN
250 PRINT CHR$(7) : RETURN
260 RV=RND(1) : RETURN
270 FR=FRE(0) : IF FR<0 THEN FR=FR+65536
271 RETURN
300 SR$=STR$(SR) : RETURN
310 OS=ABS(SR)+.5*10^CN : OH=INT(OS) : OF=OS-OH+1 : SR$="" : IF OS>1E9 TH EN 318
311 IF CN=0 THEN OF$="" : GOTO 315
312 IF OF=1 THEN OF$="." : GOTO 314
313 OF$=MID$(STR$(OF),2,CN+1)
314 IF LEN(OF$)-1<CN THEN OF$=OF$+"0" : GOTO 314
315 SR$=STR$(OH)+OF$ : IF SR<0 AND VAL(SR$)>0 THEN SR$="-"+SR$
316 IF LEN(SR$)<CT THEN SR$=" "+SR$ : GOTO 316
317 IF LEN(SR$)>CT THEN SR$=""
318 IF LEN(SR$)<CT THEN SR$=SR$+"*": GOTO 318
319 RETURN
350 PR#1: PRINT SR$: PR#0: RETURN
360 PR#1: PRINT CHR$(13): PR#0: RETURN

```

Figure 4



```

000 REM **** SPECTRUM ****
100 CLS : RETURN
000 REM **** ZX 81 ****
100 CLS
102 RETURN
000 REM **** DRAGON ****
100 CLS : RETURN
000 REM **** ORIC 1 ****
100 CLS : RETURN
000 REM **** ATMOS ****
100 CLS : RETURN
000 REM **** APPLE II et IIe ****
100 HOME : RETURN
000 REM **** THOMSON TO7 ****
100 CLS : RETURN

```

Figure 6

vous ferez donc précéder le programme de la figure 1 par ces lignes :

```

10 COLOR 0 : GOTO 1000
20 CLEAR A : GOTO 1010100 CLS :
RETURN

```

avant de la lancer par RUN.

## Des résistances de valeurs inhabituelles

Il serait bien étonnant que le résultat fourni par notre premier logiciel tombe justement sur une valeur normalisée de résistance, facilement disponible.

Dans le domaine des circuits sélectifs, se rabattre sur la valeur normalisée la plus proche conduit souvent tout droit à un fonctionnement défectueux du montage.

A défaut de résistances de précision rares et coûteuses, il est possible d'associer en parallèle, des résistances de valeurs courantes.

Seulement, de nombreux calculs sont à prévoir avant d'obtenir la valeur recherchée avec la précision voulue.

```

1000>LET A=100:GO TO 20:REM ***** RESISTANCES *****
1010 DIM D(12): DIM A(84)
1015 LET D(1)=1: LET D(2)=1.2: LET D(3)=1.5
1020 LET D(4)=1.8: LET D(5)=2.2: LET D(6)=2.7
1030 LET D(7)=3.3: LET D(8)=3.9: LET D(9)=4.7
1040 LET D(10)=5.6: LET D(11)=6.8: LET D(12)=8.2
1050 GO SUB 100: PRINT : PRINT
1060 PRINT "VALEUR A OBTENIR (EN OHMS) ?"
1070 INPUT R: PRINT R;" OHMS"
1080 PRINT "TOLERANCE ADMISSIBLE EN O/O ?"
1090 INPUT T: PRINT T;" O/O"
1100 PRINT : PRINT : PRINT
1110 PRINT "RECHERCHE EN COURS ...": PRINT : PRINT
1120 IF R<.5 THEN PRINT "IMPOSSIBLE": STOP
1130 IF R>8200000 THEN PRINT "IMPOSSIBLE": STOP
1140 LET C=1
1150 LET E=1: GO SUB 3000
1160 LET E=10: GO SUB 3000
1170 LET E=100: GO SUB 3000
1180 LET E=1000: GO SUB 3000
1190 LET E=10000: GO SUB 3000
1200 LET E=100000: GO SUB 3000
1210 LET E=1000000: GO SUB 3000
1220 LET B=1
1230 IF A(B)>R THEN GO TO 1270
1240 LET B=B+1
1250 IF B>84 THEN PRINT "IMPOSSIBLE": GO SUB 250: STOP
1260 GO TO 1230
1270 FOR G=B TO 84
1280 FOR H=B TO 84
1290 LET X=(A(G)*A(H))/(A(G)+A(H))
1300 IF X>R+(R*T/100) THEN GO TO 2300
1340 IF X<R-(R*T/100) THEN GO TO 2300
1350 PRINT A(G);" OHMS": GO SUB 250
1360 PRINT "EN PARALLELE AVEC "
1370 PRINT A(H);" OHMS"
1380 PRINT "EQUIVALENT A : "
1390 PRINT (INT (100*X))/100;" OHMS"
1400 PRINT : PRINT "AFFINAGE RECHERCHE ? O/N + RET"
1410 INPUT Z$
1420 IF Z$="O" THEN GO SUB 100: GO TO 2300
1430 RUN
2300 NEXT H
2310 NEXT G
2320 PRINT "PAS TROUVE ...": GO SUB 250: STOP
3000 FOR F=1 TO 12
3010 LET A(C)=D(F)*E
3020 LET C=C+1
3030 NEXT F
3040 RETURN
3050 REM NOS BASICODE 2
3060 REM COPYRIGHT 1984
3070 REM PATRICK GUEULLE

```

Figure 7

## RADIO PLANS

Veuillez me faire parvenir les circuits imprimés ci-contre à l'adresse suivante :

Nom : .....

Prénom : .....

Rue : .....

N° : .....

Ville : .....

Complément d'adresse : .....

Code Postal : .....

Je joins à cette commande mon règlement par :

☐ Chèque bancaire

☐ C.C.P. (sans n° de compte)

☐ Eurochèque



Nous avons déjà évoqué ce problème dans notre article paru dans le N° 34 de notre confrère ÉLECTRONIQUE APPLICATIONS, en montrant comment un ordinateur ORIC-1 pouvait mener en peu d'instant une recherche ne laissant aucune possibilité de côté.

Nous avons repris cette idée pour écrire le programme de la figure 7 : rédigé en BASICODE, il est cette fois compatible avec à peu près n'importe quel ordinateur BASIC.

Il faut bien sûr lui ajouter les routines normalisées nécessaires, à savoir :

- le « chapeau »
- la routine GOSUB 100
- la routine GOSUB 250 (bip sonore facultatif).

Les deux premières seront les mêmes que dans le cas du logiciel précédent.

```

VALEUR A OBTENIR (EN OHMS) ?
600 OHMS
TOLERANCE ADMISSIBLE EN O/O ?
0.1 O/O

RECHERCHE EN COURS ...

1000 OHMS
EN PARALLELE AVEC
1500 OHMS
EQUIVALENT A :
600 OHMS

AFFINAGE RECHERCHE ? O/N + RET
    
```

Figure 8

```

10 RUN 1000
20 GO TO 1010
100 CLS : RETURN
250 BEEP 1.8: RETURN
    
```

Figure 9

```

000 REM **** SPECTRUM ****
250 BEEP 0.2,30 : RETURN
000 REM **** ZX 81 ****
250 REM inserer ici la routine de
252 REM commande de toute carte son.
254 RETURN
000 REM **** DRAGON ****
250 PLAY "T504A" : RETURN
000 REM **** ORIC 1 ****
250 PING : RETURN
000 REM **** ATMOS ****
250 PING : RETURN
000 REM **** APPLE II et IIE ****
250 PRINT CHR$(7); : RETURN
000 REM **** THOMSON T07 ****
250 BEEP : RETURN
    
```

Figure 10

La figure 9 montre l'incorporation de GOSUB 250 dans le cas d'une mise en œuvre sur SPECTRUM, tandis que la figure 10 fournit les principales variantes de cette routine de sonorisation.

Remarquons que sur le ZX 81, muet de naissance, il faut disposer d'une carte sonore pour obtenir la signalisation. On peut cependant fort bien s'en passer !

Sur cette même machine, d'ailleurs, on aura également à débouler en lignes successives les lignes comportant plusieurs instructions : la place est prévue, et il ne s'agit donc que d'une formalité lors de la saisie du listing.

## Conclusion

Nos lecteurs à la fois électroniciens et informaticiens disposent maintenant d'un jeu de programmes leur

permettant d'exécuter des calculs comptant parmi les plus classiques sur leur ordinateur habituel quel qu'il soit ou presque.

Ces programmes font partie d'une série d'articles que nous consacrons, depuis notre N° 444, au BASICODE, ce standard international d'échanges de logiciels entre machines de toutes marques, développé sous l'égide de la radiodiffusion néerlandaise NOS.

Nous sommes convaincu que de très belles choses peuvent être accomplies dans ce domaine, aussi nous efforçons-nous de faire connaître le procédé à nos lecteurs. Ceux-ci pourront utilement se reporter à nos précédents articles, dans lesquels ils trouveront réponse à la plupart des questions qu'ils pourraient se poser sur le BASICODE.

Mais nous n'avons pas fini d'en parler !

Patrick GUEULLE

## carte de commande « circuits imprimés »

Référence du circuit	Prix unitaire	Quantité demandée	Prix total
EL			
EL			+
EL			+
EL			+
EL			+
EL			+
EL			+
EL			+
Ajouter sur cette ligne les frais de port (12 F pour la France → métropolitaine ; 18 F pour DOM-TOM et étranger)			=
Prix total TTC →			+
Total à payer →			=
Pas d'envoi contre remboursement			





## Un préamplificateur pour cellule à bobines mobiles

Votre courrier ainsi que vos appels téléphoniques nous laissent supposer que vous êtes nombreux à utiliser des cellules à bobines mobiles, pour la lecture de vos disques, tout en déplorant ou la médiocrité des étages d'adaptation intégrés aux préamplificateurs ou le prix très élevé des transformateurs ou pré-préamplificateurs de bonne qualité disponibles sur le marché.

En attendant que le lecteur compact disc s'impose, il faut bien reconnaître que ce type de cellule allié à une table de lecture conventionnelle de haute qualité permet de satisfaire le mélomane le plus exigeant.

Nous vous avons donc concocté un petit circuit tout simple mais performant, qui, si vous suivez bien nos conseils, devrait vous satisfaire.

### **Les cellules à bobines mobiles, impératifs à respecter**

Les cellules à bobines mobiles font partie des cellules dites magnétiques, par opposition aux cellules piezoélectriques ou céramiques, plus guère utilisées aujourd'hui en HiFi, ou encore aux cellules à jauges de contrainte.

Parmi les cellules magnétiques, on distingue deux grandes catégories :



— Les modèles où l'équipage mobile est équipé de matériaux magnétiques qui font varier le champ dans des bobinages fixes :

- cellules à aimant mobile,
- cellules à reluctance variable
- cellules à aimant induit,

— Les modèles où l'équipage mobile est équipé de bobines qui se déplacent dans un champ fixe généré par un aimant.

Ces dernières sont plus performantes, mais afin de réduire le plus possible le poids de l'équipage mobile, les bobines ne comportent qu'un très faible nombre de spires d'où une très faible impédance et une très faible tension de sortie.

Pour fixer les idées les cellules à aimant mobile délivrent environ 2 à 5 mV sous quelques dizaines de k $\Omega$  et les cellules à bobines mobiles 0,1 à 0,3 mV sous quelques ohms.

Les impératifs à respecter pour la réalisation d'un pré-préamplificateur sont donc évidents :

— L'électronique doit présenter un bruit de fond extrêmement faible.

— Un gain en tension compris entre 20 et 30 dB pour attaquer le préamplificateur RIAA du préampli avec des signaux supérieurs à 2 mV.

— Une faible impédance d'entrée.

— Une impédance de sortie assez faible de façon à attaquer le câble de liaison dans de bonnes conditions. La capacité répartie du câble n'est pas négligeable et il faut la charger et la décharger rapidement sous peine d'avoir une nette détérioration des aigus et des signaux à front raide.

— Une très grande réjection du 50 Hz et du 100 Hz qui impose l'emploi de piles en tant que source d'énergie.

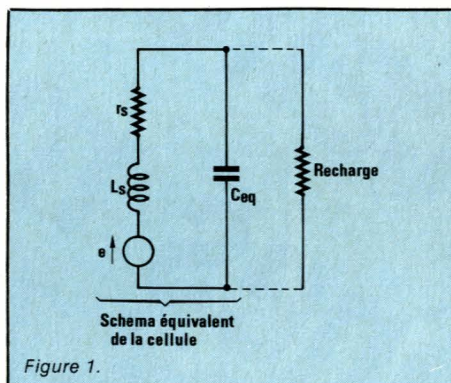
Ainsi s'explique, aussi bien le prix élevé des transformateurs élévateur que celui des pré-préamplificateurs

commercialisés (environ 2 000 F), prix qui doit d'ailleurs être mis en rapport avec le coût des cellules (entre 1 000 et 10 000 F).

Du point de vue électrique, une cellule à bobines mobiles se comporte comme un générateur de tension (faible certes) avec une résistance interne pouvant aller de 2 à 30  $\Omega$ .

Si l'on considère le schéma équivalent, donné en figure 1, nous voyons que d'une part pour avoir un transfert maximum de puissance et d'autre part pour amortir le circuit oscillant au mieux et ainsi éviter des suroscillations parasites, on doit charger la cellule avec une impédance du même ordre de grandeur que la résistance interne.

Ceci avec les impératifs évoqués plus haut nous amène donc au choix du schéma retenu.



## Notre schéma de pré-préamplificateur

Celui-ci est donné en figure 2. Alimenter faible bruit en entrée, faible impédance et gain en tension conjointement à un faible coût et une bonne disponibilité nous a conduits à choisir un étage d'entrée base commune avec un transistor faible bruit ( $C_7$  et  $C_8$  court-circuite la base de  $T_1$  en alternatif).

Cette configuration est très peu employée en audiofréquences, beaucoup plus en HF, mais elle permet d'éviter l'emploi de composants fort chers et introuvables - comme certains FET élaborés pour cet usage.

Le lecteur pourra se reporter aux articles publiés antérieurement dans Radio-Plans, concernant les trois montages fondamentaux du transistor avec la théorie des quadripôles.

Nous reprendrons les résultats exposés dans ces articles pour le montage base commune.

Ce montage se caractérise :

— par un gain en tension voisin de celui obtenu en émetteur commun mais sans déphasage.

— une très faible impédance d'entrée, et aussi un faible bruit d'entrée.

Nous avons opté pour l'utilisation d'un BC 414 C qui, s'il ne présente pas le facteur de bruit le plus faible, reste suffisamment approvisionné dans la plupart des magasins.

L'étage base commune seul ne suffit pas, il faut lui adjoindre un amplificateur de courant pour pouvoir attaquer d'assez grandes longueurs de câble.

Le deuxième étage est constitué d'un PNP faible bruit BC 416 C monté en « charge répartie ».

Cette configuration permet d'avoir un grand gain en courant, une forte impédance d'entrée et du gain en tension. De plus la structure NPN-PNP, permet de s'affranchir dans une grande mesure des perturbations amenées par la ligne +  $V_{cc}$ .

En plus des deux étages dont nous venons de parler, on distingue en entrée un réseau de résistances de faible valeur qu'on peut arranger à sa convenance et dont le but est de charger correctement la cellule comme nous l'évoquions dans le paragraphe précédent.

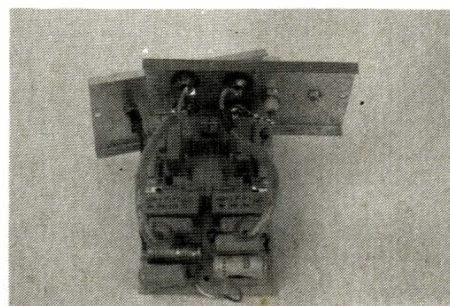
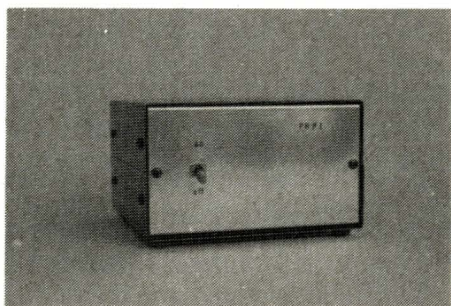
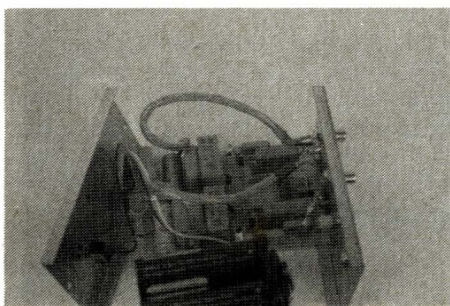
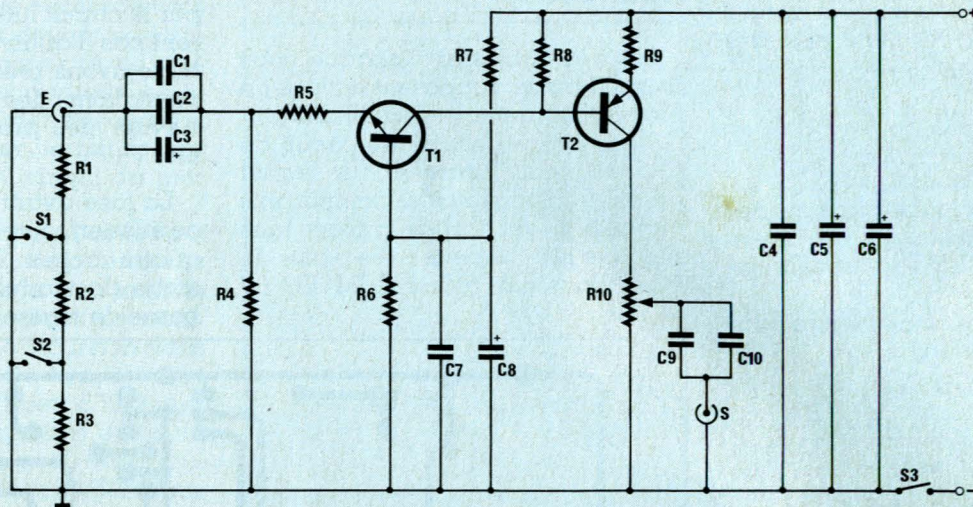




Figure 2.



## Explications

Elles nécessitent la consultation des figures 3 a, b, c. En figure 3 a nous avons les caractéristiques de bruit en fonction du courant de collecteur à différentes fréquences. Il en résulte que le courant de polarisation de collecteur devra être compris entre 100 et 200  $\mu\text{A}$  pour obtenir un bruit minimum. Les figures 3 b et c permettent de calculer la valeurs des paramètres hybrides pour un courant de collecteur de 150  $\mu\text{A}$ .

Ces paramètres sont ceux de la configuration émetteur commun. Une fois déterminés, on les transposera à la configuration base commune à l'aide des relations approchées (les simplifications permises étant effectuées) suivantes :

$$h_{11b} = \frac{h_{11e}}{h_{21e} + 1}$$

$$h_{12b} = \frac{h_{11e} \cdot h_{22e}}{h_{21e} + 1} - h_{12e} \ll 1$$

$$h_{21b} = - \frac{h_{21e}}{1 + h_{21e}} \approx -1$$

$$h_{22b} = \frac{h_{22e}}{h_{21e} + 1}$$

### Characteristics at $T_{amb} = 25^\circ\text{C}$

$h$ -Parameters at  $V_{CE} = 5\text{ V}$ ,  
 $I_C = 2\text{ mA}$ ,  $f = 1\text{ kHz}$

Small signal current gain

Input impedance

Output admittance

Reverse voltage transfer ratio

DC current gain

at  $V_{CE} = 5\text{ V}$ ,  $I_C = 0.01\text{ mA}$

at  $V_{CE} = 5\text{ V}$ ,  $I_C = 2\text{ mA}$

### Current gain group

doc. ITT

	B	C
Small signal current gain	$h_{fe}$ 330 (240 ... 500)	600 (450 ... 900)
Input impedance	$h_{ie}$ 4.5 (3.2 ... 8.5)	8.7 (6 ... 15)
Output admittance	$h_{oe}$ 30 (< 60)	60 (< 110)
Reverse voltage transfer ratio	$h_{re}$ $2 \cdot 10^{-4}$	$3 \cdot 10^{-4}$
DC current gain	$h_{FE}$ 150 (> 100)	270 (> 100)
	290 (180 ... 460)	500 (380 ... 800)

Figure 3 b

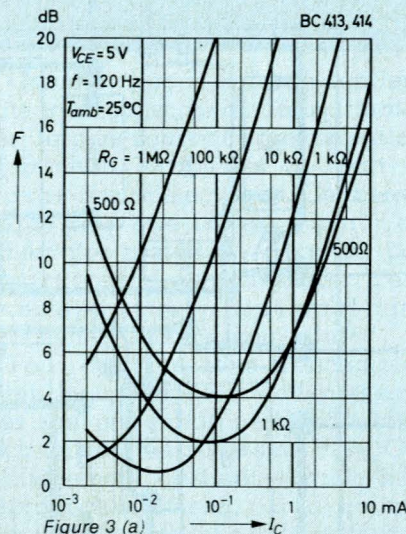


Figure 3 (a)

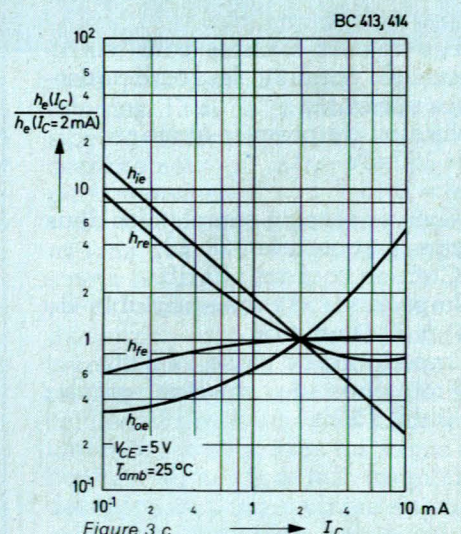
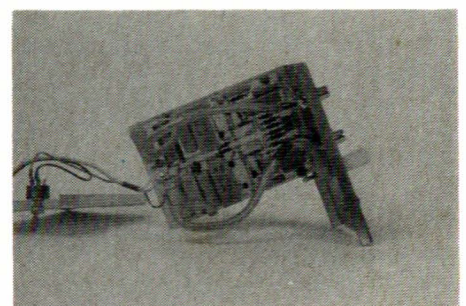
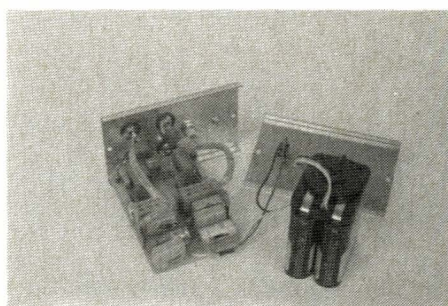
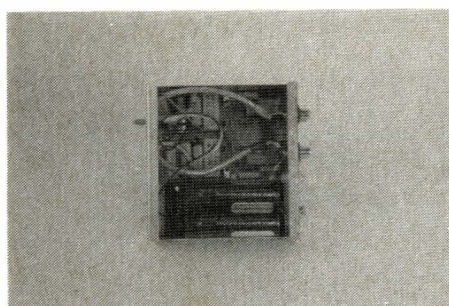


Figure 3 c





Les calculs établis à l'aide des courbes et des relations ci-dessus aboutissent aux résultats suivants (valeurs typiques) :

$$h_{11} b = 300 \Omega$$

$$h_{12} b = 4,10^{-3} (\rightarrow 0).$$

$$h_{21} b \approx -1$$

$$h_{22} b = 5 \cdot 10^{-8} \text{ S (mhos)} (\rightarrow 0).$$

Il apparaît que nous pourrions négliger dans les calculs le coefficient de réaction  $h_{12} b$  et l'admittance de sortie  $h_{22} b$ .

Le gain en tension de l'étage base commune vaut alors :

$$G_v = - \frac{h_{21} b}{h_{11} b} \times R_8 = \frac{R_8}{300}.$$

On voit donc que ce montage présentera d'inévitables dispersions de gain en fonction des dispersions du coefficient d'amplification en courant en régime de petits signaux.

Nous avons donc scindé la résistance d'émetteur de  $T_1$  en deux parties  $R_4$  et  $R_5$ .

La somme  $R_4 + R_5$  détermine le courant statique.

En dynamique  $R_5$  et  $h_{11} b$  constitue un diviseur de tension qui varie avec le gain en courant du transistor puisque  $h_{11} b$  en dépend.

De cette façon on arrive à compenser les dispersions sur le gain, le diviseur délivrant une fraction de la tension d'entrée d'autant plus faible que le gain augmente.

Les valeurs choisies pour les résistances donnent les caractéristiques suivantes :

Polisation du premier étage :

$$I_c = 150 \mu A$$

$$V_{CE} = 2,75 \text{ V}$$

- Gain en tension complet, les deux étages en cascade : 28 dB,
- Gain en courant : 52 dB.
- Impédance d'entrée réglable de  $9 \Omega$  à  $30 \Omega$  environ
- Impédance de sortie :  $2,2 \text{ k}\Omega$
- Fréquence de coupure grave : ( $-3 \text{ dB}$ ) : 5 Hz

## Réalisation

Les très faibles niveaux que nous avons à traiter supposent un luxe de précautions quelque peu inhabituel.

Nous avons dessiné un circuit de  $75 \times 110 \text{ mm}$  (figure 4) sur lequel prennent place tous les composants (figure 5) et qui occupe la place laissée libre par les deux piles plates de 4,5 V dans un coffret ESM EC 12/07 FA.

Les piles sont maintenues en place par le circuit lui-même et ne requièrent pas d'autre système de fixation. Nous avons préféré séparer les alimentations des deux canaux afin d'éviter des problèmes de diaphonie.

La face avant reçoit l'interrupteur de mise en route, et la face arrière les quatre fiches R.C.A. d'entrée et sortie de modulation, ainsi que la borne de masse du circuit. Ces bor-

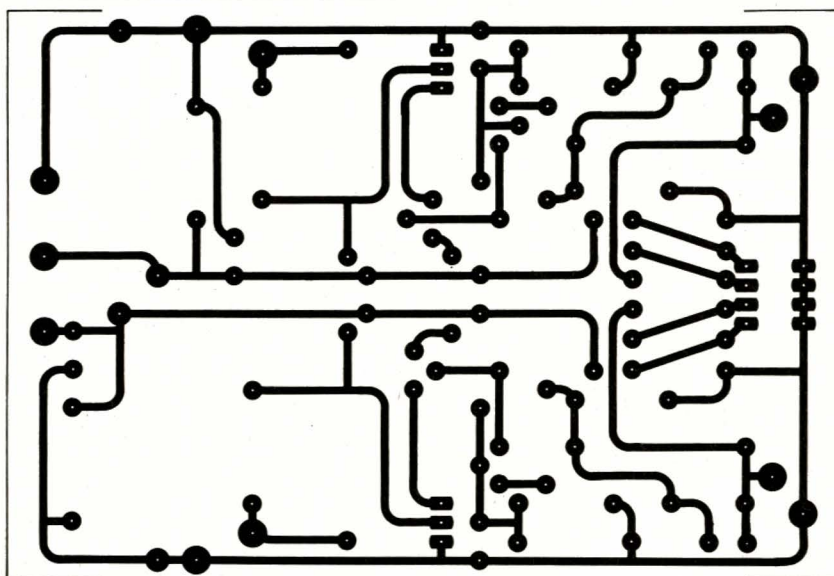


Figure 4

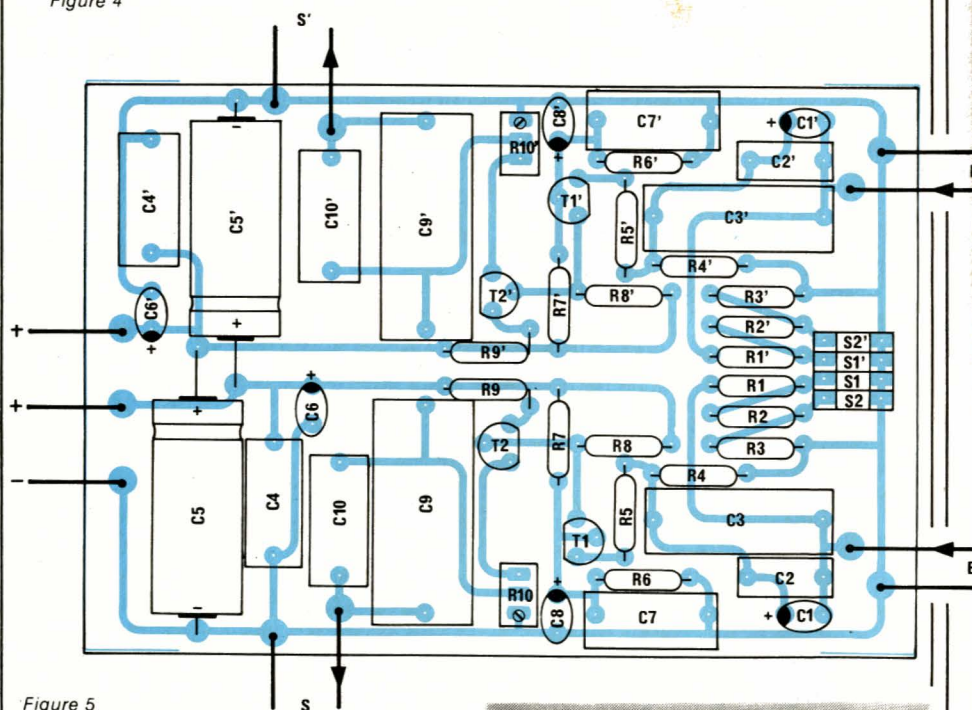
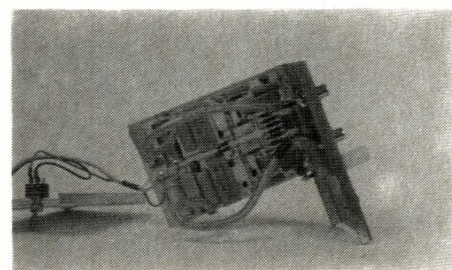
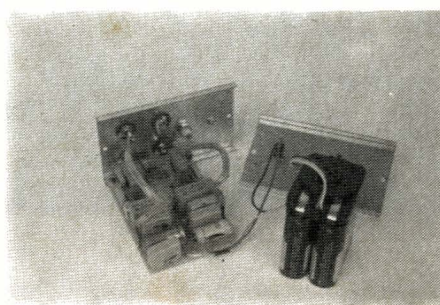
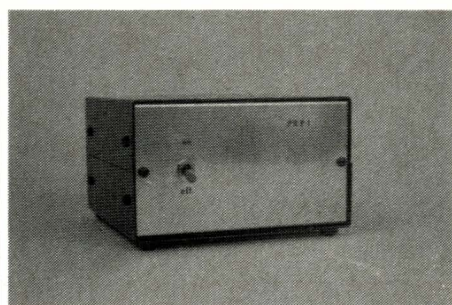


Figure 5



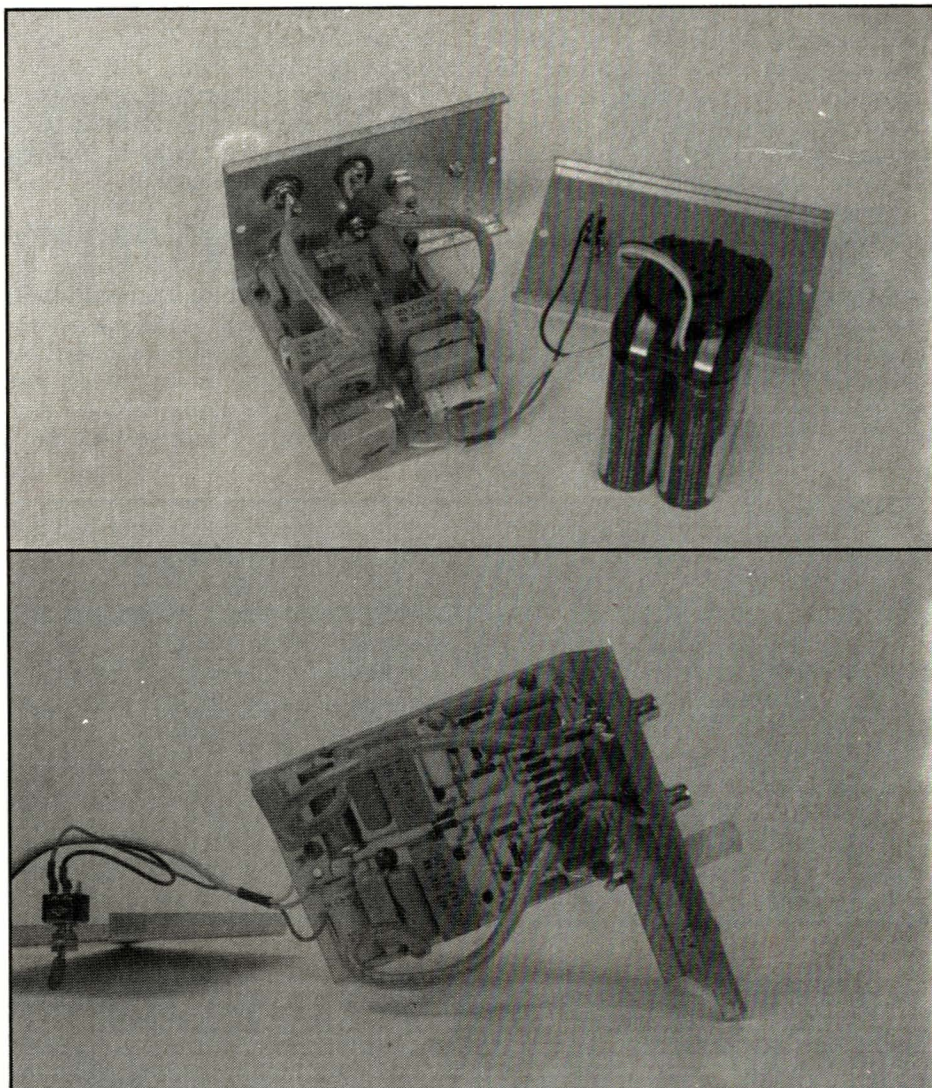


nes doivent impérativement être isolées du boîtier, le raccordement des masses chassis devant se faire par une liaison séparée. A ce propos, vous pouvez supprimer les fiches de sortie et souder directement les câbles de liaison terminés par des fiches mâles au circuit du pré-amplificateur.

Les cellules à bobines mobiles ont de très grandes qualités potentielles qui nous ont incités à dépasser le stade des simples critères électroniques pour tenter une incursion dans le domaine très controversé du subjectif. C'est avec un peu d'humour, du moins nous l'espérons et beaucoup d'humilité que nous vous soumettons les quelques considérations suivantes ayant guidé notre choix quant aux composants.

On ne saurait nier le rôle actif des composants dits passifs ; Ces éléments d'apparence anodine n'ont pas le rôle inoffensif qu'on veut bien leur prêter. Les effets provoqués par les résistances, et que l'on considère généralement comme négligeables (selfique, électrochimique, semi-conducteur, thermo-couple) revêtent dans le domaine de l'audio une importance qui est loin d'être secondaire. Nous avons utilisé sur notre maquette des résistances Rodenstein 1/2 W. Ces résistances sont malheureusement difficiles à se procurer, aussi nous vous conseillons d'employer des SOFCOR 1/2 W 1 % qui donnent peut-être un son légèrement plus coloré que les Rodenstein, mais ne provoqueront jamais cet « aigu felé » imputable le plus souvent aux résistances à film d'oxydes métalliques courantes.

Le condensateur d'entrée est constitué d'un tantale de 100  $\mu$ F nécessaire pour obtenir une fréquence de coupure basse inférieure 10 Hz. Vous remarquerez que nous avons placé en parallèle deux condensateurs de « compensation » destinés à « ouvrir » les zones médium et aiguë. Le choix de ces capacités a lui aussi été guidé par des considérations « de qualité musicale subjective » cependant tout à fait explicables.



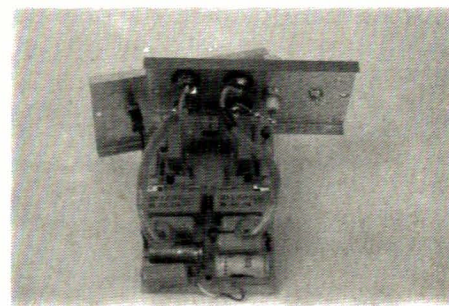
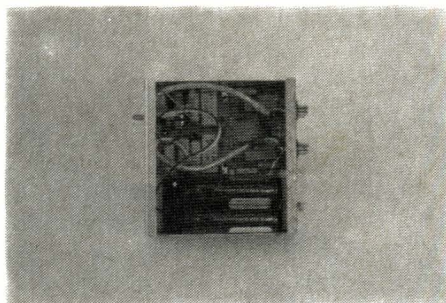
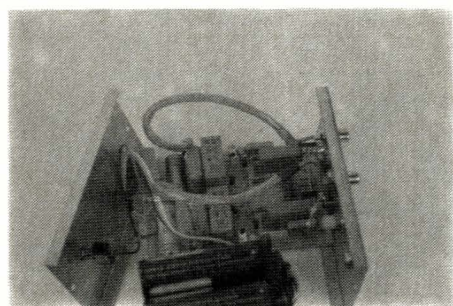
Comme chacun sait, un condensateur est constitué de deux armatures, le plus souvent en étain ou en aluminium, enroulées de part et d'autre d'un diélectrique. Ce diélectrique peut être réalisé à partir de différentes matières — papier, papier imprégné, film plastique. L'ensemble peut être ou non enrobé dans une résine plus ou moins dure.

Pour des questions d'encombrement, les armatures métalliques sont très souvent supprimées, et le diélectrique est métallisé sous vide. Cet « allègement », est défavorable à la reproduction du son, car la diminution de la masse du condensateur le

rend plus sensible aux vibrations internes. Et si ce condensateur dissipe de l'énergie à vibrer, c'est nécessairement au détriment de ses performances.

On conçoit donc, pour ces mêmes raisons que l'enrobage du condensateur est critique.

Par ailleurs, les « réservoirs d'énergie » que sont les condensateurs n'acceptent pas toujours de restituer cette énergie qu'on leur a confiée, du moins pas de façon instantanée, et avec plus ou moins de bonheur en fonction de la fréquence des signaux. Ceci explique les compensations curieuses visibles sur le schéma.





# Réalisation

Lorsque vous aurez terminé votre préampli, n'oubliez pas que les résultats que vous obtiendrez dépendront avant tout du soin que vous aurez apporté au réglage de votre cellule. Il n'est peut être pas inutile de vous rappeler quelques conseils à ce sujet.

Fixez solidement votre cellule sur la coquille au moyen de vis amagnétiques, et de préférence en aluminium (tout gain de poids à ce niveau est intéressant). Si vous possédez un bras à coquille détachable, retirez la rondelle de caoutchouc dont elle est munie au niveau de

l'écrou de fixation, et assujettissez ce dernier fermement. Vous aurez au préalable aligné avec soin le stylet grâce à un rapporteur, de façon à minimiser l'erreur de piste. Le stylet doit être tangent au sillon du disque en deux points situés à 66 et 121 mm de l'axe du plateau.

Si le bras est réglable en hauteur, il vous faudra effectuer aussi cet ajustement. Le fait de placer la cellule parallèlement au disque est une approximation insuffisante. Malheureusement vous ne trouverez rien d'autre que vos deux oreilles pour cette procédure. Il faut positionner le

bras volontairement trop haut et, par approches successives, ajuster sa hauteur jusqu'à obtenir une homogénéité parfaite des instruments figurant sur le disque.

Grossièrement, une cellule ayant une configuration piquante relèvera le niveau d'aiguës, alors qu'elle privilégiera le secteur grave si elle « talonne ».

Tous ces réglages minutieusement effectués, vous pourrez enfin savourer vos disques préférés. Et n'oubliez pas le glaçon en train de fondre dans votre whisky.

R. SCHNEBELEN  
et C. DUCROS

Cette liste vaut pour une voie, prévoir 2 exemplaires de chaque référence.

## Condensateur (voir texte)

C<sub>1</sub>, C<sub>6</sub>: 100 µF/16 V tantale goutte  
C<sub>2</sub>: 100 nF ITT PMT 2 R 250 V  
C<sub>3</sub>, C<sub>9</sub>: 0,47 µF WIMA 250 V MKP 10  
C<sub>4</sub>: 0,47 µF WIMA ou ITT  
C<sub>5</sub>: 1000 µF/40 V  
C<sub>7</sub>: 100 nF ITT PMT 2 R 250 V  
C<sub>8</sub>: 10 µF 16 V tantale goutte  
C<sub>10</sub>: 0,47 µF ITT PMT 2 R-250 V

## Nomenclature

### Résistance 1/2 W, 1 % (voir texte)

R<sub>1</sub>: 10 Ω  
R<sub>2</sub>: 10 Ω  
R<sub>3</sub>: 10 Ω  
R<sub>4</sub>, R<sub>5</sub>: 910 Ω  
R<sub>6</sub>: 82 kΩ  
R<sub>7</sub>: 330 kΩ  
R<sub>8</sub>: 11 kΩ  
R<sub>9</sub>: 1 kΩ  
R<sub>10</sub>: 2,2 kΩ ajustable 10 tours sfer-nice TY 93A

### Semiconducteurs

T<sub>1</sub>: BC 414 C  
T<sub>2</sub>: BC 416 C

### Divers

2 piles plates 4,5 V grand format  
4 mini switches pour CI  
Fiches RCA femelles en embase isolée  
Coffret ESM. EC 12/07 FA

# Infos

## Révolution dans les réseaux logiques. L'alternative logicielle ALTERA

TEKELEC AIRTRONIC introduit en France le premier réseau logique universel, programmable et effaçable aux U.V., réalisé par la société américaine ALTERA.

L'EP 300, EPLD de 300 portes, dual-in-line de technologie EPROM-CMOS, permet aux concepteurs de circuits logiques de réaliser eux-mêmes leurs propres « custom-design » aussi facilement que des logiques câblées.

La solution révolutionnaire d'ALTERA consiste à fournir un kit logiciel et matériel de très faible coût, destiné à être mis en œuvre sur un micro-ordinateur personnel IBM ou compatible.

Simple et rapide à exploiter, le procédé ALTERA offre la possibilité

de programmer, d'effacer et de reprogrammer un circuit, et de le reproduire en grande quantité, tout en apportant de très nombreux avantages :

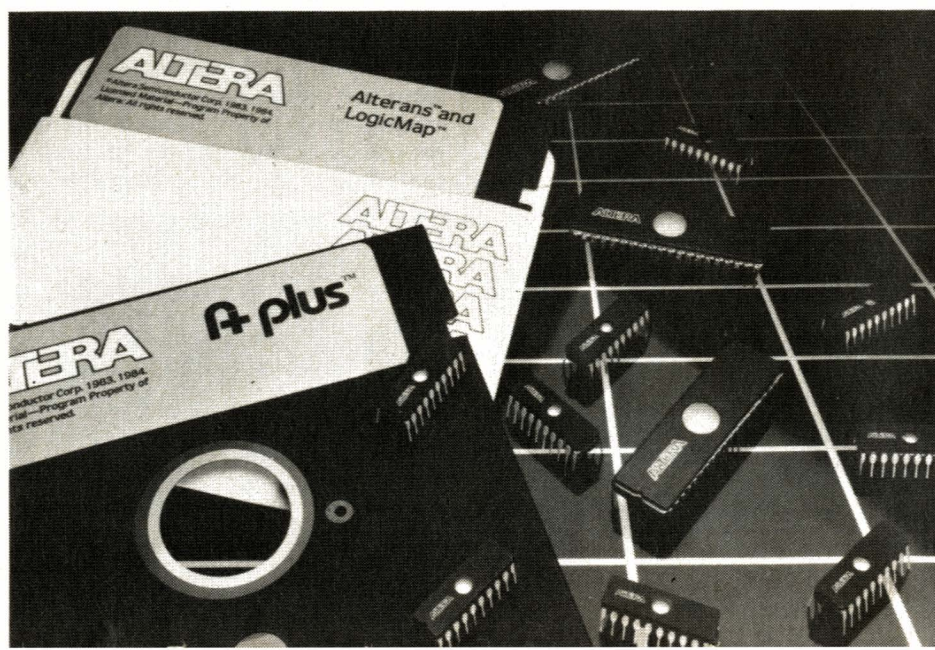
- Temps de réalisation équivalent à celui de la logique câblée.
- Aucun impératif de quantité.

- Modifiable immédiatement et indéfiniment (partiellement ou totalement).

- Performances de la CMOS 74 HC (vitesse-consommation).

- Encombrement ramené à celui d'un boîtier DIL.

- Schéma inviolable.



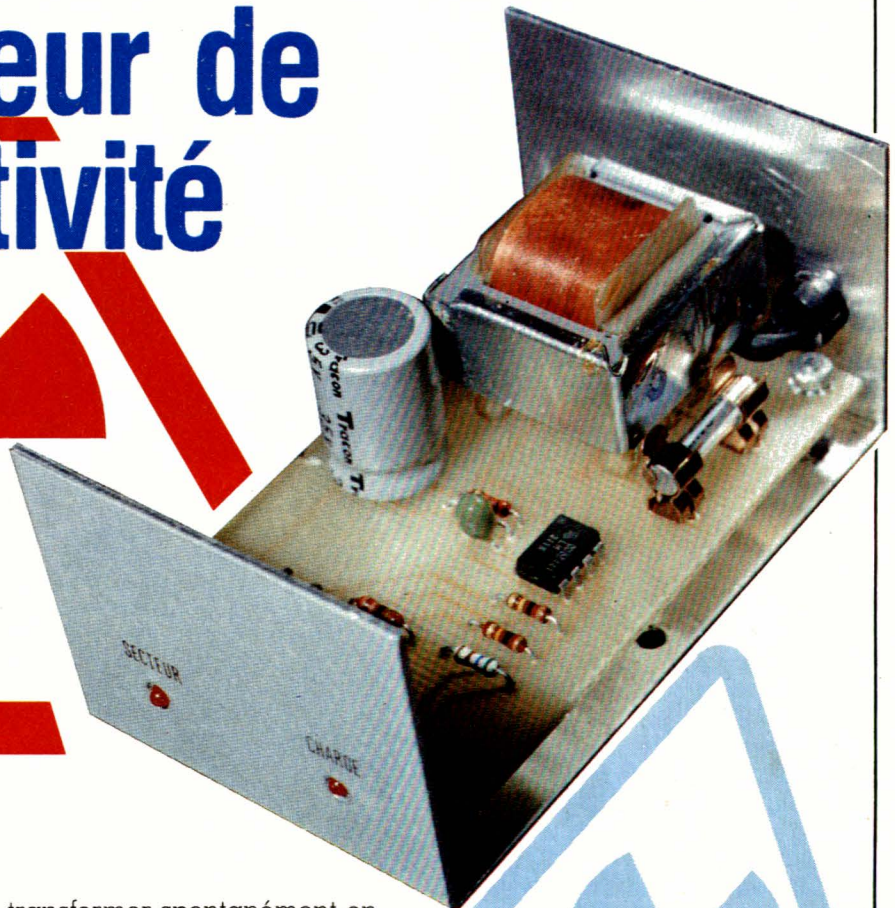


## Un détecteur de radioactivité

temps: ⏰ ⏰ ⏰

difficulté: 🧩 🧩 🧩

dépense: \$ \$ \$ \$



Nous vous proposons de réaliser un détecteur de radioactivité, plus communément appelé compteur Geiger. La vie moderne nous expose à de nombreuses formes de pollution mais c'est certainement la radioactivité qui suscite le plus d'inquiétude. Il suffit de constater l'émotion soulevée par le moindre incident concernant le nucléaire.

Notre détecteur sera donc en mesure de servir de dispositif d'alerte et trouvera aussi sa place dans un abri anti-atomique.

Parmi d'autres applications, il permettra aussi de prospecter, en amateur, l'uranium, ou de se rendre compte de l'activité naturelle existante sur certains sites en France.

### La radioactivité

Les 92 éléments qui, de l'hydrogène à l'uranium, constituent notre planète ne sont pas tous stables. Certains d'entre eux ont la propriété

de se transformer spontanément en éléments plus légers. Cette transformation s'accompagne d'une émission d'énergie sous la forme de différents rayonnements, elle est appelée radioactivité.

Au cours de leurs transformations, ces éléments éjectent à très grande vitesse, des noyaux d'hélium : les rayons alpha, des électrons : les rayons bêta et ils émettent un rayonnement électromagnétique de très courte longueur d'onde : les rayons gamma.

Ainsi l'uranium 238 se désintègre en thorium 234, protoactinium 234, uranium 234, thorium 230... etc., pour aboutir finalement à un corps stable, le plomb 206 au bout de quelques milliards d'années. Chaque transformation est accompagnée d'une émission alpha ou bêta et d'une émission gamma.

La radioactivité agit sur la matière par l'énergie qu'elle est capable de lui céder. L'unité est le Rad qui correspond à une énergie de 100 ergs par gramme de matière. Lorsqu'il s'agit d'évaluer la quantité de rayonnement absorbée par le corps humain, on emploie le Rem (Rad equivalent to man), qui équivaut à un Rad multiplié par un facteur de qualité variable selon le rayonne-

ment : 1 pour les rayons gamma. La dose moyenne naturelle reçue par le corps humain est estimée à 100 millirems par an. Elle provient du rayonnement des roches de l'écorce terrestre, des rayons cosmiques et des substances radioactives contenues par le corps humain comme le carbone 14 ou le potassium 40.

En dehors des réacteurs nucléaires, des armements et des applications médicales, les autres utilisations des radioéléments sont peu connues du grand public. Pourtant la radioactivité est très largement employée dans l'industrie à des usages variés :

- radiographie dans l'aéronautique, l'espace, la pétrochimie, les travaux publics, afin de rechercher les défauts de fabrication. On emploie le cobalt 60, l'iridium 192 ou les rayons X.

- jauges d'épaisseur ou de densité, éliminateurs d'électricité statique. On l'emploie également dans des détecteurs de fumées ou de gaz, dans des paratonnerres. On a même trouvé dans le commerce une brosse à disques utilisant du polonium 210, émetteur alpha dans une source scellée, pour en éliminer les charges statiques !



# Réalisation

Les rayons gamma servent également à stériliser des produits pharmaceutiques et alimentaires. Ce procédé pourrait entraîner dans l'avenir la suppression de certains conservateurs dans l'alimentation. Cette forme d'utilisation de la radioactivité ne cause pas de contamination par poussières radioactives. Dans les pays industrialisés, l'utilisation et le transport des radioéléments sont très réglementés et très surveillés par le code de radioprotection.

Nous avons préparé en fin d'article, une bibliographie sommaire destinée aux lecteurs intéressés par la radioactivité. Une étude a également été consacrée à ce sujet dans Radio Plans.

## La détection de la radioactivité

Les méthodes de détection et de mesure de la radioactivité sont très nombreuses et il n'est pas question de les passer en revue. Néanmoins nous pouvons distinguer deux catégories d'appareils : les dosimètres et les débitmètres.

— Les dosimètres ou appareils de dosimétrie à lecture différée : ils sont portés par les personnes exposées aux rayonnements et permettent d'évaluer la dose reçue. Il s'agit des dosimètres utilisant la propriété des radiations d'impressionner les émulsions photographiques, ils se présentent sous la forme d'un petit sachet en plastique. Les dosimètres à chambre d'ionisation ont l'apparence d'un stylo, ils contiennent un condensateur chargé sous 100 à 200 volts, qui se décharge sous l'effet des radiations, la lecture s'effectue directement grâce à l'oculaire incorporé.

Une photo nous montre ces deux types de dosimètres.

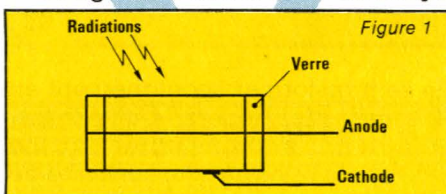
— Les débitmètres ou appareils de mesure des débits à lecture instantanée : ils permettent la détection et la mesure en temps réel des radiations, ils emploient le plus souvent des chambres d'ionisation ou des tubes de Geiger-Müller.

L'appareil le plus utilisé est le débitmètre à chambre d'ionisation à air. Les radiations pénètrent dans une chambre cylindrique d'un demi-litre environ, constituée de matériaux conducteurs simulant chimiquement les tissus du corps humain. Cette chambre est soumise à une tension de 100 à 3300 volts entre l'enveloppe extérieure qui est la cathode



et une électrode centrale qui est l'anode. Les radiations provoquent un déplacement d'ions dans la chambre, elle est alors traversée par un très faible courant, celui-ci est ensuite amplifié par un circuit à très haute impédance d'entrée. Un galvanomètre placé en sortie permet de lire le niveau de radiations.

La figure 1 nous montre en coupe



un tube de Geiger-Müller. C'est une petite chambre d'ionisation soumise à une tension de 300 à 2 000 volts entre la cathode en métal de quelques centièmes de millimètres d'épaisseur, et l'anode qui est un fil métallique placé sur l'axe du tube.

Les radiations ont la propriété de rendre les gaz conducteurs, en pénétrant dans la chambre, elles pro-

voquent une décharge d'électrons sur l'anode, cette décharge est rapidement interrompue par une vapeur organique comme le formiate d'éthyle, présente dans la chambre. Il en résulte une impulsion électrique que l'on recueille sur l'anode.

La durée de vie d'un tube de Geiger-Müller peut atteindre plusieurs milliards d'impulsions. Il faut remarquer qu'il n'est pas sensible aux rayons X mous produits par les téléviseurs, il ne faut donc pas en déduire que ceux-ci ne produisent pas de rayons X.

Pour détecter la radioactivité on utilise aussi les propriétés radioluminescentes de certaines substances dans les très sensibles compteurs à scintillation. On a mis également au point des détecteurs à semi-conducteurs.

## Le détecteur de radioactivité

### Schéma synoptique





La figure 2 nous donne le schéma synoptique du détecteur. Il emploie un tube de Geiger-Müller et nécessite donc une alimentation haute-tension. Lorsqu'une des radiations pénètrent le tube, celui-ci émet des impulsions qui sont mise en forme par un monostable, ces impulsions peuvent être entendues grâce à un haut-parleur précédé d'un amplificateur à un transistor commandé par un oscillateur basse fréquence et un monostable.

## Le schéma

La figure 3 nous donne le schéma de principe du détecteur. Le tube Geiger-Müller est d'origine RTC, il s'agit du ZP 1320 dont la figure 4 nous donne les caractéristiques, le graphique permet de convertir les chocs par seconde en rem/heure. C'est un tube métallique avec des embouts en verre. La résistance  $R_{24}$  est montée directement à la sortie du tube, cette disposition est recommandée par RTC afin d'assurer une durée de vie maximale au tube.

Il est alimenté sous 500 volts, c'est-à-dire au début de la plage de tension dite de plateau, où le nombre de chocs par seconde est indépendant de la tension. Pour compenser la capacité du câble, un condensateur  $C_{12}$  de 4,7 pF est soudé en parallèle sur  $R_{24}$ .

## L'alimentation

Un convertisseur continu-continu fournit la haute tension d'alimentation nécessaire au tube. Pour éviter la difficulté que représente le bobinage d'un transformateur de convertisseur à plusieurs enroulements, nous avons opté pour une solution employant un transformateur secteur de petite puissance utilisé en élévateur de tension.

L'alimentation fonctionne suivant des trains d'impulsions plus ou moins rapprochés selon la tension d'alimentation et la tension de sortie. Ce procédé assure une grande autonomie au détecteur car il réduit à moins de 5 mA le courant consommé par les circuits de détection et d'alimentation.

L'oscillateur est constitué d'un CD 4011, IC<sub>7</sub>. Un état « 1 » sur la broche 6 le met en marche, il commande alors le primaire du transformateur  $T_1$  par l'intermédiaire du transistor  $T_5$ , qui est un MOS de puissance type IRF 511. Ce genre de transistor convient bien à cet usage, il a fait l'objet de plusieurs études dans les numéros 417, 418, 423 et 432 de Radio-Plans.

Au secondaire du transfo, nous

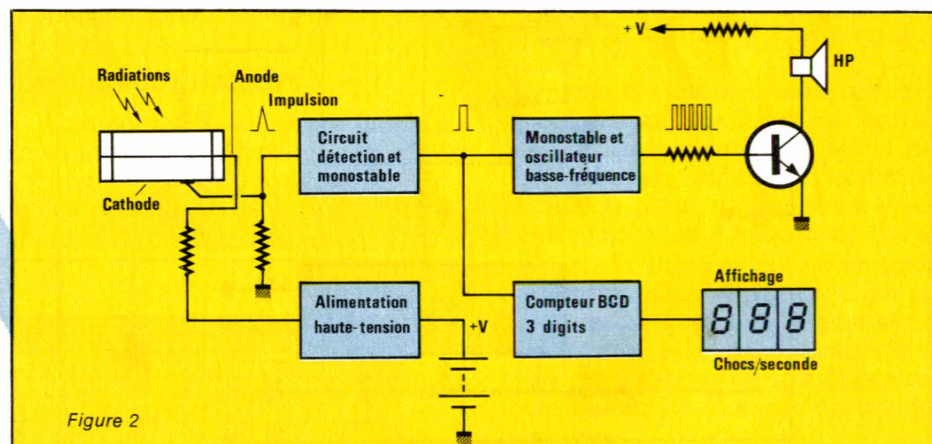
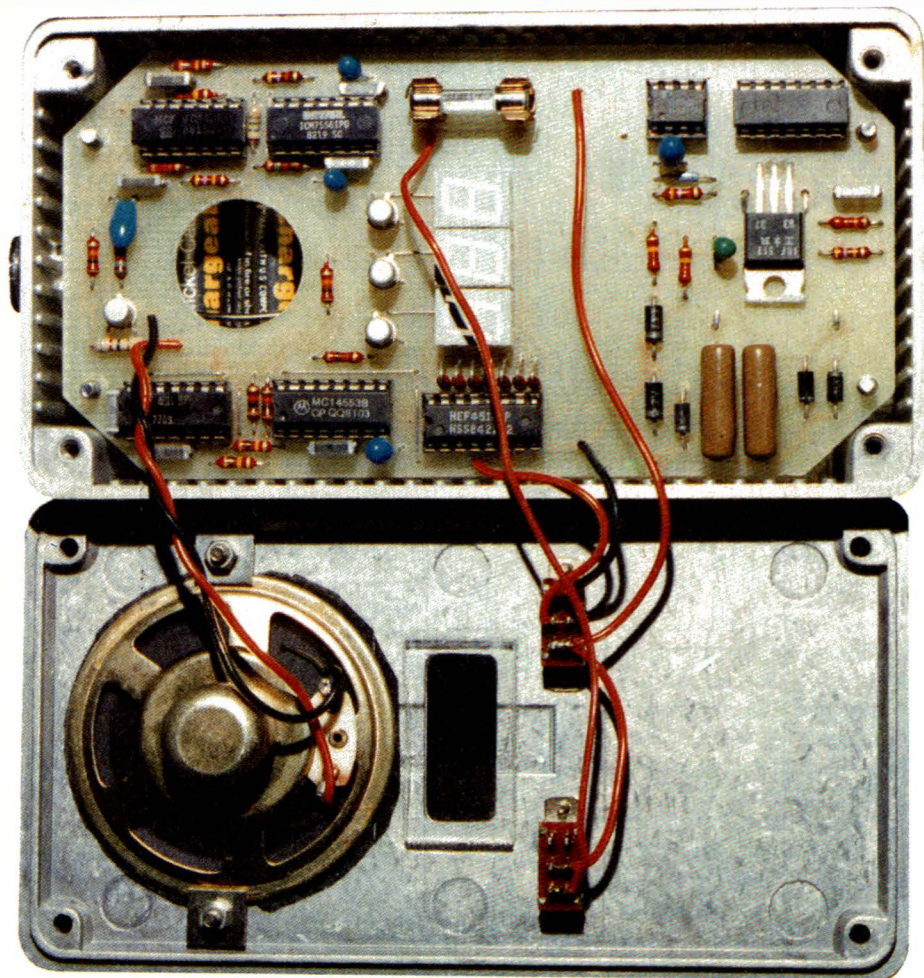


Figure 2

trouvons un doubleur de tension de type Schenkel, constitué des diodes 1N 4007,  $D_1$  et  $D_2$  et des condensateurs  $C_{14}$  et  $C_{15}$ , qui porte à un peu plus de 500 volts la tension nécessaire à la sonde.

La commande de l'oscillateur est assurée par un amplificateur opérationnel à entrée JFET, IC<sub>6</sub>, utilisé en comparateur. Il s'agit d'un TL 091, qui est prévu pour travailler sur des tensions asymétriques. Il compare une fraction de la haute tension prélevée entre les diodes zener  $D_3$ ,  $D_4$  et  $D_5$  et les résistances  $R_{25}$  et  $R_{26}$ , avec une tension de référence obtenue grâce à une diode zener de

2,7 volts,  $D_6$  et la résistance  $R_{29}$ . Lorsque la haute tension baisse, la tension sur l'entrée inverseuse de IC<sub>6</sub> devient inférieure à la tension de référence présente sur l'entrée non inverseuse, ce qui entraîne le passage à l'état « 1 » de sa sortie. Deux inverseurs en série 1/2 IC<sub>7</sub>, servent à améliorer le signal de déclenchement de l'oscillateur qui se met alors en marche. La haute tension s'élève donc jusqu'à ce que la tension sur l'entrée inverseuse de IC<sub>6</sub> redevenue supérieure à la référence, sa sortie passe alors à l'état « 0 » ce qui provoque l'arrêt de l'oscillateur. La haute tension se met à baisser et le



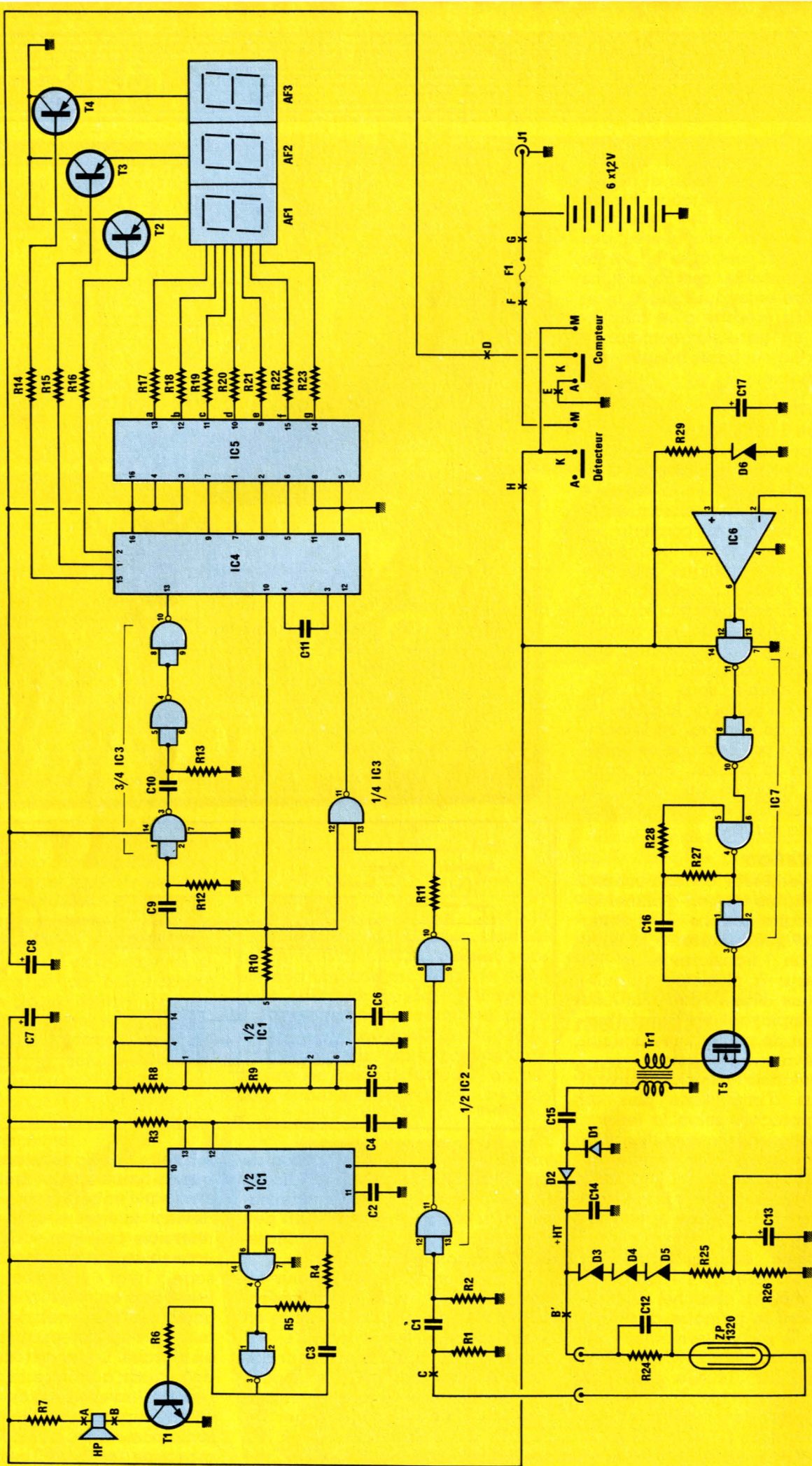


Figure 3



cycle recommence.

La haute tension ainsi obtenue est remarquablement stable, l'oscillateur fonctionne à raison d'une dizaine de trains d'impulsions par seconde, pour une tension d'alimentation de 7,5 volts. Ces trains d'impulsions s'élargissent et se rapprochent au fur et à mesure que la tension d'alimentation baisse, finalement l'oscillateur fonctionne en permanence en dessous de 5 volts.

La sortie de l'alimentation est reliée à la sonde par l'intermédiaire d'un câble blindé à deux conducteurs, fixé au coffret par une prise Din à verrouillage.

## Le circuit de détection

Les résistances  $R_1$  et  $R_2$ , le condensateur  $C_1$ , une porte nand  $IC_2$  montée en inverseur mettent en forme les impulsions en provenance de la sonde. Ces impulsions négatives commandent le monostable  $1/2 IC_1$  qui est une moitié de 7556, version CMOS du double timer 556. Il en sort des impulsions positives d'une durée constante. Elles servent à commander un oscillateur basse fréquence composé de deux portes nand  $1/2 IC_2$ , montées en inverseur, dont la fréquence est fixée par la résistance  $R_5$  et le condensateur  $C_3$ .

L'intérêt de ce circuit est de délivrer un « bip » agréable à l'oreille au lieu d'un crépitement.

Le signal est amplifié par le transistor  $T_1$ , le haut-parleur de 8 ohms est relié au + de l'alimentation par une résistance  $R_7$  de 82 ohms, cette valeur détermine la puissance du bip émis par le haut-parleur.

## Le compteur

Lorsque le nombre de chocs par seconde devient important, il est difficile d'en évaluer auditivement la quantité d'où l'utilité d'un compteur à affichage numérique qui nous permet ainsi d'effectuer une conversion des chocs par seconde en millirem/heure, avec le graphique de la figure 4.

Les impulsions négatives en provenance de la broche 11 de  $IC_2$  sont donc envoyées vers un compteur qui consiste d'abord en une base de temps employant l'autre moitié de  $IC_1$  et la quadruple porte nand 4011,  $IC_3$ . Elle fournit les impulsions de mémorisation et de remise à zéro nécessaires au compteur BCD 3 digits  $IC_4$ , il s'agit d'un CD 4553. Celui-ci est suivi d'un décodeur BCD / 7 segments, CD 4511,  $IC_5$ . Le compteur travaillant suivant le procédé multiplex, trois transistors  $T_2$ ,  $T_3$  et  $T_4$  commandent les cathodes communes des afficheurs HD 1107 Siemens. Ces afficheurs présentent l'avantage d'offrir de beaux chiffres de 10 mm de hauteur dans un boîtier 10 broches DIL.

Un interrupteur en série avec l'interrupteur marche / arrêt, permet de n'utiliser le compteur qu'en cas de nécessité, dans le but de réduire la consommation.

## Les accumulateurs

L'alimentation s'effectue par 6 accumulateurs Cd-Ni de type  $R_6$ , d'une capacité de 450 mA/heure. Une prise coaxiale  $J_1$  fixée au boîtier en permet la charge.

## Le chargeur

Les 6 accus Cd-Ni nécessitent le maintien d'un courant de charge de 45 mA pendant 14 heures. Nous pourrions employer le chargeur décrit dans Radio-Plans n° 426. Néanmoins, nous avons réalisé un chargeur parfaitement adapté à notre détecteur. Il dispose d'un système de marche/arrêt automatique, le courant de charge étant interrompu lorsque celle-ci est complète.

## Le circuit du chargeur

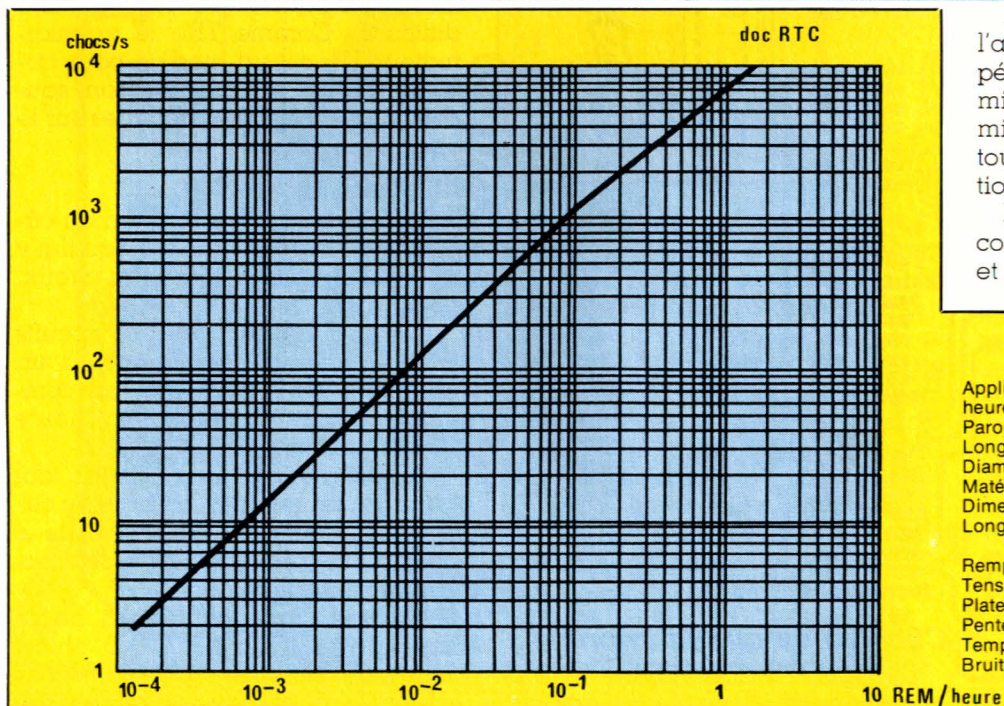
Comme le montre la figure 5, il est constitué tout d'abord d'un générateur de courant constant formé d'un transistor PNP 2N 2907A,  $T_6$ . La polarisation de la base est assurée par les diodes  $D_{10}$  et  $D_{11}$  et la résistance  $R_{33}$ . Le niveau du courant de charge est fixé par  $R_{36}$  à 45 mA.

Au début de la charge, la sortie du comparateur LM 311,  $IC_8$ , est à l'état « 0 », car la tension sur l'entrée non inverseuse est inférieure à celle présente sur l'entrée inverseuse, obtenue grâce à  $D_8$  et  $R_{31}$ . La sortie du comparateur étant virtuellement à la masse, le courant de charge peut alors circuler à travers  $T_6$ . En fin de charge, la tension sur l'entrée non inverseuse, prélevée sur les accus par  $R_{35}$ , atteint puis dépasse la référence ce qui a pour conséquence de bloquer  $T_6$  et donc d'interrompre la charge.

Un effet d'hystérésis a été introduit dans le circuit par  $R_{34}$  et  $R_{35}$ , car les comparateurs comme le LM 311 ont une fâcheuse tendance à entrer en oscillation avec des tensions d'entrée très voisines et à évolution lente.

Ainsi, la tension qui commande l'arrêt du courant de charge est supérieure de quelques centaines de millivolts à celle qui commande la mise en marche, ce qui supprime toute possibilité d'entrée en oscillation.

Deux diodes LED sont utilisées comme témoin :  $D_7$ , pour le secteur, et  $D_9$ , reliée à la sortie du compara-



### ZP 1320

Applications : Gamma, Bêta > 0,25 Mev, 10<sup>-3</sup> Rem/heure  
 Parois : épaisseur : 36 mg/cm<sup>2</sup>  
 Longueur utile : 28 mm  
 Diamètre extérieur : 8 mm  
 Matériau : CrFe  
 Dimensions : Diamètre maximum : 10 mm  
 Longueur maximum : 54 mm

Remplissage : NeA (halogène)  
 Tension d'amorçage : 380 V  
 Plateau : 500/650  
 Pente maximum : 0,08 %/V  
 Temps mort max. : 45 µs  
 Bruit de fond max. : 12 chocs/minute

Figure 4



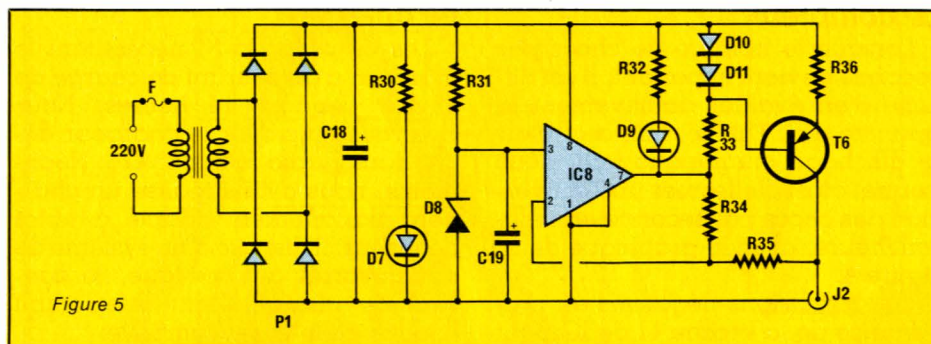


Figure 5

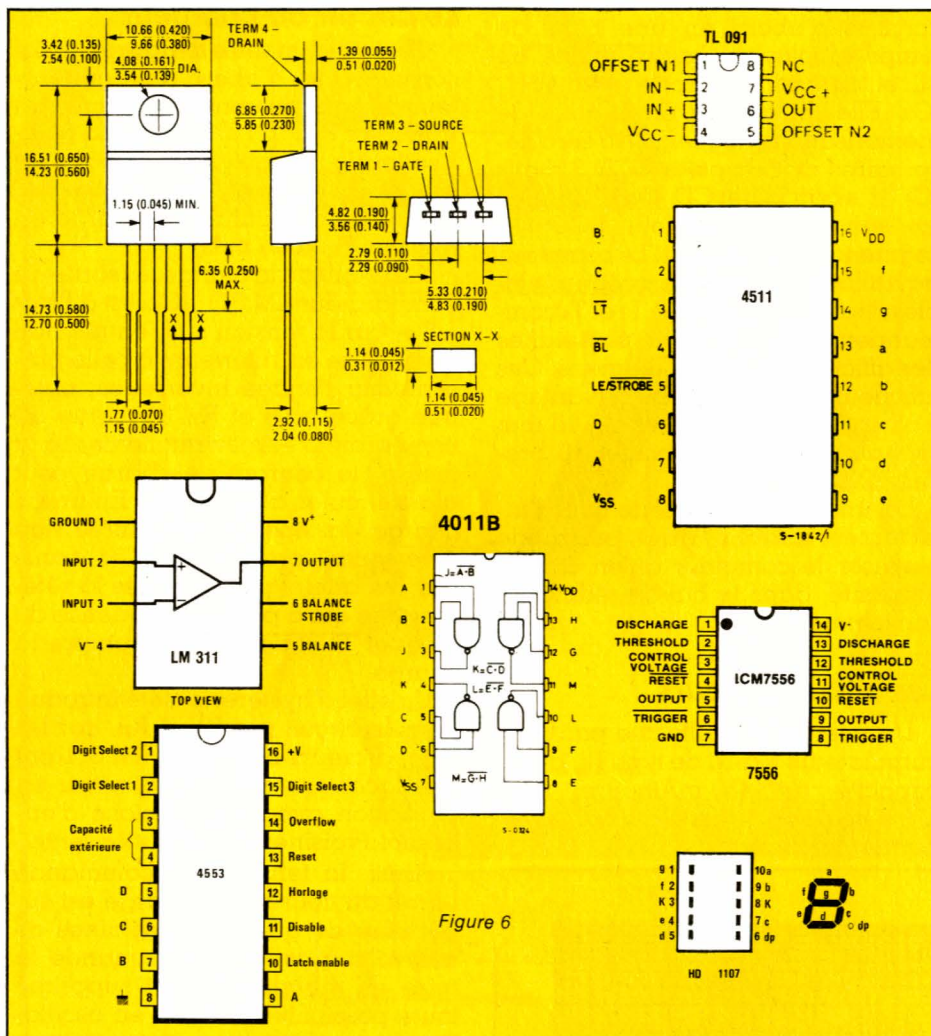


Figure 6

teur, nous signale le fonctionnement du circuit de charge.

## La réalisation pratique

### Montage de la sonde

Le tube Geiger-Müller est très fragile. Il convient donc de le manipuler avec précautions au cours des opérations de montage de la sonde. Étant donné sa fragilité, il n'est pas question d'utiliser le tube sans protection, il sera donc placé à l'intérieur d'un tube de plastique que l'on remplira ensuite de coton, en veillant

à ce que le tube Geiger-Müller soit maintenu au centre.

On soudera d'abord R<sub>24</sub> et C<sub>12</sub> sur la cosse de connexion à l'anode, cette cosse sera ensuite connectée au tube et le câble de liaison pourra alors être soudé au fil de cathode et à l'autre extrémité de R<sub>24</sub> et C<sub>12</sub>.

Notre tube de plastique présente l'avantage de posséder un bouchon vissant. Cette sonde sera utilisable dans l'eau si on la rend étanche avec un mastic silicone.

### Câblage du circuit imprimé

La figure 6 nous donne le brochage des circuits intégrés, des affi-

cheurs et du transistor MOS. L'implantation des composants sur le circuit imprimé et le câblage s'effectuent selon la figure 7. Ce circuit imprimé, dont le côté pistes est représenté à la figure 8, est percé d'un trou laissant le passage à l'aimant du haut-parleur.

Nous commencerons par poser les 8 straps. Tous les circuits intégrés seront montés sur supports et les résistances R<sub>17</sub> à R<sub>23</sub> seront fixées verticalement pour une question d'encombrement.

Le transformateur TR<sub>1</sub> est un modèle pour circuit imprimé, il sera soudé sur le côté pistes et ses cosses seront rabattues sur le côté composants afin d'améliorer son maintien.

Comme tous les composants MOS, le transistor IRF 511 sera soudé avec les précautions d'usage.

### Usinage du coffret

Le coffret est en aluminium de chez BIMBOX, référence BIM 5005. Il sera percé selon le plan de la figure 9.

Le haut-parleur de 5 cm de diamètre est maintenu à l'intérieur du couvercle à l'aide de deux pattes de fixation.

Le circuit imprimé est maintenu sur le fond du coffret par quatre vis de 3 x 40 mm.

La figure 10 est une coupe nous montrant la disposition générale des composants à l'intérieur du coffret.

### Montage du chargeur

Les figures 11 et 12 nous donnent le circuit imprimé du chargeur et son implantation. Le montage, sans aucun réglage, ne présente aucune difficulté. Comme TR<sub>1</sub>, le transformateur TR<sub>2</sub> est un modèle pour circuit imprimé, ses cosses seront soudées après avoir été rabattues sur le côté pistes.

### Essai du détecteur

Au cours de la vérification du câblage, nous veillerons à ce qu'il n'y ait pas de risque de court-circuit, notamment avec le couvercle.

L'emploi de supports de circuits intégrés permet de procéder à un premier essai par étapes, en commençant par l'alimentation haute tension, donc avec IC<sub>6</sub> et IC<sub>7</sub>.

Nous éviterons prudemment tout contact manuel avec la partie du circuit sous haute tension, car celle-ci peut provoquer une secousse électrique assez désagréable.

À l'aide d'un voltmètre à haute impédance d'entrée, 20 000 ohms/volts sur échelle 1 000 volts par exemple, nous nous assurerons que



la haute tension se situe bien aux alentours de 500 volts.

On remarquera que cette haute impédance, en chargeant la sortie de l'alimentation, suffira à accélérer le rythme de fonctionnement de l'oscillateur, ce qui constituera une preuve de l'efficacité du circuit d'asservissement.

Nous pourrons ensuite essayer le circuit de détection avec IC<sub>1</sub>, IC<sub>2</sub> et la sonde.

Le haut-parleur doit émettre des bips au nombre d'une dizaine par minute, ce qui est dû en grande partie au bruit de fond du tube Geiger-Müller. En plaçant la sonde à l'intérieur d'un tuyau de plomb ou d'une grosse bobine de soudure à l'étain, il se peut que l'on constate une légère diminution du nombre de chocs par minute, la protection de plomb constituant alors un absorbant de la radioactivité ambiante.

L'essai se terminera par le contrôle du compteur après avoir inséré IC<sub>3</sub>, IC<sub>4</sub> et IC<sub>5</sub> dans leurs supports.

## Essai du chargeur

Le branchement du cordon secteur doit provoquer l'allumage de la LED témoin. Relier ensuite le câble de charge au détecteur. Si l'état de charge des accus est insuffisant, la diode témoin de charge s'allumera. Le courant de charge sera interrompu lorsque la tension sur les accus dépassera 8,5 volts environ, avec extinction de la Led de charge.

Nous pourrons vérifier le bon fonctionnement de l'automatisme du chargeur en jouant sur l'interrupteur marche/arrêt du détecteur, celui-ci devant agir sur le voyant de charge.

## Utilisation du détecteur de radioactivité

Pour être certain du bon fonctionnement de notre détecteur, il ne reste plus qu'à nous procurer quelques éléments radioactifs disponibles dans le commerce. Voilà de quoi faire frémir d'horreur bien des éco-

logistes !

Tout d'abord nous pourrons nous fournir auprès des magasins de minéralogie, et de certains grands magasins, en échantillons de minerais d'uranium, comme la pechblende, l'autunite, la chalcocite, la bétafite... etc.

Le rayon minéralogie d'un grand magasin expose de magnifiques échantillons d'autunite, jaunes et fluorescents. Nous avons pu mesurer au niveau de la vitrine une dose d'irradiation de 30 millirem/heure ce qui correspond à près du tiers de la dose annuelle considérée comme normale ! Toutefois, il n'y a aucun danger à observer ces minéraux pendant quelques minutes, d'ailleurs, l'intensité du rayonnement s'affaiblissant avec la distance, le niveau d'irradiation est très faible au delà de quelques dizaines de centimètres.

Selon le poids et la teneur de l'échantillon, on pourra obtenir plusieurs centaines de chocs par se-

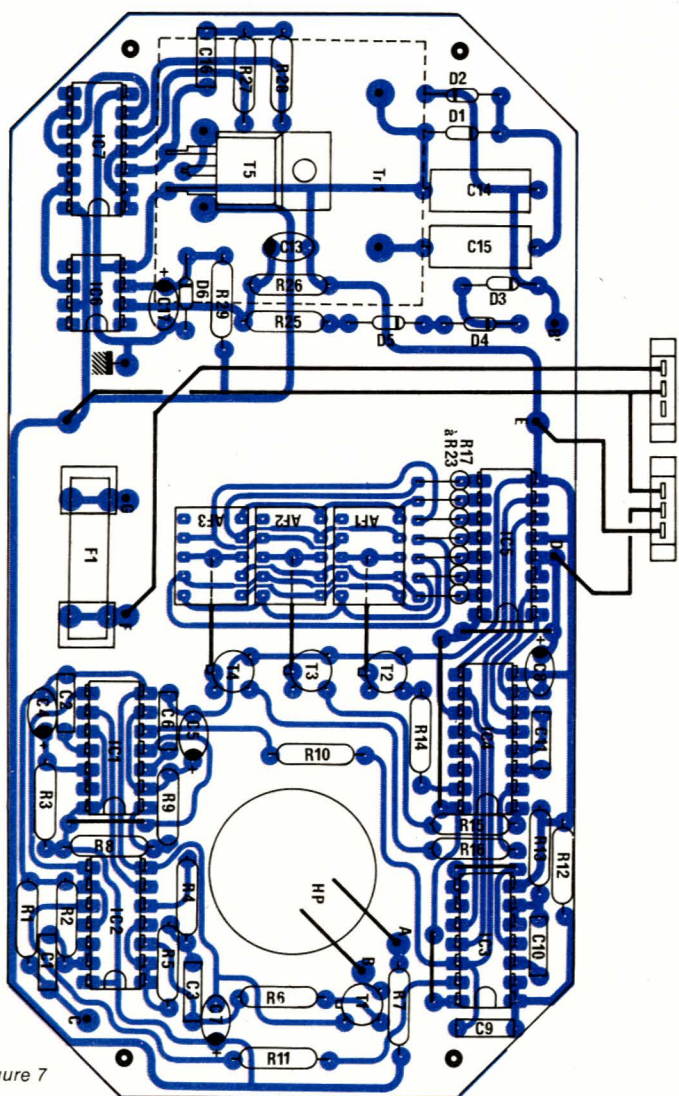


Figure 7

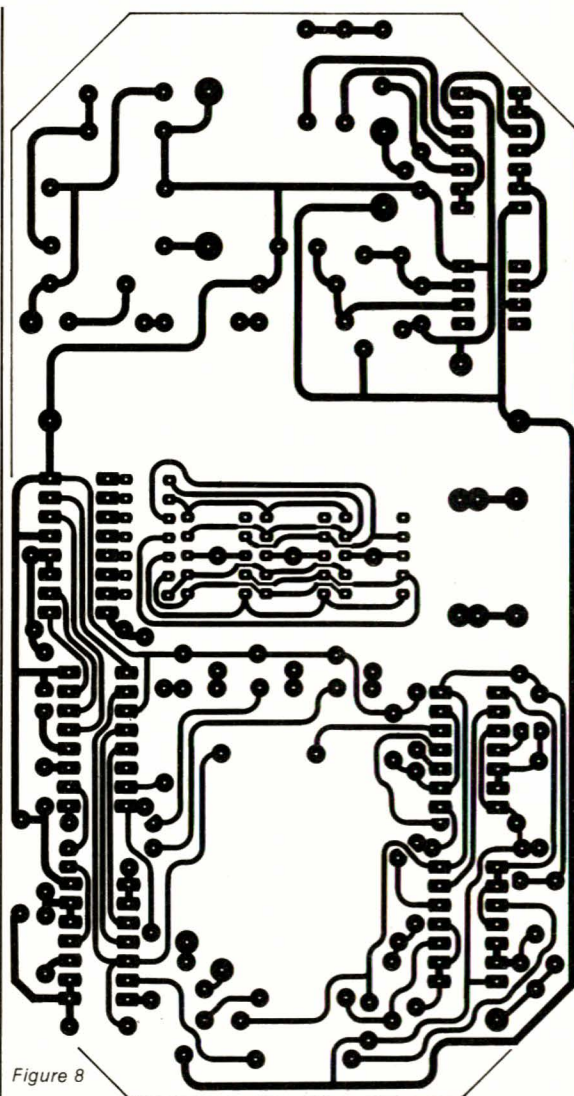


Figure 8



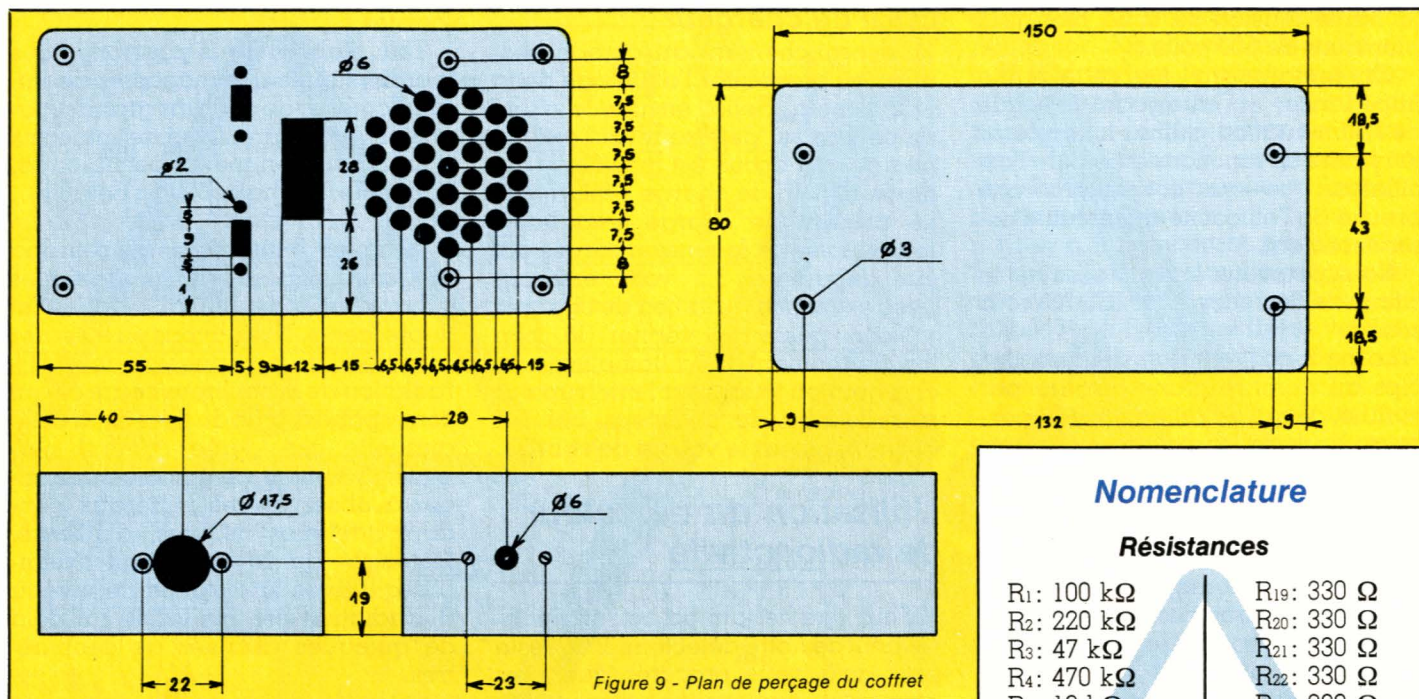


Figure 9 - Plan de perçage du coffret

conde, car on détecte facilement les rayons gamma émis par les descendants de l'uranium, comme le radium, toujours présents dans son minéral.

Certains Muséums d'Histoire Naturelle possèdent une belle collection de minerais d'uranium et de thorium qui font crépiter de joie notre détecteur !

Actuellement, la prospection de l'uranium bat son plein en France. Les zones de prospection se situent surtout au sud de la Loire, dans le Massif Central en particulier, en Bretagne et en Alsace, et de nombreux gisements restent à découvrir.

En moyenne, l'écorce terrestre contient de 2 à 4 grammes d'uranium par tonne, on atteint 25 grammes par tonne dans certains granites et on exploite actuellement des minerais qui en contiennent de 1 à 2 kg par tonne.

Contrairement au pétrole, on ne dispose pas de méthodes de détection efficaces des gisements quand ils se trouvent au delà de quelques dizaines de mètres de profondeur. On doit donc faire appel à des modèles géologiques pour orienter les recherches.

On peut également se procurer des manchons à incandescence pour lampe à gaz butane. Ils sont imprégnés de nitrures de cérium et de thorium, métal radioactif, qui ont des propriétés réfractaires. Au contact d'un manchon, on compte de 5 à 10 chocs par seconde, ce qui correspond à 0,5 millirem/heure environ.

## Quelques remarques

Nous prendrons soin de préserver la sonde des chocs violents qui pourraient détruire le tube.

Afin de leur assurer une longue vie, nous éviterons de laisser les accus complètement déchargés, ils ont besoin d'être rechargés périodiquement.

## Conclusion

En plus des possibilités que nous avons décrites, ce détecteur nous avertira d'un danger de pollution par des matières radioactives. Il pourra ainsi calmer les appréhensions de ceux qui vivent à proximité des installations nucléaires.

Philippe HIRAGA

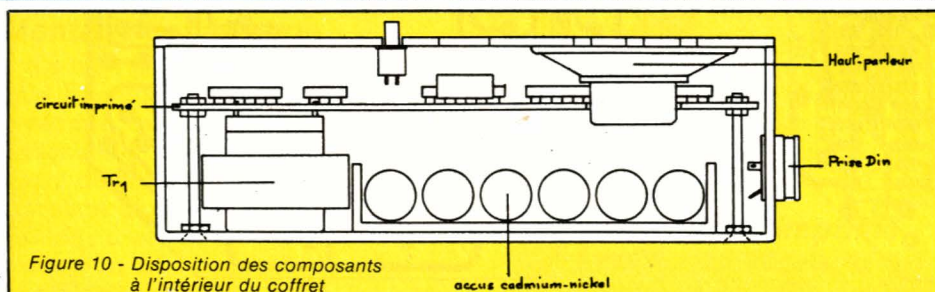


Figure 10 - Disposition des composants à l'intérieur du coffret

## Nomenclature

### Résistances

R1: 100 k $\Omega$	R19: 330 $\Omega$
R2: 220 k $\Omega$	R20: 330 $\Omega$
R3: 47 k $\Omega$	R21: 330 $\Omega$
R4: 470 k $\Omega$	R22: 330 $\Omega$
R5: 12 k $\Omega$	R23: 330 $\Omega$
R6: 5,6 k $\Omega$	R24: 4,7 M $\Omega$
R7: 82 $\Omega$	R24: 220 k $\Omega$
R8: 1,5 M $\Omega$	R26: 220 k $\Omega$
R9: 1,5 k $\Omega$	R27: 22 k $\Omega$
R10: 10 k $\Omega$	R28: 470 k $\Omega$
R11: 10 k $\Omega$	R29: 4,7 k $\Omega$
R12: 100 k $\Omega$	R30: 560 $\Omega$
R13: 100 k $\Omega$	R31: 2,2 k $\Omega$
R14: 1 k $\Omega$	R32: 560 $\Omega$
R15: 1 k $\Omega$	R33: 10 k $\Omega$
R16: 1 k $\Omega$	R34: 100 k $\Omega$
R17: 330 $\Omega$	R35: 4,7 k $\Omega$
R18: 330 $\Omega$	R36: 11 $\Omega$

### Circuits intégrés

IC1: 7556	IC5: CD 4511
IC2: CD 4011	IC6: TL 091
IC3: CD 4011	IC7: CD 4011
IC4: CD 4553	IC8: LM 311

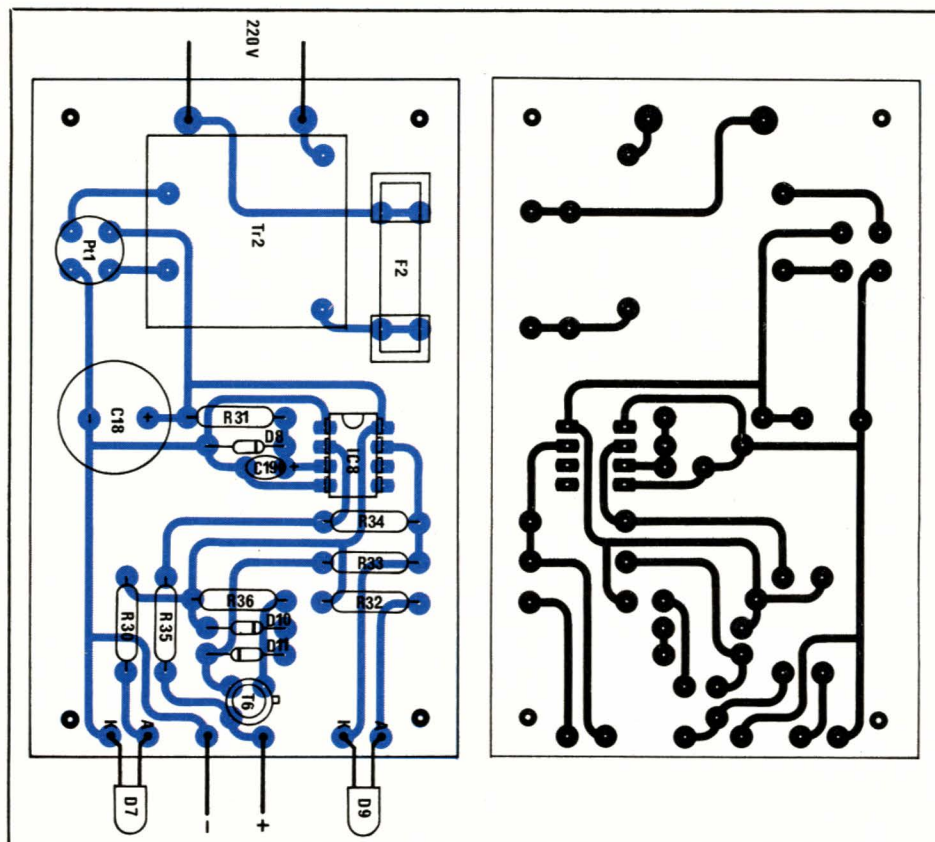
### Transistors

T1: 2N 2222A ou équivalent	
T2: 2N 2907A	
T3: 2N 2907A	T5: IRF 511
T4: 2N 2907A	T6: 2N 2907A

### Diodes

D1: 1N 4007
D2: 1N 4007
D3: 100 V 1 W Zener
D4: 200 V 1 W Zener
D5: 200 V 1 W Zener
D6: 2,7 V 0,4 W Zener
D7: LED 3 mm rouge
D8: 8,2 V 0,4 W Zener
D9: LED 3 mm rouge
D10: 1N 4148
D11: 1N 4148
P1: Pont 50 V / 1 A





## Condensateurs

C<sub>1</sub>: 1 nF MKH C<sub>4</sub>: 1  $\mu$ F 16 V tantale  
 C<sub>2</sub>: 10 nF MKH C<sub>5</sub>: 1  $\mu$ F 16 V tantale  
 C<sub>3</sub>: 10 nF MKH C<sub>6</sub>: 10 nF MKH  
 C<sub>7</sub>: 22  $\mu$ F 16 V tantale  
 C<sub>8</sub>: 22  $\mu$ F 16 V tantale  
 C<sub>9</sub>: 1 nF MKH  
 C<sub>10</sub>: 1 nF MKH  
 C<sub>11</sub>: 1 nF MKH  
 C<sub>12</sub>: 4,7 pF 1000 V  
 C<sub>13</sub>: 0,4  $\mu$ F 16 V tantale  
 C<sub>14</sub>: 100 nF 630 V polyester  
 C<sub>15</sub>: 100 nF 630 V polyester  
 C<sub>16</sub>: 10 nF MKH  
 C<sub>17</sub>: 22  $\mu$ F 16 V tantale  
 C<sub>18</sub>: 1000  $\mu$ F 25 V  
 C<sub>19</sub>: 4,7  $\mu$ F 16 V tantale

## Divers

AF<sub>1</sub>: HD 1107  
 AF<sub>2</sub>: HD 1107 Siemens  
 AF<sub>3</sub>: HD 1107  
 TR<sub>1</sub>: Transfo 6 V 3 VA  
 TR<sub>2</sub>: Transfo 9 V 3 VA (TR<sub>1</sub>, TR<sub>2</sub>,  
 modèle à implantation sur circuits  
 imprimés)  
 F<sub>1</sub>: Fusible 1 A 20 mm  
 F<sub>2</sub>: Fusible 0,5 A 20 mm  
 HP: Haut-parleur  $\varnothing$  5 cm, 8 ohms  
 J<sub>1</sub>: Connecteur chassis alimentation  
 avec interrupteur  
 J<sub>2</sub>: Fiche alimentation coaxiale  
 K<sub>1</sub> et K<sub>2</sub>: Inverseurs à glissière  
 Coffret BIMBOX BIM 5005,  
 Coffret ESM EM 0605,

Embase femelle DIN à  
 verrouillage,  
 Fiche mâle DIN à verrouillage,  
 6 accus R<sub>6</sub> 1,2 V/450 mAh, tube  
 Geiger-Müller type ZP 1320 ou  
 ZP 1322 de RTC,  
 câble blindé à deux conducteurs,  
 1 support de CI<sub>8</sub> broches profil bas,  
 4 supports de CI<sub>14</sub> broches profil  
 bas,  
 2 supports de CI<sub>16</sub> broches profil  
 bas,  
 2 supports de fusible 20 mm.

## BIBLIOGRAPHIE SOMMAIRE

Dans la collection QUE-SAIS-JE ?

- Radioactivité, énergie nucléaire.
- Les radiations nucléaires.
- L'uranium (en réédition).
- La radioprotection.
- Les matériaux nucléaires.
- Minerais et terres rares.

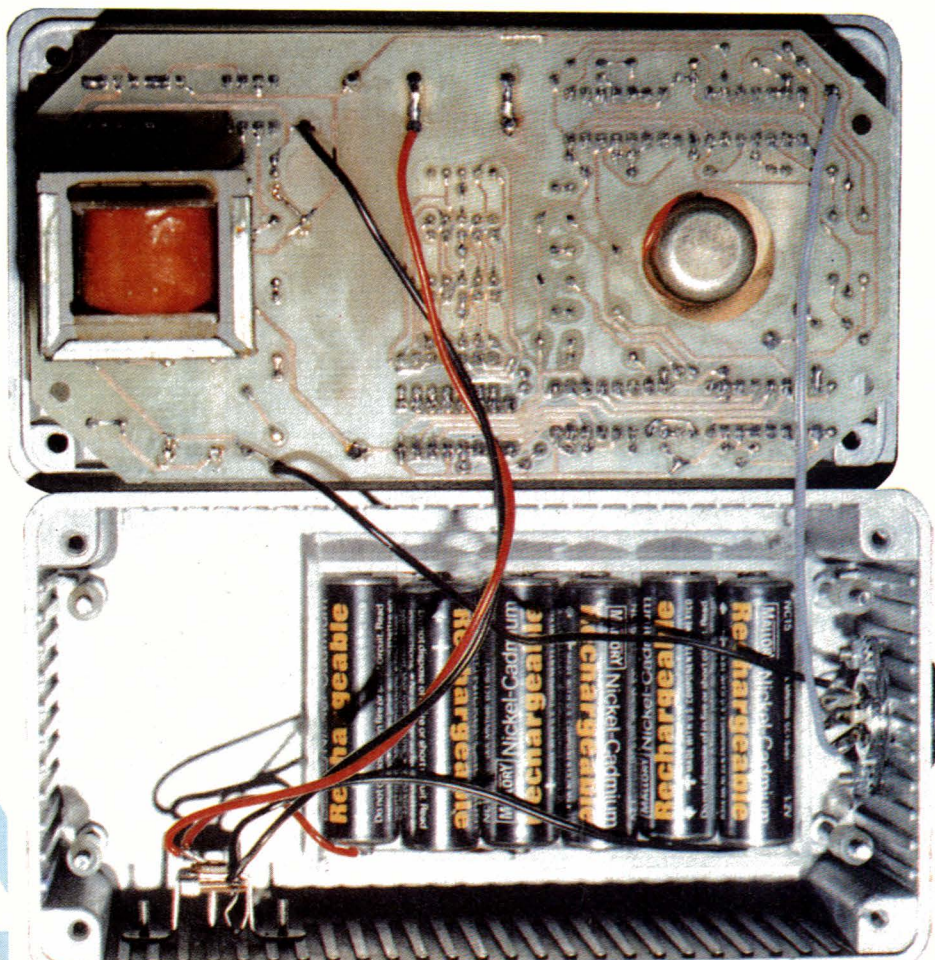
Collection EDMA du Livre de Poche :  
 Le Nucléaire.

Chez Vuibert :  
 Radioactivité (thèmes Vuibert).

Publications de l'E.D.F. relatives au nucléaire :  
 A.F.I.D. BP 8209 75421 Paris Cedex 09.

La radioactivité est au programme de Physique des  
 terminales scientifiques.

Le palais de la Découverte à Paris dispose d'une  
 salle attribuée à l'énergie nucléaire.





# L'ELECTRONIQUE VA VITE PRENEZ LE TEMPS DE L'APPRENDRE AVEC EURELEC



La radio-communication, c'est une passion pour certains, cela peut devenir un métier. **L'électronique industrielle**, qui permet de réaliser tous les contrôles et les mesures, **l'électrotechnique**, dont les applications vont de l'éclairage aux centrales électriques, sont aussi des domaines passionnants et surtout pleins d'avenir. Vous que la **TV couleur**, **l'électronique digitale** et même les **micro-ordinateurs** intéressent au point de vouloir en faire un métier, vous allez en suivant nos cours, confronter en permanence vos connaissances théoriques avec l'utilisation d'un matériel que vous réaliserez vous même, au fur et à mesure de nos envois. Ainsi, si vous choisissez la TV couleur, nous vous fournirons de quoi construire un récepteur couleur PAL-SECAM, un oscilloscope et un voltmètre électronique. Si vous préférez vous orienter vers l'électronique digitale et les micro-ordinateurs, la réalisation d'un ordinateur "Eletra Computer System®" avec son extension de mémoire Eprom, fait partie de notre enseignement. Quel que soit votre niveau de connaissance actuel, nos cours et nos professeurs vous prendront en charge pour vous amener progressivement au stade professionnel, en suivant un rythme choisi par vous. Et pour parfaire encore cet enseignement, avant de vous lancer dans votre nouvelle activité, Eurelec vous offre un **stage gratuit** dans ses laboratoires dès la fin des études. Mettez toutes les chances de votre côté, avec nous, vous avez le temps d'apprendre.



**eurelec**  
institut privé d'enseignement à distance

Rue Fernand-Holweck - 21100 DIJON  
Tél. (80) 66.51.34

## BON POUR UN EXAMEN GRATUIT

A retourner à EURELEC - Rue Fernand-Holweck - 21100 DIJON.

Pour vous permettre d'avoir une idée réelle de la qualité de l'enseignement et du nombreux matériel fourni, EURELEC vous offre de recevoir, CHEZ VOUS, gratuitement et sans engagement, le premier envoi du cours que vous désirez suivre (comprenant un ensemble de leçons théoriques et pratiques et le matériel correspondant). Il vous suffit de compléter ce bon et de le poster aujourd'hui même.

Je soussigné : Nom \_\_\_\_\_ Prénom \_\_\_\_\_

DATE ET SIGNATURE  
(Pour les enfants signature des parents)

Adresse : \_\_\_\_\_ Tél. \_\_\_\_\_

Ville \_\_\_\_\_ Code postal \_\_\_\_\_

désire recevoir, pendant 15 jours et sans engagement de ma part, le premier envoi de leçons et matériel de :

- ☐ ELECTRONIQUE FONDAMENTALE ET RADIO-COMMUNICATIONS
- ☐ ELECTROTECHNIQUE
- ☐ ELECTRONIQUE INDUSTRIELLE

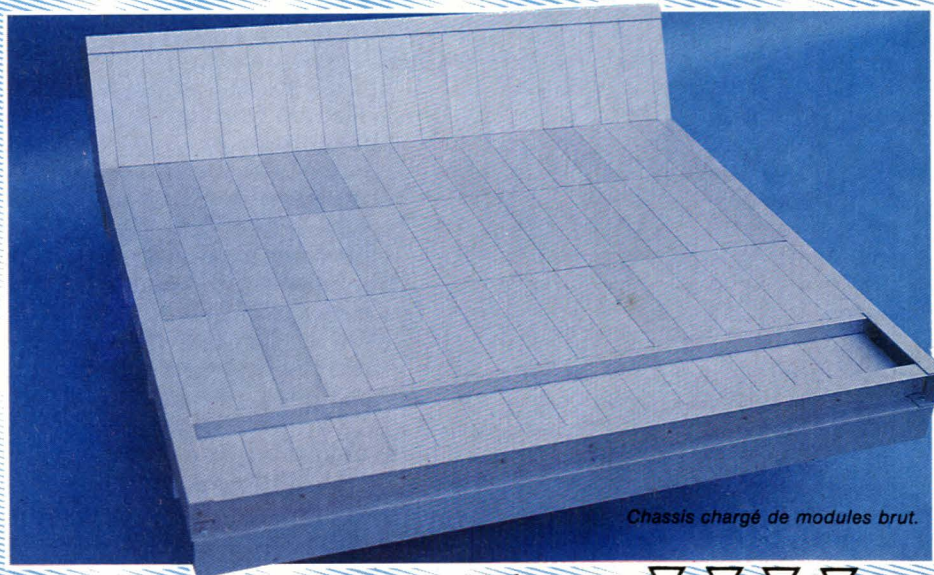
- ☐ INITIATION A L'ELECTRONIQUE POUR DEBUTANTS
- ☐ ELECTRONIQUE DIGITALE ET MICRO-ORDINATEUR
- ☐ TELEVISION NOIR ET BLANC ET COULEURS

• Si cet envoi me convient, je le conserverai et vous m'enverrez le solde du cours à raison d'un envoi en début de chaque mois, les modalités étant précisées dans le premier envoi gratuit.

• Si au contraire, je ne suis pas intéressé, je vous le renverrai dans son emballage d'origine et je vous devrai rien. Je reste libre, par ailleurs, d'interrompre les envois sur simple demande écrite de ma part.



## Console AC 1<sup>ère</sup> partie le chassis



Chassis chargé de modules brut.

Commencer une réalisation électronique par un description mécanique, est peu courant. Pourtant il est logique d'en passer par là, puisqu'il serait délicat de construire toute une série de modules et de ne savoir où les mettre !

La structure porteuse que nous allons voir peut recevoir 85 modules. Chacun pourra l'agrandir ou la réduire comme il lui plaira.

Entièrement constituée de profilés d'aluminium anodisé, elle ne comporte aucune vis apparente et se construit en une après-midi. Tout a été pensé de telle sorte qu'elle puisse être exécutée sans outillage spécial, sans pliage savant et sans connaissance mécanique particulière.

La photographie qui illustre cette page, montre un chassis entièrement chargé de modules bruts. Ne trouvez-vous pas qu'elle a un petit air de famille avec celles qui vous ont tant fait rêver ?

temps: ⌂ ⌂ ⌂ ⌂

difficulté: 

dépense: \$ \$ \$ \$

### Introduction

Mettre au point un châssis à la fois solide, joli, imputrescible, léger, facile à construire et à reproduire par l'amateur peu outillé, capable de regrouper sur quatre plans différents 85 modules représentant 0,7 m<sup>2</sup> de face avant + 10 dm<sup>2</sup> de face arrière, bien ajusté, pour le prix de deux racks 19 pouces 2 unités, tendait vers la performance olympique.

Nous y sommes pourtant arrivés après bien des nuits d'insomnie, et c'est tout prêt tout chaud que nous sommes heureux de le présenter au lecteur.

Un choix important à faire consistait à déterminer une largeur standard à tous nos modules. Après mûre réflexion, nous nous sommes arrêtés à 50 mm. La firme STUDER a opté pour 30 mm, mais elle bénéficie de composants spéciaux, qui permettent un si petit format. Le standard actuel tend à être de 40 mm. Cela devenait possible puisqu'il existe un profilé alu de 42 mm, mais imposait une construction bien délicate, surtout pour une modularité totale. En effet, quand on réalise une grande carte sur une face avant d'un seul tenant, chacun sait que l'on exploite parfois de façon curieuse l'espace disponible : certains composants se promènent dans cet espace et ne correspondent pas toujours à un agencement découppable étage par



Le chassis vide, c'est la structure qui est décrite dans cet article.



étage. Cette facilité nous était interdite par le fait même de la séparation physique par petits groupes.

D'autre part, pour autoriser l'utilisation de composants courants, il ne fallait pas trop miniaturiser. C'est pourquoi, la largeur de chaque module est portée à 5 cm extérieurs et 46 mm intérieurs. Il faut déjà parfois faire attention pour que tout ce qui doit rentrer accepte de le faire aimablement !

Ensuite, il fallait définir la capacité totale admissible, et répartir harmonieusement et logiquement l'affectation de chaque emplacement. C'est ainsi que nous nous sommes arrêtés à la configuration suivante : 17 tranches dont 12 réservées aux entrées. Ces 12 tranches pourront accepter soit des modules « mono » (entrées micro/ligne), soit des modules « stéréo » destinés à recevoir des lignes stéréo (platines tourne-disque, magnétophones, etc.). Déjà à ce stade, chacun a la possibilité de combiner comme il veut la destination de ces 12 tranches : soit 12 micros, soit 12 machines stéréo soit toutes les

configurations intermédiaires. La réalisation propre à l'auteur est de 9 voies micro/ligne et 3 voies machines stéréo.

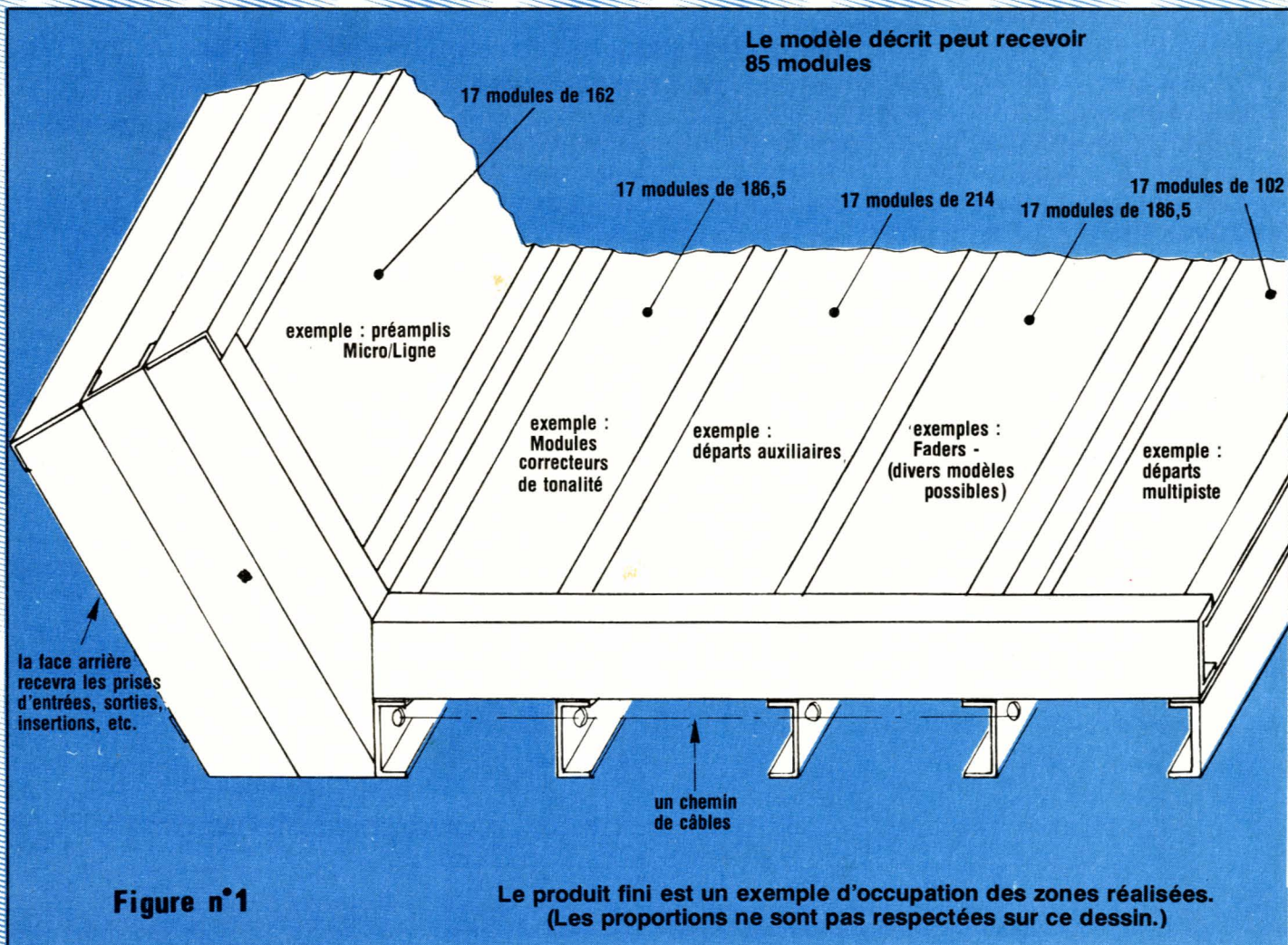
Peu de fabricants proposent des voies stéréo et c'est bien regrettable. En effet, une source stéréo a besoin de deux voies (vous ne le saviez sans doute pas...), aussi, si l'on voulait connecter 9 micros et 3 machines stéréo sur une table ordinaire, faudrait-il prévoir 15 tranches au lieu des 12 qui nous suffisent. Jusque là rien de catastrophique, mais le confort d'utilisation, lui, en prend un sérieux coup : ajustage des gains séparé, correcteurs de tonalité séparés, tirettes de volume à entraîner simultanément, etc.) STUDER y a pensé et propose un module appelé « module d'entrée » (ce que nous appelons micro/ligne, ou mono), et un autre appelé « entrées stéréophoniques à haut niveau ». Les voies stéréos de ce constructeur ne comportent pas de correcteur de tonalité, ce qui est tout-à-fait normal pour la majeure partie des usages professionnels, mais peut parfois



Détail du plan incliné vu de l'avant. On voit bien les assemblages des barres transversales.

dérouter et même gêner les animateurs de discothèques. C'est pourquoi nous en avons conçu un.

Les 12 tranches comportent chacune 5 modules affectés ainsi : 1<sup>er</sup> module d'entrée (monté dans la partie inclinée, 2<sup>e</sup> correcteur de tonalité, 3<sup>e</sup> départs auxiliaires (retours, départs écho, panoramique, préécoute, écoute solo, mise en route de la voie et commutation





master 2), 4<sup>e</sup> module fader (avec son ampli associé), 5<sup>e</sup> départ multipistes (1.2, 3.4, 5.6, 7.8).

Si tous ces modules étaient mis à plat, il faudrait avoir le bras très long pour accéder à tous les boutons ! C'est pourquoi nous avons utilisé les deux astuces suivantes : tout d'abord nous avons incliné les étages d'entrée vers l'utilisateur, puis nous avons placé tout à l'avant les départs multipistes et les avons encastrés de 2 cm. Ainsi, il sera possible de les recouvrir du traditionnel bandeau de skaï destiné à appuyer le poignet ; à condition de l'articuler pour pouvoir accéder aux commutateurs, quand cela sera nécessaire. Nous avons exploité de ce fait, deux fois la même surface et l'idée nous est venue d'une astuce sensiblement identique utilisée par STUDER sur son modèle 369 : le bandeau bascule et découvre toutes les prises d'insertion, permettant ainsi de brasser toutes les liaisons les concernant, sans être gêné par les câbles, et de façon très esthétique et pratique.

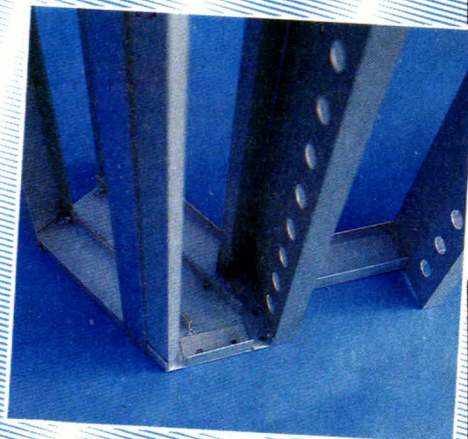
Après les 12 tranches que nous venons de détailler, on trouvera (de gauche à droite), un emplacement vide (ou presque) matérialisant la séparation entrées/sorties, deux tranches destinées à deux magnétophones lecteurs/enregistreurs ou masters, une tranche de contrôle

studio et une de services (intercom, oscillateur d'identification, etc.). Nous verrons tout cela en détail le moment venu.

La face arrière comporte toutes les prises destinées aux connexions extérieures, et se trouve légèrement inclinée vers le bas, du fait qu'elle est parallèle au plan des modules d'entrée. Elle est usinée dans une plaque de PVC de 5 mm d'épaisseur. Cette matière étant isolante, nous évitons d'avoir à monter des bagues plastique à chaque prise ou à courir le risque d'une horrible ronflette due à des boucles de masses.

L'alimentation en basse tension viendra de l'extérieur et fera partie d'un rack spécifique connecté au châssis de base. Il n'y aura donc rien à craindre d'éventuelles perturbations dues aux transformateurs et l'aération sera beaucoup plus facile à faire, donc plus efficace. Tout est conçu pour travailler 24 heures sur 24. Reposez-vous quand même de temps à autre !

La figure 1 illustre ce que nous venons de voir. Elle indique en plus, le procédé qui a été retenu pour passer les câbles de liaisons (réduits au strict minimum, rassurez-vous). Chaque barre transversale est percée tous les 5 cm d'un



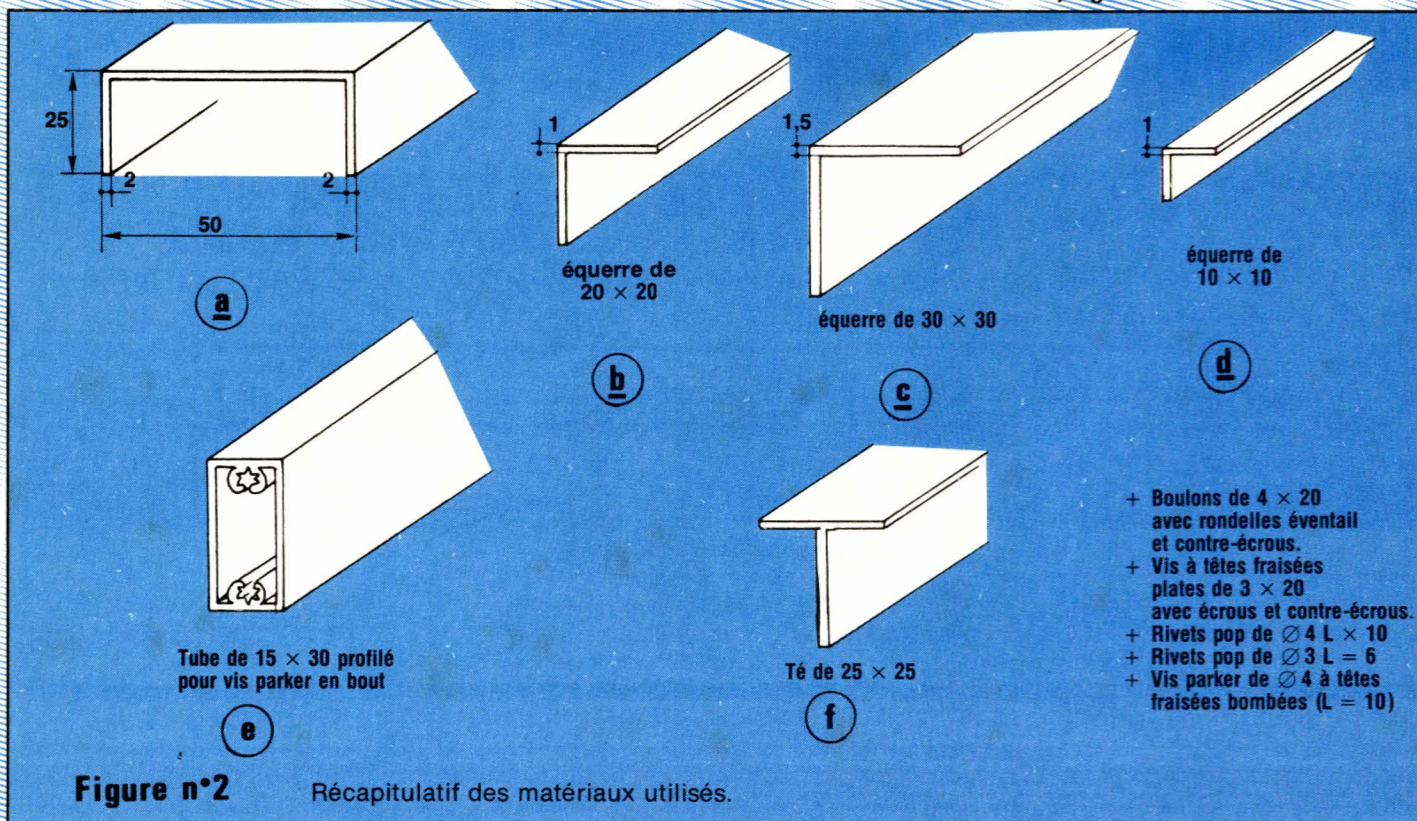
Le bloc arrière vu de dessous (assemblage des flancs inclinés).

trou de  $\varnothing 19$ , matérialisant un « chemin de câbles » par tranche.

Ce procédé permet de guider proprement, toutes les liaisons communes à chaque voie. Le châssis est donc traversable 17 fois sur toute sa longueur comme on peut le voir sur les photos où il est vidé de ses modules bruts.

Maintenant que nous avons survolé les différents points de la structure de base, nous allons voir comment réaliser cette grosse merveille. Nous examinerons au fur et à mesure de la description des modules, tout ce qui peut rester obscur. Chaque chose en son temps !

*suite page 80*





**LA DIFFUSION SONORE**

**L'ENREGISTREMENT**

**L'EQUIPEMENT**

**LA SCENE**

**LA LUMIERE**



## **SALON INTERNATIONAL DE L'EQUIPEMENT DES DISCOTHEQUES DES LIEUX DE LOISIRS ET DE SPECTACLES**

c'est :

- 15000 MÈTRES CARRÉS D'EXPOSITION ■ 200 EXPOSANTS
- 20000 VISITEURS ATTENDUS
- 4 JOURS DE RENCONTRES, D'INFORMATIONS,  
DE DIALOGUES, DE SPECTACLES ET D'AFFAIRES.

*Vous faites partie d'une des 20 catégories professionnelles ci-dessous,  
vous pouvez bénéficier **GRATUITEMENT** d'une **CARTE D'ENTRÉE PERMANENTE**  
Pour obtenir cette carte, remplissez le questionnaire et renvoyez-le à :*

**S.I.E.L. / BERNARD BECKER PROMOTION**  
**161, boulevard Lefebvre - 75015 PARIS - FRANCE**  
**Tél. : (1) 533.74.50 Téléc. : 220064 F. ETRAV EXT 3012**

NOM.....		PRÉNOM.....		TÉLÉPHONE.....	
SOCIÉTÉ.....		FONCTION.....			
ADRESSE PROFESSIONNELLE N°.....		RUE.....			
CODE POSTAL.....		VILLE.....		PAYS.....	
<b>Cochez votre activité</b>					
<input type="checkbox"/> Architectes	<input type="checkbox"/> Forains	<input type="checkbox"/> Organisateurs de spectacles	<input type="checkbox"/> Salles de spectacles	RP 02	
<input type="checkbox"/> Cinémas	<input type="checkbox"/> Hôtels avec salle de spectacle	<input type="checkbox"/> Palais des Congrès	<input type="checkbox"/> Salles polyvalentes		
<input type="checkbox"/> Décorateurs	<input type="checkbox"/> Ingénieurs du Son	<input type="checkbox"/> Responsables de collectivités locales (mairies)	<input type="checkbox"/> Sonorisateurs		
<input type="checkbox"/> Discomobiles	<input type="checkbox"/> Installateurs de matériel	<input type="checkbox"/> Responsables radios et télévisions	<input type="checkbox"/> Studios d'enregistrement		
<input type="checkbox"/> Discothèques	<input type="checkbox"/> Maisons des Jeunes	<input type="checkbox"/> Revendeurs	<input type="checkbox"/> Théâtres		



## FICHE MESURE N° 3

RPEL

Aux basses fréquences - domaine allant jusqu'à 50 à 100 kHz - il est habituel d'utiliser des paires de liaisons symétriques pour :

— Rapprocher conducteurs d'aller et de retour, pour à la fois diminuer la surface de la boucle ainsi constituée - et donc le champ magnétique rayonné - et l'influence néfaste des champs magnétiques extérieurs.

— Egaliser la capacité répartie des conducteurs d'aller et de retour par rapport à la masse ; on évite ainsi une dissymétrie entre les circuits constitués par un de ces conducteurs et la masse et la création de courants entre ces conducteurs et la masse, courants qui génèreraient des champs magnétiques parasites ; d'autre part, les champs magnétiques extérieurs ne pourront, dans ces conditions, induire dans ces circuits des courants. Pour obtenir une égalisation parfaite, la solution à retenir consiste à placer conducteurs d'aller et de retour sous un écran conducteur commun mis à un potentiel fixe (masse) ce qui annule les couplages capacitifs entre les conducteurs « mesures » et les conducteurs extérieurs. Enfin, pour protéger totalement les conducteurs « mesures » de l'influence des champs magnétiques externes, il conviendra de les pourvoir d'un blindage magnétique.

Aux fréquences plus élevées - supérieures à 100 kHz - la préférence ira à la paire coaxiale car alors :

— En raison de l'effet de peau (effet Kelvin), le conducteur externe protège non seulement le conducteur interne mais aussi sa surface interne (écran électrostatique, rôle joué par le conducteur externe).

— En raison des courants de Foucault dans le conducteur externe, courants induits par les champs magnétiques externes et qui créent un champ magnétique antagoniste des champs extérieurs. Comme les courants induits restent cantonnés à la surface externe du conducteur formant blindage, ils ne perturbent pas et le conducteur central et la surface conductrice en regard.

— De par sa configuration, la paire coaxiale ne rayonne pas. En effet, aucun courant ne circule sur la surface externe du conducteur extérieur.

Une paire symétrique l'est effectivement si les mesures coïncident en divers points du montage en permutant les deux conducteurs.

Une paire coaxiale joue effectivement son rôle si les mesures ne dépendent pas de la mise à la masse ou non du conducteur externe.

Radio Plans - Electronique Loisirs

## FICHE MESURE N° 2

RPEL

Il vient :

$$\frac{\Delta x}{x} = \varepsilon_v + \varepsilon_i + \frac{x}{r_v} (\varepsilon_v + \varepsilon_i + \varepsilon_r)$$

Cette méthode est donc d'autant plus précise que  $x \ll r_v$ , toutes choses étant égales par ailleurs.

**Montage amont** (ou en longue dérivation) : Ici, si l'ampèremètre mesure le courant traversant la résistance inconnue  $x$ , le volt-mètre mesure la ddp aux bornes de l'ensemble série (résistance  $x +$  ampèremètre).

Si  $r_a$  est la résistance de l'ampèremètre :

$$x = \frac{V}{I} - r_a$$

Si  $r_a$  est connue, on peut en principe mesurer n'importe quel ordre de grandeur de résistance.

Calcul d'erreur à partir de :  $x + r_a = V/I$

$$\frac{dx}{x + r_a} + \frac{dr_a}{x + r_a} = \frac{dV}{V} - \frac{dI}{I}$$

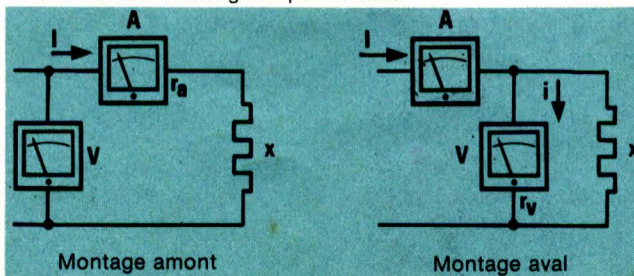
$$\frac{dx}{x} = \frac{dV}{V} \left(1 + \frac{r_a}{x}\right) - \frac{dI}{I} \left(1 + \frac{r_a}{x}\right) - \frac{dr_a}{r_a} \cdot \frac{r_a}{x}$$

soit en passant aux valeurs limites et en posant :

$$\frac{\Delta V}{V} = \varepsilon_v ; \frac{\Delta I}{I} = \varepsilon_i \text{ et } \varepsilon_r = \frac{dr_a}{r_a}$$

$$\frac{\Delta x}{x} = \varepsilon_v + \varepsilon_i + \frac{r_a}{x} (\varepsilon_v + \varepsilon_i + \varepsilon_r)$$

Cette méthode est donc d'autant plus précise que  $r_a \ll x$ , toutes choses étant égales par ailleurs.



Radio Plans - Electronique Loisirs

## FICHE MESURE N° 1

RPEL

### ● Facteur de forme $F_f$

Il est égal au rapport  $V_{eff}/\bar{V}$ . Pour une grandeur sinusoïdale,  $F_f \approx 1,111$

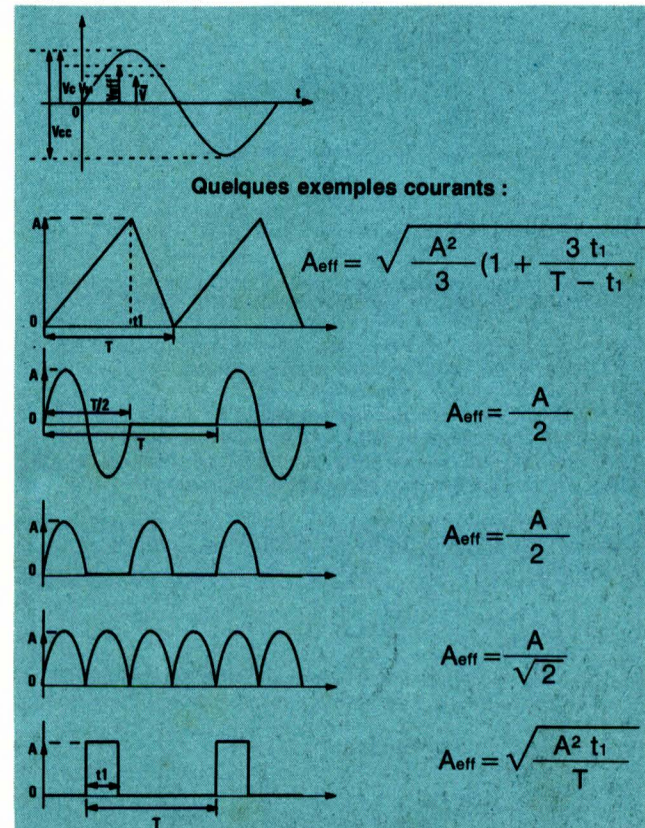
### ● Facteur de crête $F_c$

Il est égal au rapport  $V_m/V_{eff}$ .

Pour une grandeur sinusoïdale :  $F_c = \sqrt{2} \approx 1,414$

Pour un signal carré :  $F_c = 1$  (symétrique par rapport à l'axe des temps)

Pour un train d'impulsions rectangulaires de rapport cyclique  $T_0/T$  :  $F_c = \sqrt{T/T_0}$



Radio Plans - Electronique Loisirs



## FICHE MESURE N° 1

RPEL

### MESURES DE TENSIONS ET INTENSITÉS PÉRIODIQUES ALTERNATIVES

#### DÉFINITIONS

##### ● Valeur efficace $V_{eff}$ d'une grandeur $v$ (ou $i$ ) périodique alternative

Elle est égale à la grandeur continue produisant la même quantité de chaleur dans une même résistance pendant la durée d'une période  $T$ .

$$V_{eff} = \sqrt{\frac{1}{T} \int_0^T [v(t)]^2 dt}$$

Pour une grandeur sinusoïdale  $v = V_M \sin \omega t$

$$V_{eff} = \frac{V_M}{\sqrt{2}} \approx 0,707 V_M$$

##### ● Valeur crête $V_M$ d'une grandeur $v$ périodique alternative

C'est la valeur maximale en valeur absolue atteinte par l'amplitude de  $v$ . Pour préciser, on pourra indiquer « valeur crête positive » ou « valeur crête négative ».

Pour une grandeur sinusoïdale, la valeur crête est  $V_M$ .

On pourra aussi envisager la « valeur crête-à-crête » qui est égale à la différence entre deux valeurs successives de l'amplitude de  $v$ , l'une étant maximale et l'autre minimale.

##### ● Valeur moyenne $\bar{V}$ d'une grandeur $v$ périodique alternative

$$\bar{V} = \frac{2}{T} \int_0^{T/2} v(t) dt$$

Il s'agit en fait de la moyenne de la valeur absolue de  $v$  alors que la valeur moyenne de  $v$  pendant un nombre entier de périodes peut être nulle.

Pour une grandeur sinusoïdale :

$$\bar{V} = \frac{2 V_M}{\pi} \approx 0,636 V_M$$

Radio Plans - Electronique Loisirs

## FICHE MESURE N° 2

RPEL

### MESURE DES RÉSISTANCES

#### ● Mesure directe à l'ohmmètre

Cette méthode, peu précise à l'aide d'un multimètre à aiguille (multimètre analogique) en position ohmmètre et ce à cause de l'échelle des graduations non linéaire, est plus intéressante à partir d'un multimètre numérique (précision quelque 0,1 % dans ce dernier cas contre de l'ordre de 10 fois plus dans le cas précédent).

#### ● Méthode voltampèremétrique

Deux méthodes peuvent être utilisées selon le branchement des appareils de mesure - classiquement un voltmètre et un ampèremètre - lors de cette détermination. L'idée de départ est de faire traverser la résistance  $x$  inconnue par un courant que l'on mesurera avec un ampèremètre en même temps que l'on mesure la ddp aux bornes de la résistance au moyen d'un voltmètre. L'application de la loi d'Ohm donne alors  $x = V/I$ . Dans la réalité, il convient de tenir compte de la consommation des appareils sous peine de commettre des erreurs qui peuvent être grandes.

**Montage aval** (ou en courte dérivation) : Le voltmètre mesure la ddp aux bornes de la résistance inconnue alors que l'ampèremètre mesure le courant  $I$  traversant la résistance  $x$  avec le voltmètre en parallèle qui consomme une intensité  $i$ . Dans ces conditions :

$$x = \frac{V}{I - i} = \frac{V}{I - (V/r_v)}$$

$r_v$  désignant la résistance interne du voltmètre. Si  $r_v$  est connue, on peut, en principe, mesurer n'importe quel ordre de grandeur de résistance.

Mais on peut aussi noter que :

$$\frac{V}{I} = \frac{x \cdot r_v}{x + r_v}$$

Ce qui conduit au calcul d'erreur :

$$\frac{dV}{V} - \frac{dI}{I} = \frac{dx}{x} + \frac{dr_v}{r_v} - \frac{dx}{x} \cdot \frac{x}{x + r_v} - \frac{dr_v}{r_v} \cdot \frac{r_v}{x + r_v}$$

$$\text{ou : } \frac{dx}{x} \cdot \frac{r_v}{x + r_v} = \frac{dV}{V} - \frac{dI}{I} - \frac{dr_v}{r_v} \cdot \frac{x}{x + r_v}$$

En passant aux valeurs limites et en posant :

$$\frac{\Delta V}{V} = \varepsilon_v ; \frac{\Delta I}{I} = \varepsilon_i \text{ et } \frac{\Delta r_v}{r_v} = \varepsilon_r$$

Radio Plans - Electronique Loisirs

## FICHE MESURE N° 3

RPEL

### LES CONNEXIONS EN MESURE

#### ● Les connexions en courant continu

Elles doivent ne provoquer que des chutes de tension négligeables et donc présenter une résistance faible devant toutes les résistances propres au montage. Leur section sera suffisante pour que la densité de courant n'y provoque pas d'échauffement par effet Joule. Par contre, l'isolement des connexions, tant entre elles que par rapport à la terre doit être bien plus élevé que la plus grande résistance utilisée dans le montage.

Les contacts entre les connexions de mesure et les divers éléments du montage seront soignés ; dans le cas de serrage par bornes, bornes et fils ou cosses doivent présenter une surface lisse et bien décapée : des contacts imparfaits présentent une résistance aléatoire en fonction de l'intensité qui les traverse.

Pour un montage semi-permanent, le meilleur moyen d'obtenir la continuité des liaisons entre conducteurs reste la soudure.

Dans le cas où les appareils de mesure utilisés sont sensibles aux champs induits, il convient que le circuit ne forme pas une boucle délimitant une surface notable.

Dans certains cas - mesures de précision, mesures de très faibles grandeurs - on prendra en considération éventuellement les effets Seebeck (effet thermoélectrique) et Peltier qui se manifestent au contact de 2 métaux de nature différente. Pour minimiser ces effets, le montage sera installé de façon que l'ambiance soit uniforme (effet Seebeck) et l'on réduira autant que faire se peut le nombre de contacts entre les métaux de nature différente.

#### ● Les connexions en courant alternatif

En courant alternatif, on s'attachera plus particulièrement aux points ci-après :

— Capacités entre liaisons d'une part et liaisons et masse d'autre part.

— Rayonnement des liaisons.

— Inductions parasites.

Radio Plans - Electronique Loisirs





## FICHE MESURE N° 6

RPEL

A la distance L de la prise de terre, la chute de tension est égale à V' :

$$V' = I \cdot \frac{Q}{2\pi R} \int_0^L \frac{dr}{r^2} = \frac{Q}{2\pi R} \left(1 - \frac{R}{L}\right)$$

Ce qui montre que  $V \approx V'$  si  $L \gg R$ .

### • La mesure de la résistance de la prise de terre :

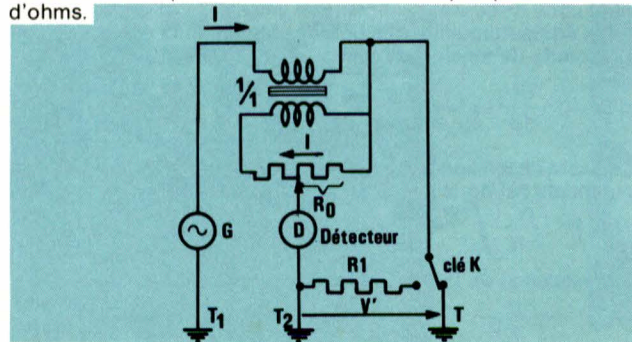
On peut envisager de mesurer la résistance d'une prise de terre à l'aide d'une tension continue : toutefois, les mesures sont faussées par des phénomènes de polarisation et d'électrolyse ainsi que par les courants telluriques ; si on utilise comme source le secteur, des courants alternatifs à fréquence industrielle circulant dans le sol peuvent gêner les mêmes mesures. On procède donc à des fréquences audibles (gamme audio), le détecteur pouvant être un écouteur.

La méthode consiste à utiliser, outre la prise de terre T dont on veut mesurer la résistance, deux prises de terre auxiliaires T1 et T2 situées à grande distance de T (distance au moins de 20 mètres). Entre T et T1, on fait circuler un courant I grâce à un générateur alternatif G tandis qu'entre T et T2, on prélève une tension V' que l'on oppose à la tension  $V = RI$  ce qui entraîne à l'équilibre :

$$R' = V'/I = V/I = R_0$$

Avant de procéder à la mesure, on contrôlera que T1 et T2 présentent une résistance du même ordre de grandeur en connectant une résistance R1 connue (quelques dizaines d'ohms) entre le générateur G et le détecteur à l'aide d'un commutateur K. T, T1 et T2 constituant un triangle équilatéral, on doit sensiblement obtenir l'équilibre pour  $R_0 \approx R1$ .

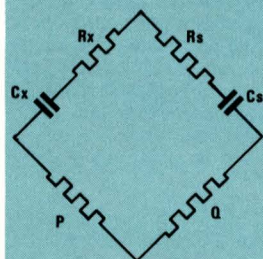
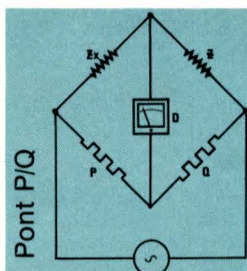
Une bonne prise de terre a une résistance de l'ordre de l'ohm alors que les prises de terre de qualité courante présentent une résistance comprise entre 10 ohms et quelques dizaines d'ohms.



Radio Plans - Electronique Loisirs

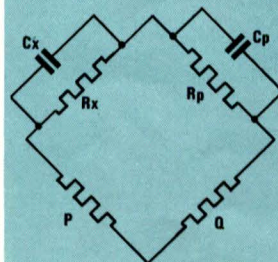
## FICHE MESURE N° 5

RPEL



Mesure des capacités à faible angle de pertes.

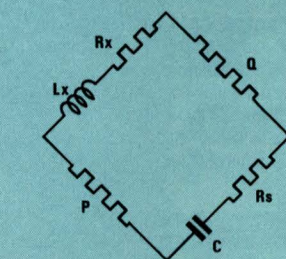
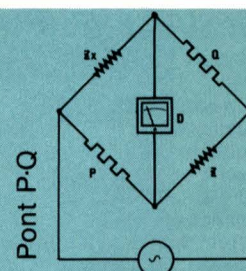
$$R_x = \frac{P}{Q} R_s \quad C_x = \frac{Q}{P} C_s$$



Mesures des capacités à fort angle de pertes.

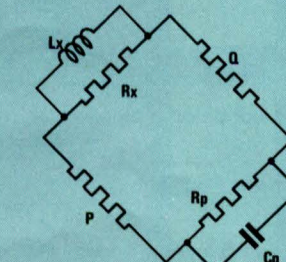
$$R_x = \frac{P}{Q} R_p \quad C_x = \frac{Q}{P} C_p$$

Radio Plans - Electronique Loisirs



Mesure de self-inductances à fort coefficient de qualité.

$$R_x = \frac{P \cdot Q}{R_s} \quad L_x = PQ C_s$$



Mesure de self-inductances à faible coefficient de qualité.

$$R_x = \frac{P \cdot Q}{R_p} \quad L_x = P \cdot Q \cdot C_p$$

Radio Plans - Electronique Loisirs

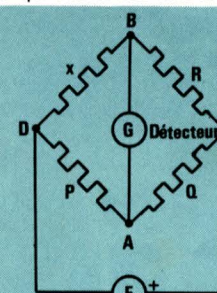
## FICHE MESURE N° 4

RPEL

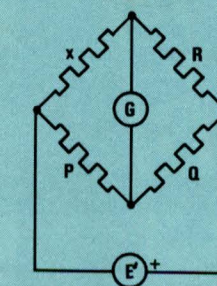
En conséquence :

$$x^2 = R \cdot R'$$

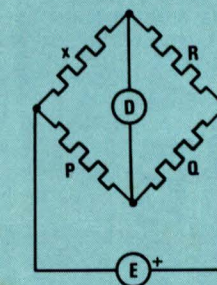
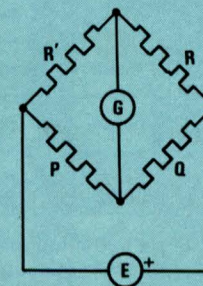
Comme pour la méthode précédente, il n'est plus nécessaire de connaître P et Q avec précision puisqu'ils n'interviennent plus, ce qui limite les erreurs.



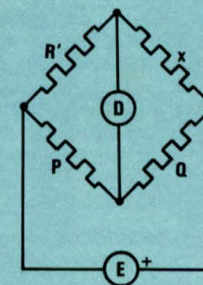
Pont de Wheatstone



Méthode de substitution



Méthode de transposition



Radio Plans - Electronique Loisirs



## FICHE MESURE N° 4

RPEL

### MESURES AU PONT DE WHEATSTONE (en continu)

#### ● Principe du pont de Wheatstone

C'est une méthode d'opposition. En effet, la condition d'équilibre s'énonce facilement en considérant que les ddp  $V_{BD}$  et  $V_{AD}$  d'une part et  $V_{CB}$  et  $V_{CA}$  d'autre part sont égales et opposées entre elles lorsque l'équilibre est réalisé.

$$V_{BD} = V_{CD} \cdot \frac{x}{x + R}$$

$$V_{AD} = V_{CD} \cdot \frac{P}{P + Q}$$

$$\text{d'où } V_{BD} = V_{AD} = V_{CD} \cdot \frac{x}{x + R} = V_{CD} \cdot \frac{P}{P + Q}$$

$$x(P + Q) = P(x + R) \\ \text{soit } xQ = PR$$

#### ● Amélioration des mesures

##### Méthode de substitution

Le pont étant équilibré, on remplace  $x$  par une résistance variable étalonée  $R'$  en agissant sur cette dernière pour retrouver l'équilibre. Dans ces conditions, on obtient alors :

$$x = R'$$

Cette méthode, analogue à celle de la « double pesée » a l'avantage de minimiser les erreurs ( $P$ ,  $Q$  et  $R$  n'interviennent plus pour la détermination de  $x$ ).

##### Méthode de transposition de Gauss

Le pont étant équilibré

$$x = \frac{P}{Q} \cdot R$$

On permute alors  $x$  et  $R$  pour parvenir à un nouvel équilibre, ce qui oblige à donner à  $R$  une nouvelle valeur, soit  $R'$ . Alors :

$$x = \frac{Q}{P} \cdot R'$$

## FICHE MESURE N° 5

RPEL

### MESURES AU PONT EN ALTERNATIF (AUDIO)

Cette mesure a pour but la détermination à une fréquence  $f$  (fréquence audio) des composantes active (ou réelle) et réactive (selfique ou capacitive) d'une impédance, que celle-ci soit du type série ou du type parallèle.

$P$  et  $Q$  étant 2 résistances pures étalonées et réglables,  $Z$  une impédance étalonée réglable et  $Z_x$  l'impédance à mesurer, les types principaux de ponts de mesures peuvent être classés en deux types : le type  $P/Q$  et le type  $P-Q$ .

En ce qui concerne le domaine audio-fréquence, il est relativement aisé de réaliser des résistances que l'on peut considérer comme pures de même qu'il est possible de réaliser des capacités à faible angle de pertes, donc purement réactives avec une bonne approximation. Mais, par contre, une bobine même très soignée, possède toujours une résistance laquelle, de plus, varie avec la fréquence. En conséquence, les ponts de mesure ne font appel qu'à des résistances et à des capacités étalonées.

#### ● Pont $P/Q$

La condition d'équilibre se traduit par :

$$P|Z| e^{j\varphi} = Q|Z_x| e^{j\varphi_x}$$

ce qui exige simultanément :

$$\frac{P}{Q} = \frac{|Z_x|}{|Z|} \quad (\text{égalité des modules}) \\ \text{et } \varphi = \varphi_x \quad (\text{égalité des arguments})$$

#### ● Pont $P-Q$

La condition d'équilibre se traduit par :

$$P \cdot Q = |Z| e^{j\varphi} \cdot |Z_x| e^{j\varphi_x}$$

ce qui exige simultanément :

$$P \cdot Q = |Z| \cdot |Z_x| \quad \text{et } \varphi = -\varphi_x$$

Parmi les ponts de type  $P/Q$ , on distingue le pont de Sauty-parallèle (ou pont de Nernst) pour les capacités à grand angle de pertes et le pont de Sauty-série (ou pont de Wien) pour les capacités à faible angle de pertes.

Parmi les ponts de type  $P-Q$ , on distingue le pont de Maxwell pour les bobines à faible coefficient de qualité et le pont de Hay pour les bobines à fort coefficient de qualité.

## FICHE MESURE N° 6

RPEL

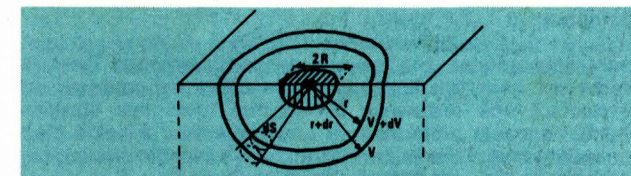
### MESURE DE LA RÉSISTANCE D'UNE PRISE DE TERRE

Une prise de terre consiste en une masse conductrice enterrée raccordée à une liaison, elle aussi conductrice, réunie à une installation électrique dont elle fixe le potentiel. Si un courant circule dans la liaison, les lignes de courant se prolongent dans le sol, à partir de la masse conductrice, vers des directions variées.

La prise de terre a un double rôle : fixer le potentiel d'un montage par rapport au sol afin que ce potentiel n'atteigne des valeurs dangereuses pour celui qui manipule et, aussi, que ce même potentiel engendre des perturbations capables de fausser les mesures.

#### ● Résistance d'une prise de terre

On considère le cas idéal où la masse enterrée peut être considérée comme un hémisphère parfaitement conducteur de rayon  $R$  dans un sol homogène consistant en un volume homogène de résistivité  $\rho$ .



Si un courant  $I$  circule à partir de la liaison, par raison de symétrie les lignes de courant sont radiales et les équipotentielles des surfaces hémisphériques. Avec ces hypothèses, un petit cône de courant élémentaire de section  $dS$  compris entre deux équipotentielles très proches, de rayons  $r$  et  $r + dr$ , subit une chute de tension  $dV$  telle que :

$$dV = \rho \frac{dr}{dS} \cdot I \cdot \frac{dS}{2\pi r^2} = I \cdot \frac{\rho}{2\pi} \cdot \frac{dr}{r^2}$$

La chute de tension entre la prise de terre et l'infini, origine des potentiels est donc :

$$V = I \cdot \frac{\rho}{2\pi} \int_R^\infty \frac{dr}{r^2} = \frac{\rho}{2\pi R} \cdot I$$

La résistance de la prise de terre est, par définition, égale à :

$$\frac{V}{I} = \frac{\rho}{2\pi R}$$



# Professionnels du spectacle, si vous êtes concernés par :

**LA PRODUCTION**

**L'ANIMATION**

**LA VIDEO**

**LA RADIO**

**LE SON**

**LA DECORATION**

**venez au**



**c'est votre salon**

**DU 23 AU 26 MARS 1985**  
**PARC DES EXPOSITIONS**  
**PARIS / PORTE DE VERSAILLES**  
**HALL 2 / DE 11<sup>H</sup> à 19<sup>H</sup>**





# L'ENCYCLOPEDIE PRATIQUE DE L'ELECTRONIQUE

## COMPRENDRE...

Dans les années à venir, l'électronique est appelée à jouer un rôle croissant dans notre vie quotidienne. Aujourd'hui une encyclopédie vous y prépare : c'est le Livre Pratique de l'Electronique EUROTECHNIQUE. Seize volumes abondamment illustrés traitant dans des chapitres clairs et précis de la théorie de l'électronique. Une œuvre considérable détaillée, accessible à tous, que vous pourrez consulter à tout moment.

## FAIRE...

Pour saisir concrètement les phénomènes de l'électronique, cette encyclopédie est accompagnée de quinze coffrets de matériel contenant tous les composants permettant une application immédiate. Vous réaliserez plus de cent expériences passionnantes et, grâce à des directives claires et très détaillées, vous passerez progressivement des expériences aux réalisations définitives.

## SAVOIR...

Conçue par des ingénieurs, des professeurs et des techniciens hautement qualifiés possédant de longues années d'expérience en électronique, cette encyclopédie fait appel à une méthode simple, originale et efficace.

**16 VOLUMES QUI DOIVENT ABSOLUMENT FIGURER DANS VOTRE BIBLIOTHEQUE ET 15 COFFRETS DE MATERIEL**

Le Livre Pratique de l'Electronique est l'association d'une somme remarquable de connaissances techniques (5000 pages, 1500 illustrations contenues dans 16 volumes reliés pleine toile) et d'un ensemble de matériel vous permettant de réaliser des appareils de mesure et un ampli-tuner stéréo.



**eurotechnique**

FAIRE POUR SAVOIR  
rue Fernand-Holweck, 21100 Dijon

*Renvoyez-nous vite ce bon*

**BON POUR UNE  
DOCUMENTATION GRATUITE**

à compléter  
et à renvoyer aujourd'hui  
à EUROTECHNIQUE  
rue Fernand-Holweck  
21100 Dijon

Je désire recevoir gratuitement et sans engagement de ma part  
votre documentation sur le Livre Pratique de l'Electronique.

09187

Nom \_\_\_\_\_ Prénom \_\_\_\_\_

Adresse \_\_\_\_\_

Code Postal \_\_\_\_\_ Localité \_\_\_\_\_



## Le retour aux sources de RADIO ANGORA (100,7 MHz)

« INTERFACE » retourne à ses premières amours,

Le Magazine de la micro-informatique sur ANGORA est de nouveau programmé le samedi matin de 8 h à 8 h 30, et ce depuis le samedi 12 janvier 1984.

## ERRATUM à propos du Moniteur assembleur-désassembleur des N° 445 et 446

Le programme de chargement pour le moniteur assembleur qui a été publié pour l'ORIC 1 dans Radio Plans de décembre 1984 comportait une erreur : à la ligne 170, au lieu de :

170 POKE AD+I,B

Il fallait lire :

170 POKE AD+I-1,B

Cette erreur provoquait en fait un décalage du programme d'un octet vers les adresses croissantes.

REMARQUE : Si vous avez déjà effectué la saisie complète du moniteur sur votre ORIC, il est inutile de recommencer :

L'erreur peut être corrigée de la façon suivante :

Chargez le moniteur à l'aide de la séquence suivante :

CALL #E6CA : POKE #35,0 : CALL #E4AB  
CALL #E804 <RETURN>

et mettez votre magnétophone en route.

Ceci aura pour effet de charger le moniteur en empêchant son démarrage automatique.

Vous pouvez ensuite corriger l'erreur par :

FOR I=#7602 TO #97FF : POKE I,PEEK(I+1) : NEXT <RETURN>

Et vous sauvegarderez votre moniteur par :

CSAVE "MONITEUR",A#7602,E#97FF,AUTO

Toujours au sommaire :

— La revue de presse Micro avec régulièrement : Hebdogiciel, l'O.I., Votre ordinateur, Micro et Robots, S.V.M., Théoric, Mégahertz, Laser Infos, l'Hectorien, BYTE.

— L'invité de la semaine : plus d'une trentaine pour 1984.

— Et, en fonction de la créativité du moment, le logiciel de la semaine (diffusion d'un logiciel créé par un auditeur d'Interface).

Si vous êtes en cours de saisie, nous vous conseillons de terminer celle-ci avec le programme de chargement erroné et de modifier le moniteur à la fin du chargement selon la méthode citée ci-dessus.

La seconde erreur était due à une mauvaise protection de la mémoire au moment de la génération du listing.

Nous donnons ci-dessous la version exacte de la zone erronée qui se situe entre les adresses 7A80 et 7E50.

Pour corriger cette zone :

Charger le moniteur à l'aide de la séquence suivante :

CALL #E6CA : POKE #35,0 : CALL #E4AB  
CALL #E804 <RETURN>

et mettez votre magnétophone en route.

(Charger la version finale du moniteur, c'est-à-dire celle dont la saisie a été entièrement faite et qui a été corrigée de l'erreur de décalage introduite par le programme de saisie.)

Ceci aura pour effet de charger le moniteur en empêchant son démarrage automatique.

Vous pouvez ensuite corriger l'erreur en rechargeant le programme de saisie, (prenez soin d'utiliser le programme de chargement debuggé selon les transformations données dans la première partie de cet erratum).

DOKE 30208,31360:RUN

Ce qui aura pour effet de faire continuer la saisie à partir de #7A80. Arrêtez la saisie en tapant CTRL C lorsque vous atteindrez l'adresse #7E50.

Suite page 79.

# SONEREL

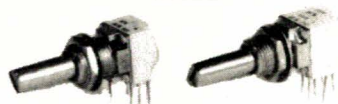
33, rue de la Colonie 75013 PARIS  
**580.10.21**

NOUVEAU

SFERNICE

**P11VZN CR 20**  
(21 positions)

POTENTIOMÈTRE A CRANS



Potentiomètre rotatif de qualité à piste cermet. Simple et double, variation lin ou log. **P11VZN 5 %**



**T 18**

**T 93 YB**

Trimmers multitours à piste cermet



**T7 YA**

**TX**

Trimmers monotour à piste cermet



**P 13 TR**

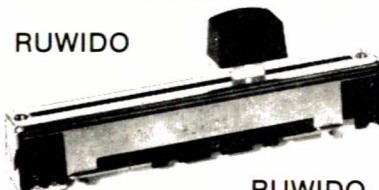
Potentiomètre miniature de tableau à piste cermet

SFERNICE

**RCMS 05 K3**

Résistance de précision 1 % 50 ppm  
Couche métal

RUWIDO



**RUWIDO**

Potentiomètre rectiligne de qualité à piste carbone

**DEMANDE DE  
CATALOGUE GRATUIT  
ET TARIF**

Nom : .....

Adresse : .....

Code postal : .....



**NOUVEAU**

# LA PREMIERE ENCYCLOPEDIE PRATIQUE DE LA TELEVISION

10  
élégants  
volumes reliés  
pleine toile  
(3000 pages  
1000 schémas et  
illustrations).  
1 schémateque.



Après "Le Livre Pratique de l'Electronique", EUROTECHNIQUE vous présente aujourd'hui dans la même collection, sa nouvelle encyclopédie "LE LIVRE PRATIQUE DE LA TELEVISION".

Conçue sur le même principe, c'est-à-dire une série de volumes très clairs, attrayants et abondamment illustrés, accompagnés de coffrets contenant tout le matériel pour une application immédiate.

## FAIRE :

Grâce à des directives claires et très détaillées, vous aurez la fierté de réaliser vous-même votre téléviseur couleurs PAL-SECAM multistandard à télécommande ainsi qu'un voltmètre électronique. Vous recevrez également un oscilloscope de qualité grâce auquel vous effectuerez de nombreux contrôles et mesures.

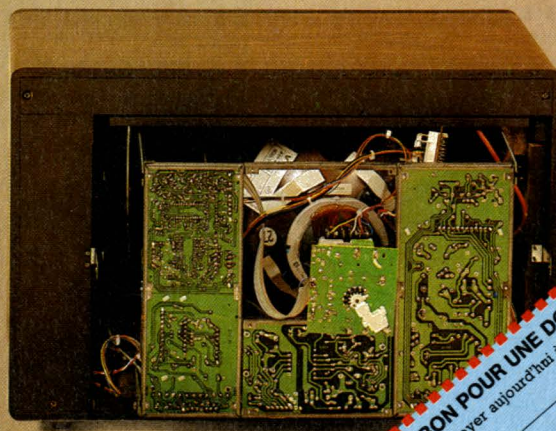
## SAVOIR :

Dans ce domaine en pleine expansion, vous enrichirez vos connaissances d'une spécialisation passionnante qui peut s'avérer très utile sur le plan professionnel. De plus, vous disposerez, chez vous, d'un ouvrage complet de référence sur la Télévision noir et blanc et couleurs, que vous pourrez consulter à tout moment.

Un  
voltmètre  
électronique.  
Un oscilloscope.  
Un téléviseur  
multistandard  
PAL-SECAM à  
télécommande.



**eurotechnique**  
FAIRE POUR SAVOIR  
rue Fernand-Holweck, 21100 Dijon



**Envoyez nous vite ce bon**

**BON POUR UNE DOCUMENTATION GRATUITE**

09188

à compléter et à renvoyer aujourd'hui à EUROTECHNIQUE, rue Fernand-Holweck - 21100 Dijon

Nom

Adresse

Ville

Code postal

Prénom

Je désire recevoir gratuitement  
et sans engagement de ma part  
votre documentation sur le  
Livre Pratique  
de la  
Télévision



# Un décodeur-régénérateur FSK

La modulation par déplacement de fréquence ou FSK (Frequency Shift Keying) est un procédé permettant de transformer les données numériques en signaux audiofréquences et vice-versa. C'est dire à quel point l'informatique fait appel à cette technique, tant en transmission de données (modems) qu'en enregistrement magnétique (cassettes).

Le montage que nous allons décrire permet de *démoduler* des signaux FSK de provenance quelconque, mais aussi de les *régénérer*, ce qui peut servir par exemple pour recopier ou même « sauver » des cassettes de mauvaise qualité ou à « extraire » des signaux valables d'une transmission noyée dans le bruit.

## Pourquoi la modulation FSK ?

Dans le domaine informatique, cette question équivaut à s'interroger sur la nécessité d'utiliser des hautes fréquences en radio : appliqué à une antenne, un signal BF ne rayonnera pas à plus de quelques dizaines de centimètres alors qu'il ira aussi loin que l'on veut, si on lui fait moduler une porteuse HF, en amplitude ou en fréquence.

De la même façon, les données numériques (ou trains de bits) acceptent fort mal de circuler directement sur de simples fils : leurs « fronts raides » se trouvent arrondis de façon inacceptable au bout de quelques mètres, à cause de la « capacité répartie » des conducteurs.

Egalement, il n'est pas possible d'enregistrer correctement de tels signaux sur un magnétophone prévu

pour traiter des signaux audio, de bande passante limitée.

Dans les deux cas, une solution élégante consiste à **moduler une porteuse BF** par les messages numériques à transmettre ou à enregistrer. On pourra ainsi utiliser n'importe quel équipement capable de s'accommoder de signaux audio : lignes téléphoniques, émetteurs et récepteurs radio, magnétophones à cassettes, ou même disques rigides ou souples.

Comme en radio, on peut songer à la modulation d'amplitude (AM) ou à la modulation de fréquence (FM).

L'AM se prête mal à la transmission numérique à grande vitesse, et rares sont les cas où l'avantage de la simplicité l'emporte sur ses nombreux inconvénients.

Le ZX 81 fait exception à la règle, avec les conséquences que l'on sait, et attaque le magnétophone à cassettes qui lui est associé par une onde de 3300 Hz modulée « en robinet » par les bits à transmettre, à peine codés.

La plupart des autres ordinateurs, et bien sûr les modems, agissent sur la **fréquence** de la porteuse. Comme le signal modulant ne connaît que deux états, 0 ou 1, cette modulation de fréquence se ramène à un perpétuel « basculement » de la porteuse entre deux fréquences bien précises, par exemple 1300 et 2100 Hz, mais les variantes sont légion !

## Pourquoi un décodeur ?

Dans tout système informatique, modulation et démodulation FSK sont des opérations réputées « transparentes » pour l'utilisateur.

Lorsque l'on téléphone aux États-



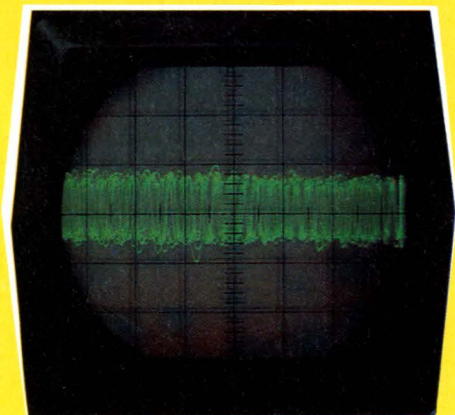


Unis, on ne s'inquiète généralement pas de savoir si la communication s'établit par satellite ou par câble sous-marin. Alors pourquoi diable chercher à comprendre comment un ordinateur code ses programmes sur une cassette ?

Pour notre part, nous estimons que la curiosité n'est pas un défaut, mais bien une qualité, notamment en informatique. Les fabricants d'ordinateurs fournissent aussi peu de données techniques sur leurs machines qu'il est décevant possible de le faire, ce qui complique singulièrement la tâche du bricoleur cherchant à concrétiser des idées parfois à la limite du saugrenu (du moins au goût des commerçants qui préfèrent vendre un accessoire que donner un conseil gratuit).

L'étude du « format » d'enregistrement d'une machine peut fournir des indications sur sa structure interne, mettre en évidence des compatibilités insoupçonnées avec d'autres matériels, ou... faire naître certaines fort bonnes idées !

Or, rien n'est plus délicat à observer à l'oscilloscope qu'un signal FSK, car les limites des zones de fré-



Aspect d'un signal FSK observé à l'oscilloscope.

quences différentes n'apparaissent pas nettement tandis que le caractère « aléatoire » du message binaire transmis affole complètement la synchronisation de la trace.

L'examen direct du message numérique non modulé est incomparablement plus confortable, mais ce signal n'est généralement pas disponible, même en ouvrant l'ordinateur. Il faut donc démoduler...

Par ailleurs, de plus en plus de signaux FSK nous parviennent soit par ligne téléphonique (TELETEL), soit par radio (RTTY, AMTOR, etc.), et il est bien tentant de leur faire livrer leurs secrets !

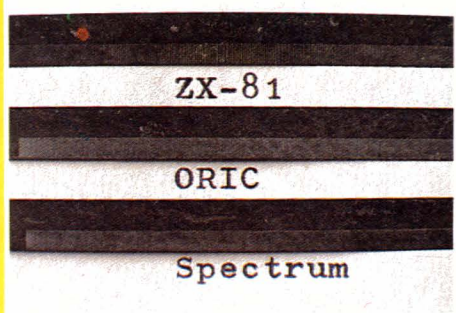
## Pourquoi un régénérateur ?

Un signal FSK est fait pour être transmis ou enregistré : les transmissions ne sont pas toujours bonnes, et les enregistrements parfois guère meilleurs surtout si l'on pratique la copie de magnétophone à magnétophone.

Indépendamment de toute velléité de « piratage » de programmes du commerce, il est de la plus élémentaire prudence de pratiquer des copies « de précaution » de ses cassettes préférées : un incident est si vite arrivé !

L'idéal est de demander une sauvegarde à l'ordinateur, mais il faut bien souvent commencer par « déplomber » les protections prévues, ce qui représente parfois un gros travail dont le succès n'est pas automatiquement garanti.

Bien des cassettes sont obtenues par duplication à grande vitesse : leur qualité technique permet tout juste un chargement correct, mais une copie « audio » risque de se révéler inexploitable.



Quelques échantillons de signaux FSK enregistrés sur bande magnétique, et rendus visibles au moyen de la bombe KF « révélateur magnétique » : la bande défilait à 9,5 cm / seconde pour une largeur de 6,35 mm...

Un « régénérateur » est un montage capable de « remettre à neuf » un signal « usé » sans nécessairement le décoder puis le recoder. Ce principe est largement utilisé sur les artères de communications numériques, en remplacement des classiques « répéteurs » ou amplificateurs employés en téléphonie.

Un tel accessoire pourra également rendre service lors de la réception de programmes transmis par radio, activité appelée à se développer rapidement.

Les liaisons radio sont souvent parasitées, et le décodeur FSK de l'ordinateur utilisateur n'est pas toujours assez performant pour s'accommoder d'un signal entaché de bruit de fond. Là encore, le passage par un régénérateur peut être une solution satisfaisante au problème.

## Notre montage pratique

Le montage dont la figure 1 fournit le schéma de principe remplit à la fois les fonctions de décodeur et de régénérateur de signaux FSK.

Il est en effet bâti autour d'un circuit à verrouillage de phase (PLL ou Phase Locked Loop) de type LM 565, dont nous rappellerons brièvement le principe à la figure 2 :

Un comparateur de phase reçoit le signal d'entrée, supposé de fréquence  $f$ . Sur sa seconde entrée, il reçoit le signal produit par un oscillateur commandé en tension (VCO ou Voltage Controlled Oscillator).

En sortie d'un filtre passe-bas connecté à la sortie du comparateur de phase on recueille donc une tension continue reflétant l'écart de phase (et a fortiori de fréquence) existant entre les deux signaux.

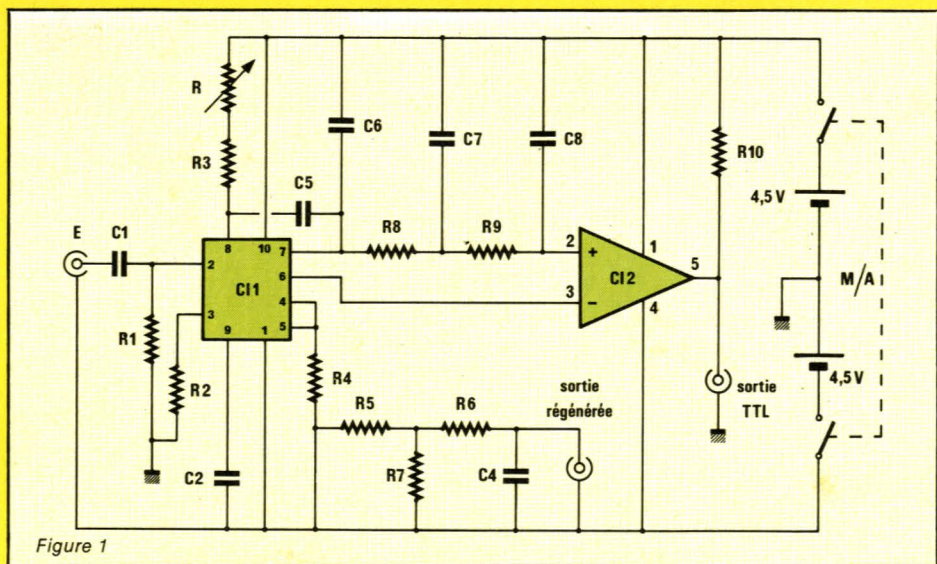


Figure 1



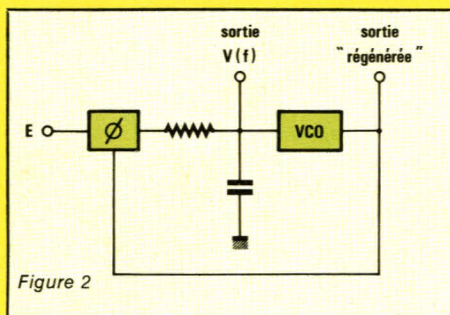


Figure 2

Si maintenant la boucle est bouclée par application de cette tension à l'entrée de commande du VCO, l'ensemble peut, s'il est bien réglé (ce qui est parfois délicat !) se verrouiller sur la fréquence d'entrée.

On dispose alors de deux signaux utiles :

- à la sortie du VCO un signal parfaitement « propre » reproduisant les moindres variations de fréquence du signal d'entrée, pas toujours aussi « présentable ».

- à l'entrée du VCO, une tension continue proportionnelle à la fréquence du signal d'entrée.

Le premier est notre « signal régénéré », tandis que le second n'est autre que le message démodulé, si l'entrée reçoit un signal FSK.

Seulement, son amplitude est très faible, et un comparateur s'impose pour l'amener au niveau TTL.

Insistons sur le fait que le réglage d'une boucle PLL est souvent critique : la fréquence de repos du VCO et les constantes de temps des filtres ne s'improvisent pas.

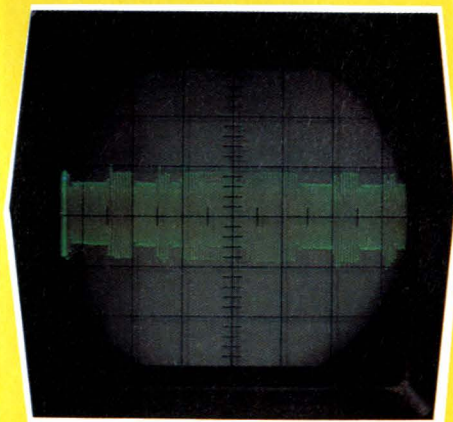


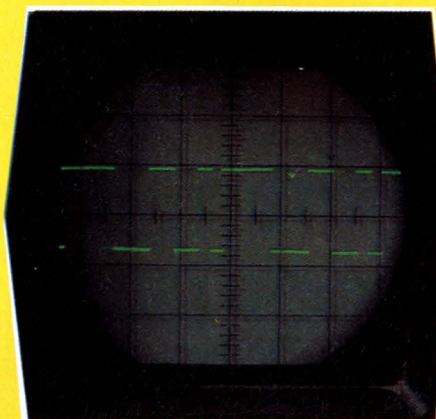
Image obtenue en photographiant un unique balayage de l'oscilloscope.

Les valeurs indiquées conviennent pour le message délivré par la sortie « cassette » d'un ORIC 1 ou ATMOS commuté en 300 bauds (vitesse lente, comme les cassettes du commerce).

Le mode rapide 2 400 bauds utilise les mêmes fréquences BF, mais modulées trop vite pour que la régénération puisse être assez fiable.

En présence de signaux émanant d'autres sources, on aura à ajuster le VCO (potentiomètre de 10 kohms noté R et/ou condensateur de 22 nF noté C), et éventuellement les éléments RC des deux filtres à deux étages.

Le premier sert exclusivement au décodage, et le second uniquement à la régénération. En effet, le magnétophone relié à la sortie du circuit ne doit pas recevoir directement les signaux rectangulaires du VCO, trop riches en harmoniques. Avec le filtrage présenté ici, on arrondit les signaux au même degré que l'ORIC lui-même, pour un maximum de ressemblance de la copie par rapport à son original.



Le signal FSK de l'ORIC, décodé par notre montage.

La figure 3 fournit un tracé de circuit imprimé dont les dimensions permettent l'installation dans un petit boîtier plastique RETEX-BOX POLIBOX 5100 GA, après câblage selon la figure 4.

Il reste au besoin suffisamment de place pour une petite pile de 9 volts, mais comme le 565 exige une alimentation symétrique, il faudrait lui ménager une « masse fictive » au moyen de deux résistances de 100 ohms environ.

On préférera donc le plus souvent deux piles 6 V d'appareil photo, deux piles plates 4,5 volts extérieures, ou une petite alimentation secteur.

## Mise en œuvre

Par sa nature même, l'entrée du montage est très tolérante sur le niveau du signal, qui peut évoluer entre quelques dizaines de millivolts et plus d'un volt efficace. On pourra donc le relier à peu près n'importe quelle sortie de magnétophone, notamment une prise écouteur (EAR).

Le réglage se fera soit « à l'oreille » en branchant la sortie du montage sur une entrée micro d'amplificateur (rechercher la meilleure ressemblance possible avec l'original), soit à l'oscilloscope en cherchant la plus grande netteté possible des signaux démodulés.

Figure 3

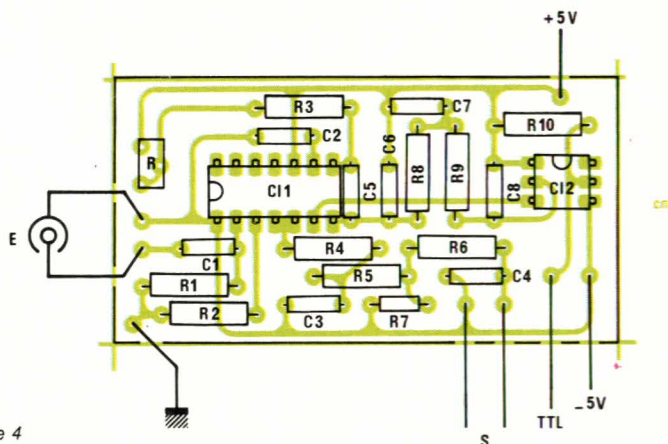
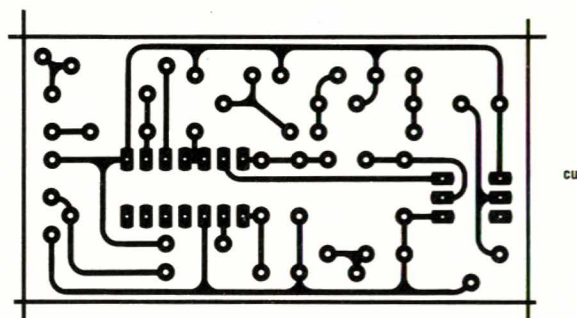


Figure 4



En régénération, on branchera directement la sortie du montage à l'entrée micro du magnétophone copieur, alors qu'en décodage la sortie TTL pourra attaquer une grande variété de dispositifs externes, d'un oscilloscope à un microprocesseur. Bien entendu, nos lecteurs n'ayant pas l'usage de la sortie TTL pourront se dispenser de câbler le TCA 335 A et ses composants associés, à partir de la première résistance de 12 k $\Omega$ . Le condensateur de 0,1  $\mu$ F devra rester en place, car il s'agit de l'élément principal du filtre passe-bas du PLL.

## Conclusion

Les applications de ce montage ont été décrites dans le cadre de la copie de cassettes d'ORIC, et de l'étude des signaux délivrés par l'interface « Tangerine » de cette machine.

Moyennant des réglages différents, on pourra facilement lui faire décoder au régénérer des signaux FSK de toute provenance.

Avec le développement rapide des transmissions de données par toutes sortes de moyens, ces signaux sont appelés à devenir très familiers à nos lecteurs, et nous espérons que cette petite étude leur facilitera la prise de contact !

Patrick GUEULLE

## Nomenclature

### Résistances 5 % 1/4 W

R<sub>1</sub>: 560  $\Omega$   
R<sub>2</sub>: 560  $\Omega$   
R<sub>3</sub>: 1,5 k $\Omega$   
R<sub>4</sub>: 12 k $\Omega$   
R<sub>5</sub>: 10 k $\Omega$   
R<sub>6</sub>: 15 k $\Omega$   
R<sub>7</sub>: 1 k $\Omega$   
R<sub>8</sub>: 12 k $\Omega$   
R<sub>9</sub>: 12 k $\Omega$   
R<sub>10</sub>: 2,2 k $\Omega$

### Condensateurs

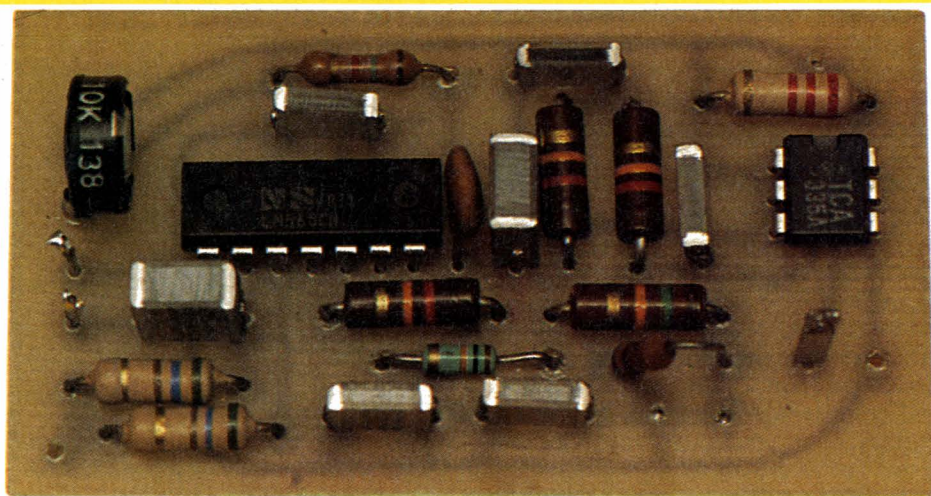
C<sub>1</sub>: 0,1  $\mu$ F  
C<sub>2</sub>: 22 nF  
C<sub>3</sub>: 4,7 nF  
C<sub>4</sub>: 4,7 nF  
C<sub>5</sub>: 1 nF  
C<sub>6</sub>: 0,1  $\mu$ F  
C<sub>7</sub>: 4,7 nF  
C<sub>8</sub>: 4,7 nF

### Circuits intégrés

CI<sub>1</sub>: LM 565 (NS)  
CI<sub>2</sub>: TCA 335 A (Siemens)

### Divers

1 pot ajustable 10 k $\Omega$   
1 coffret RETEX Polybox 5100 GA



Le circuit imprimé câblé.

# Infos

## Un récepteur plat intégré chez SIEMENS

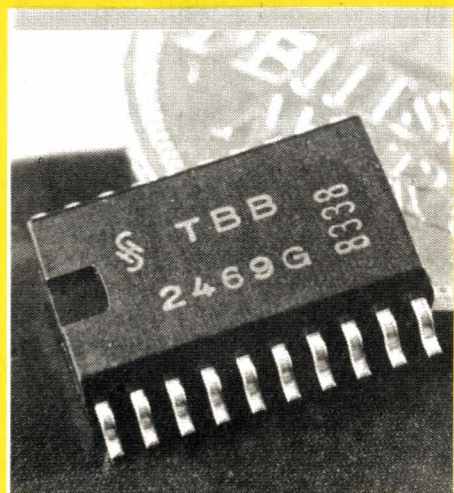
Le boîtier miniature en matière plastique du TBB 2469 se prête à l'insertion automatique du composant sur les cartes à circuits imprimés et contient un récepteur en bande étroite tenant en totalité sur un chip bipolaire. Ce récepteur transpose, limite et démodule le signal FM et restitue le signal BF.

Le signal d'entrée du TBB 2469 parvient à un mélangeur à quartz via un amplificateur HF. Les filtres extérieurs sont suivis d'un amplificateur limiteur puis d'un démodulateur à coïncidence. Le signal BF est conduit à un passe-bas en aval duquel figure un double amplificateur BF : le gain et la réponse en fré-

quence du premier se règlent par l'extérieur ; cette méthode permet de compenser les inévitables dispersions de la fabrication en série. Le second amplificateur permet de régler le volume. Les valeurs limites de fonctionnement sont de 15 V, 3 mA et 60 °C.

Le TBB 2469 est le dernier né de la famille de composants que Siemens destine au matériel moderne de radiocommunications. La version évoluée, le TBB 469 (DIP 22), présente des connexions supplémentaires pour l'ajustage de l'enclenchement du réglage du gain de l'amplificateur de fréquence intermédiaire, pour le réglage du volume, pour l'ajustage de la sensibilité (Mute) et pour l'affichage de l'intensité de champ. Le fabricant met l'accent sur la haute sensibilité d'entrée jusqu'à des fréquences de 60 MHz. Ce com-

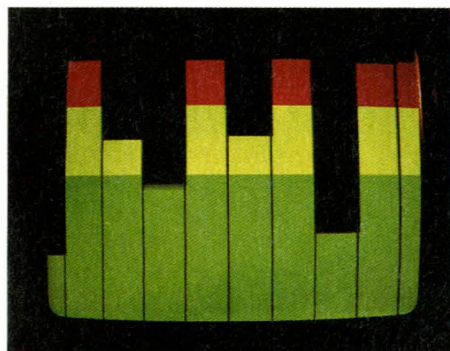
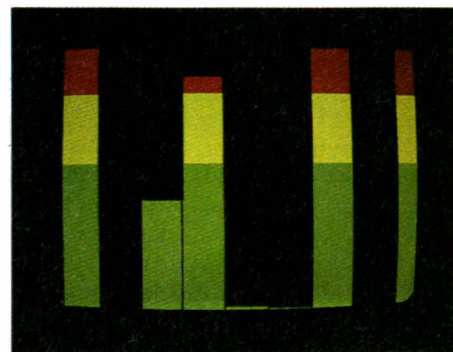
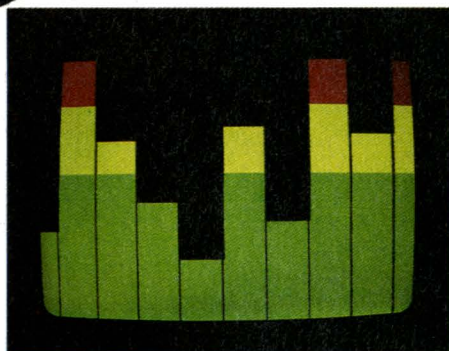
posant est essentiellement destiné aux récepteurs de radiocommunications vocales.





# Bargraph

multiple  
sur écran couleur



Comment profiter au maximum de votre moniteur ou de votre écran TVC, c'est un sujet souvent traité par Radio-Plus, pardon Radio Plans.

Nous avons successivement abordé les différents normes de transmission et les divers procédés couleur, ce qui nous a naturellement entraîné vers quelques réalisations. Ces diverses réalisations ont pu voir le jour grâce à quelques circuits intégrés spécifiques. Tel est le cas du SAA 1043 RTC, que Radio Plans a été le premier à présenter à ses lecteurs, utilisé dans la réalisation proposée dans ce numéro.

Qu'on se rassure, l'appareil proposé dans les pages suivantes est tout à fait inoffensif, mais fort utile puisqu'il transforme ou adapte un moniteur couleur ou un récepteur TVC - pourvu qu'il possède la fameuse prise PERITEL - en un bargraph multiple.

Habituellement qui dit bargraph, dit échelle lumineuse dont la longueur est une fonction d'un signal d'entrée. L'échelle lumineuse est en général réalisée par un ensemble de diodes électroluminescentes ou un écran à cristaux liquides spécialement prévu pour cet emploi. L'originalité du montage réside dans l'emploi du tube TVC comme organe d'affichage.

Quelle utilisation pour un tel appareil ?

Le bargraph multiple sur écran TV ou moniteur peut être utilisé dans de nombreuses situations. Une de ces situations est la visualisation de tensions de sortie de capteurs, par exemple surveillance de la température des bains en photo, ou encore surveillance de niveau de liquide dans une cuve ou un bain pourvu que l'on dispose d'un capteur délivrant l'information appropriée.

Mais l'application la plus immédiate reste la surveillance d'une modulation basse fréquence. Le bargraph multiple se prête parfaitement au remplacement des vu-mètres d'une console de mixage par exemple. On peut imaginer lors d'un enregistrement, un seul écran remplaçant une batterie de dix vu-mètres. Un coup d'œil suffit pour être averti d'une saturation sur un micro, une voie ou un groupe de voies.

Une autre application intéressante est l'analyse d'un signal par bande



d'octave. Ce type d'analyseur permet un réglage correct d'un égaliseur par bande d'octave si l'on dispose d'un micro de mesure assez sérieux : micro à condensateur B et K ou micro electret Genrad.

Ce même système pourrait être étendu à une analyse plus fine, analyse par tiers d'octave mais une telle réalisation sortirait du cadre d'un journal de vulgarisation. A titre d'information, ce genre d'instrument nécessite 50 à 100 kF d'investissement.

Dans le prochain numéro nous décrirons les circuits de filtrage par octave qui transforment le bargraph 10 rubans en un analyseur par bandes d'octave. Ce circuit sera relativement simple mais les composants assez nombreux. Pour éliminer les selfs ou un trop grand nombre d'amplificateurs opérationnels, nous utiliserons une vingtaine de circuit intégrés National Semiconductor référencés MF 10. N'anticipons pas mais sachons que le MF 10 est un circuit 20 broches qui permet la réalisation de deux filtres d'ordre 2 et qu'il fonctionne grâce à des intégrateurs à capacités commutées.

## Les diverses solutions envisageables pour la réalisation du bargraph

En fait il existe un grand nombre de solutions mais nous n'en avons retenu que deux, l'une très intéressante par sa simplicité, l'autre plus compliquée mais aussi plus attrayante par l'aspect de l'affichage. Quels sont les critères fondamentaux qui définissent le bargraph ?

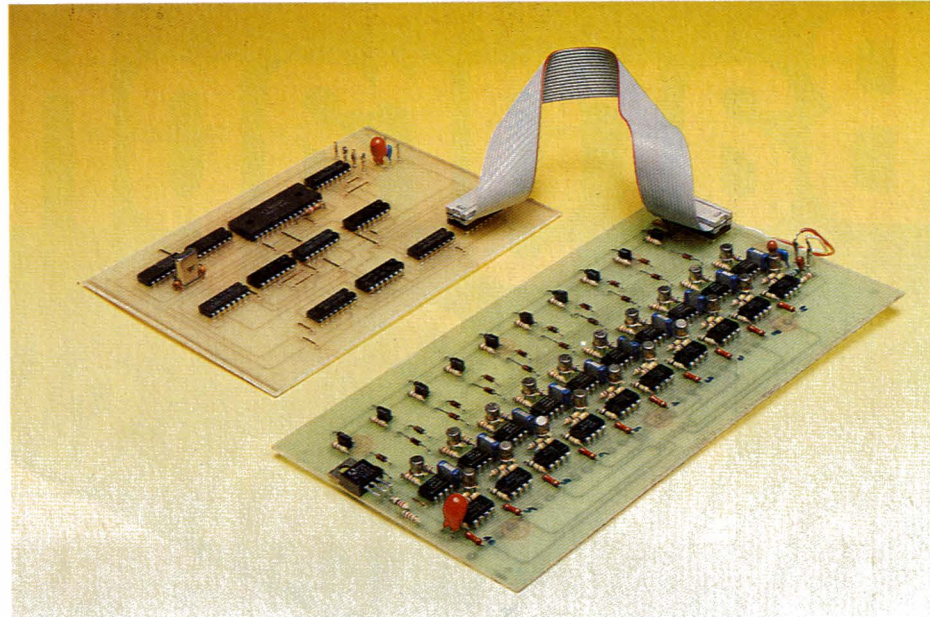
Nous plaçons en tête le nombre de barres, vient ensuite le sens de déplacement et finalement la couleur du ruban.

### Le nombre de barres :

Le nombre de barres peut être quelconque et est simplement limité par la lisibilité que l'on attend du système ; avec les schémas proposés le nombre de barres est compris entre 1 et 10. En modifiant légèrement les schémas ce nombre peut-être porté à 20 ou 30 mais il est à craindre que la lisibilité se dégrade rapidement surtout sur les moniteurs équipés de tube TVC standard. Si l'on dispose d'un moniteur haute résolution, le problème ne se posera probablement pas.

### Le sens de déplacement :

Lorsque l'on conçoit un tel système, le sens de déplacement auquel on



pense naturellement est le suivant : déplacement horizontal de gauche à droite. C'est, techniquement, la solution la plus simple. Le zéro correspond au niveau noir sur un groupe de lignes et l'excursion pleine échelle à un signal présent sur toute la durée de la ligne.

Si ce système ne donne pas satisfaction on peut en envisager un second : déplacement de bas en haut ; ce système est légèrement plus complexe mais généralement considéré comme plus esthétique.

### La couleur des rubans :

Ici aussi deux solutions fondamentalement différentes : barres de couleur uniforme ou barres multicolores. Concrétisons par un exemple : on peut envisager un système de cinq barres rouge, blanche, verte, jaune, rouge, ou ce même système avec les cinq barres vertes jusqu'à un premier seuil, jaunes jusqu'à un deuxième seuil et rouges dès que ce deuxième seuil est franchi. Ces deux configurations sont envisageables quel que soit le sens de déplacement : horizontal ou vertical.

Pour illustrer ces diverses configurations, nous avons réalisé deux systèmes très différents : un bargraph à trois barres horizontales, déplacement de gauche à droite, couleur : rouge, vert, bleu et un bargraph à 10 barres, déplacement de bas en haut, couleur vert jusqu'au premier seuil, jaune jusqu'au second seuil et rouge du second seuil jusqu'à la pleine échelle.

Avant d'aborder les circuits propres à ces deux systèmes, nous ferons un bref rappel sur les caractéristiques essentielles du circuit de synchronisation SAA 1043 RTC qui

constitue dans tous les cas le cœur du système.

Ce circuit délivre en effet tous les signaux nécessaires au bon fonctionnement des divers sous-ensembles.

## Rappel des caractéristiques du SAA 1043

Le SAA 1043 est un circuit intégré LOC MOS RTC qui délivre un grand nombre de signaux utiles dans la majeure partie des applications vidéo : codeurs PAL, SECAM, NTSC, décodeurs, transcodeurs, générateurs de mires, caméras, jeux vidéo etc...

La description de ce circuit a déjà été abordée dans le numéro 444 de Radio Plans, il n'est donc pas utile de revenir sur les principes fondamentaux régissant son fonctionnement ; nous nous bornerons à une énumération des signaux d'entrée et de sortie, particulièrement utiles dans la réalisation qui nous préoccupe. Hormis l'évidente alimentation 0, + 6 V, quatre entrées méritent d'être citées : trois entrées de programmation du standard et une entrée horloge. Si la fréquence d'horloge injectée est adéquate et le câblage des entrées de programmation de standard ad hoc, le circuit intégré SAA 1043 fournit, dans le standard SECAM, les 14 signaux logiques suivants :

- un signal d'effacement chroma à la broche 1
- un signal FH/2 utile en PAL mais inutile en SECAM à la broche 2







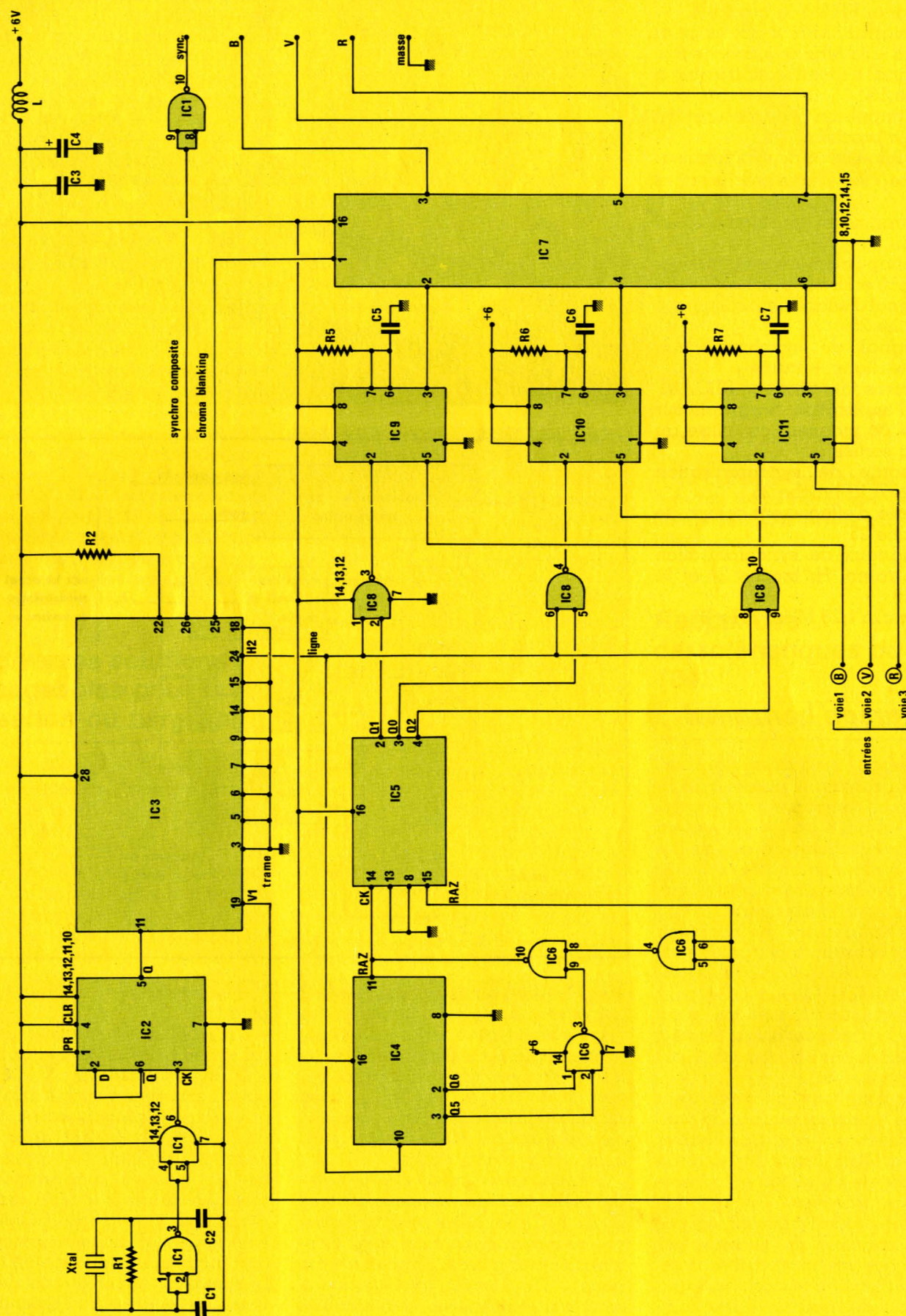
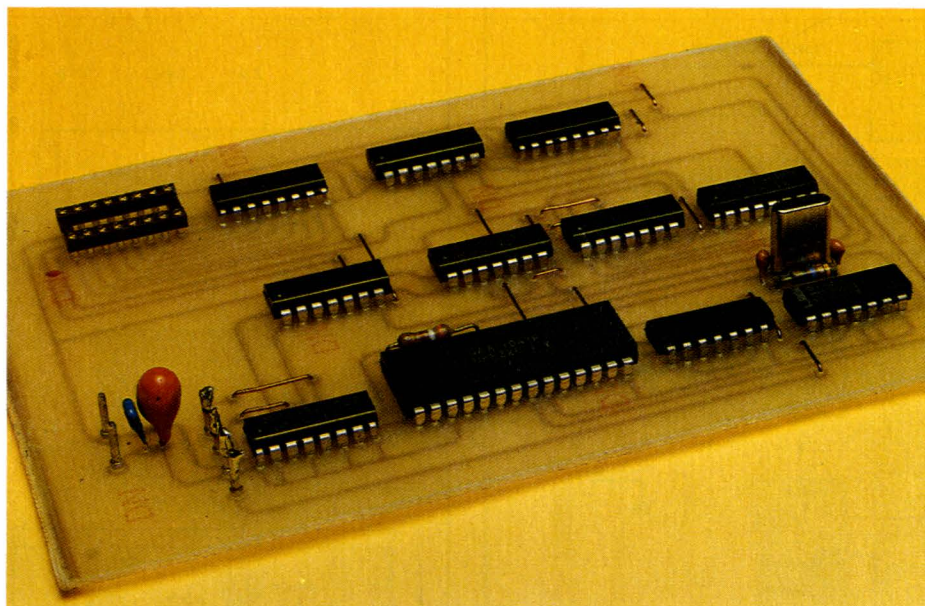


Figure 2 - Schéma de principe bargraph horizontal.





pouvoir être utilisable par un moniteur ou un TVC.

La fonction compteur ligne et diviseur du synoptique de la figure 1 est réalisée par les circuits intégrés IC<sub>4</sub> à IC<sub>7</sub>. Le compteur IC<sub>4</sub> est actionné par les signaux à la fréquence ligne, il est remis à zéro dès que le nombre de lignes comptées atteint 96 ou qu'une nouvelle trame débute. Il est évident que si l'on voulait jouer sur le nombre de barres il faudrait modifier le nombre de lignes comptées déclenchant la remise à zéro. A chaque remise à zéro du compteur IC<sub>4</sub>, le compteur IC<sub>5</sub> change d'état et on récupère un niveau haut successivement sur les sorties Q<sub>0</sub>, Q<sub>1</sub> et Q<sub>2</sub>, chaque nouvelle trame réinitialise ce compteur. Les signaux de sortie Q<sub>0</sub>, Q<sub>1</sub> et Q<sub>2</sub> combinés au signal de synchronisation ligne constituent les signaux de validation des monostables commandés en tension.

Ces monostables reçoivent les signaux d'entrées analogiques à visualiser - tension continue comprise entre 0 et 6 V.

Si la tension d'entrée est nulle le créneau de sortie à la largeur minimale et si la tension d'entrée est maximale - égale à la tension d'alimentation - le créneau en sortie est de largeur maximale : 50  $\mu$ s. L'excursion de la largeur de l'impulsion de sortie est fonction de la constante de temps  $R_5 C_5 = R_6 C_6 = R_7 C_7$ . Pour cette solution nous avons adopté  $R = 15 \text{ k}\Omega$  et  $C = 1,5 \text{ nF}$ . En toute rigueur pour une caractéristique longueur de la barre / tension d'entrée parfaitement linéaire, on devrait remplacer la résistance par une source de courant. L'expérience montre qu'avec les valeurs choisies la caractéristique logarithmique - charge

du condensateur à travers une résistance - n'entraînait qu'une très faible erreur.

La fonction interface de sortie et effacement chroma est confiée à un circuit CMOS classique du type 4503. Pour ce schéma il n'est donné ni le tracé des pistes du circuit imprimé ni de plan d'implantation.

Cette solution ne comportant que peu de circuits nul doute que les lecteurs intéressés pourront sans mal réaliser leur implantation en peu de temps.

## Le bargraph vertical

Le schéma synoptique du bargraph vertical est représenté à la figure 3. Il s'agit d'un bargraph à dix entrées. Nous verrons précisément comment modifier le circuit pour obtenir un nombre d'entrées quelconque compris entre 1 et 10. Tous les rubans sont identiques, vert de zéro jusqu'au premier seuil, jaune jusqu'au second seuil et rouge au delà.

Le jaune résultant de l'addition du rouge et du vert, on remarque que l'entrée bleue ne sera pas utilisée. Le schéma synoptique de la figure 3 comporte de nombreux points communs avec le schéma de la figure 1, mais ce n'est qu'une apparence.

On reconnaît le bloc génération des périodes de validation qui reçoit les signaux de synchronisation ligne, de synchronisation trame, et le signal à 1,25 MHz. Dans le système précédent le bloc génération des périodes de validation sélectionnait un nombre entier de lignes, dans ce nouveau système ce bloc doit frac-

tionner le signal utile de ligne en n fractions et ceci toutes les lignes de toutes les trames. On trouve ensuite un bloc de changement de couleur recevant les signaux de synchro ligne et trame.

Ce bloc a pour but de valider le vert du bas de l'écran jusqu'au premier seuil, valider le rouge et le vert du premier au second seuil et valider uniquement le rouge du deuxième seuil au haut de l'écran.

Tous les circuits d'entrée sont identiques et composés d'un amplificateur attaquant un monostable commandé en tension. Pour le bargraph horizontal la pleine échelle correspondait à un créneau de 50  $\mu$ s - une ligne - et pour le bargraph vertical la pleine échelle correspond à 20 ms - une trame - .

Chacune des sorties est validée pendant un dixième du temps total de la trame 20 ms et ceci réparti sur chaque ligne utile. On trouve finalement un circuit additionneur à 10 entrées et une sortie qui envoie une information vers le bloc changement de couleur.

La figure 4 montre l'aspect des deux bargraphs présentés : le bargraph vertical correspondant au synoptique de la figure 3 et le bargraph horizontal correspondant au synoptique de la figure 1.

Ces deux solutions ont été essayées avec succès mais seule la seconde, bargraph vertical, a retenu notre attention pour une réalisation pratique.

## Le schéma de principe

Le schéma de principe est scindé en deux parties, la première représente la platine de synchronisation à la figure 5 et la seconde représente les circuits d'entrée à la figure 6. Quel que soit le nombre de rubans choisi, la platine de synchronisation devra être complètement équipée. Seul le nombre de sorties de validation employées diffère d'une réalisation à l'autre. Autant de sorties employées que de rubans désirés.

### La platine synchronisation

A la figure 5 on reconnaît le SAA 1043, IC<sub>3</sub>, qui reçoit le signal horloge à la broche 11. La fréquence horloge 5 MHz est obtenue par division par 2 du signal à 10 MHz.

A la broche 22 du SAA 1043, la présence de la résistance de 3,9 k $\Omega$



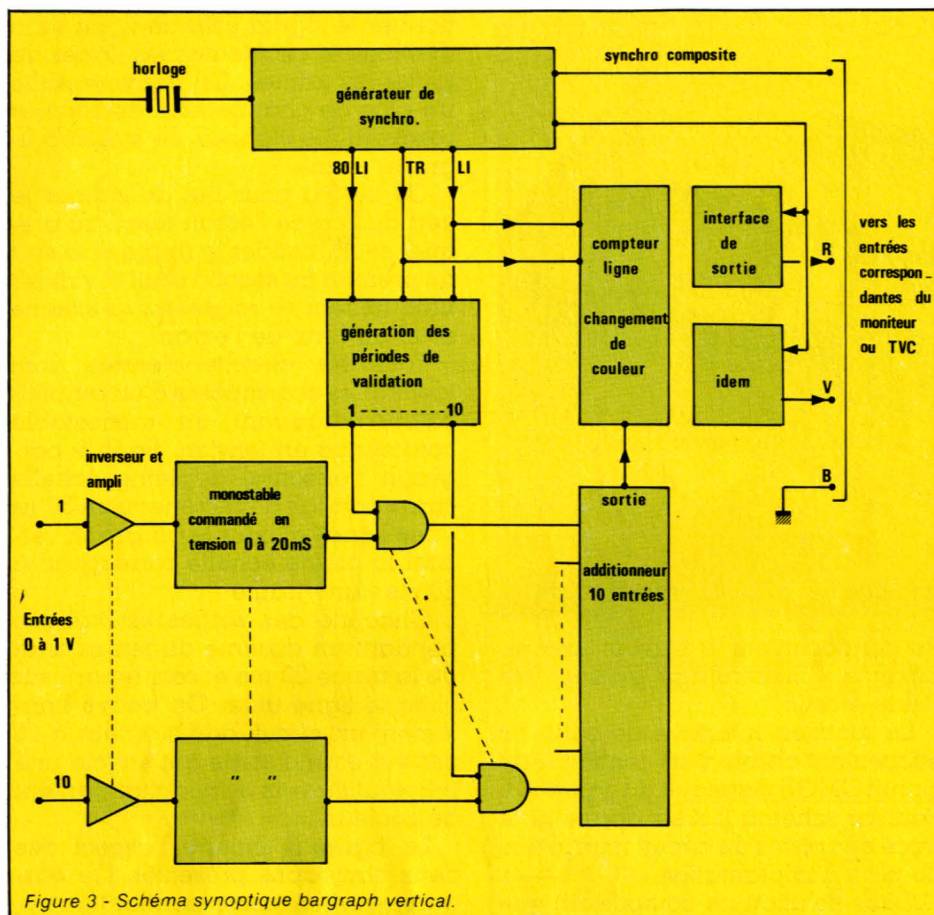


Figure 3 - Schéma synoptique bargraph vertical.

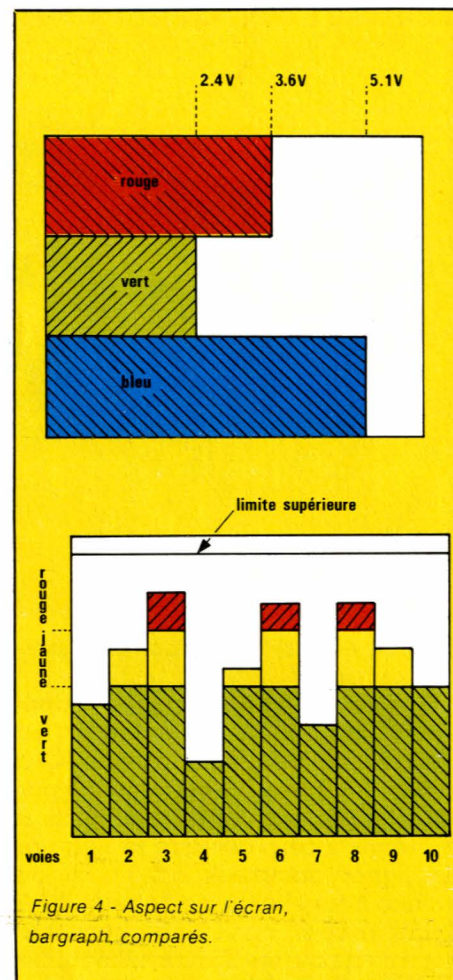
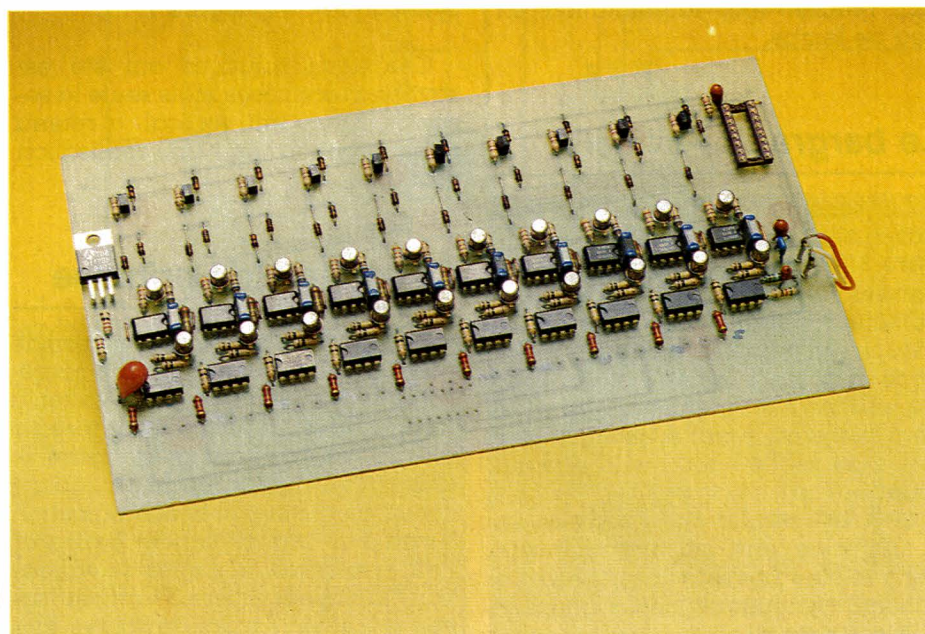


Figure 4 - Aspect sur l'écran, bargraph, comparés.



est impérative et on récupère à la broche 26 le signal de synchronisation composite. Ce signal est inversé pour piloter les moniteurs ou TVC.

Les entrées de programmation du SAA 1043 sont câblées de manière à ce que les signaux de sortie soient conformes au standard 625 lignes SECAM - voir Radio Plans n° 444.

Les signaux FH 80, broche 8 du

SAA 1043, et chroma Blanking, broche 25 du SAA 1043, sont envoyés vers IC<sub>9</sub> qui divise FH 80 par 7. À la broche 7 de IC<sub>9</sub> on dispose d'un signal dont la fréquence vaut sensiblement 178 570 Hz.

Ce signal est ensuite fractionné par IC<sub>11</sub> qui décode chaque état 0 à 9. On dispose ainsi de 10 périodes de validation parfaitement synchroni-

sées puisque les deux compteurs IC<sub>9</sub> et IC<sub>10</sub> sont remis à zéro pendant toute la période du chroma blanking.

Pour le compteur IC<sub>9</sub> la division par 7 résulte du bouclage de la sortie Q<sub>7</sub> sur la remise à zéro.

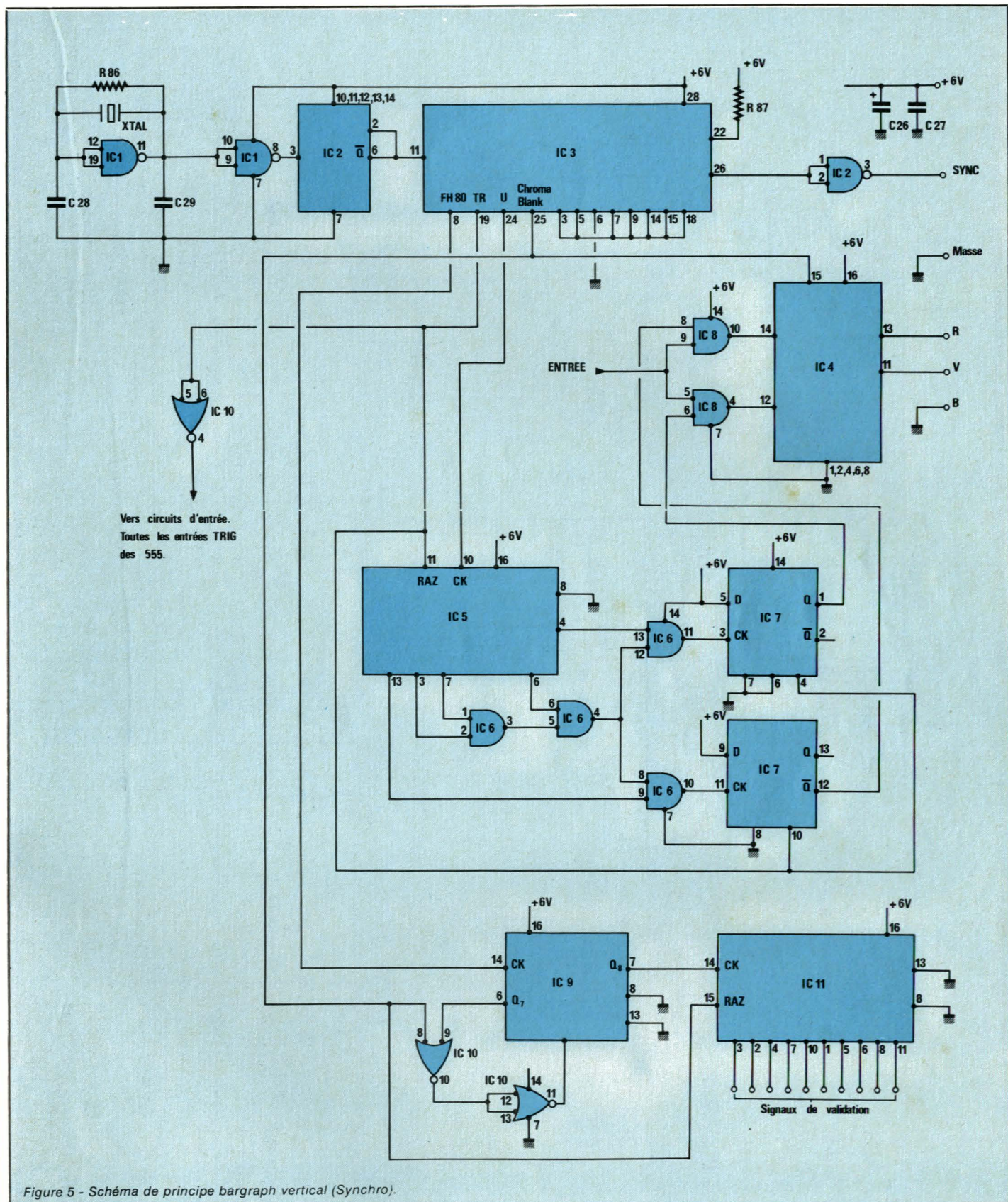
Les signaux trame et ligne délivrés aux broches 19 et 24 du SAA 1043 pilotent la circuiterie assurant le changement de couleur.

Le compteur IC<sub>5</sub> du type 4040 est périodiquement remis à zéro par les impulsions de synchronisation trame. L'entrée horloge reçoit les impulsions de synchronisation ligne.

Un boîtier de portes ET du type 4081, IC<sub>6</sub>, est utilisé pour décoder deux états, comptage de 150 impulsions lignes et 86 impulsions lignes. Lorsque le contenu du compteur atteint 150 la sortie 10 de IC<sub>6</sub> passe à l'état haut et la sortie Q de IC<sub>7</sub> pilotant la voie rouge passe au 0, zéro logique. Lorsque le contenu du compteur atteint 86 la sortie 11 de IC<sub>6</sub> passe à l'état haut et la sortie Q de IC<sub>7</sub> pilotant la voie verte passe au 1 logique.

Si on appelle N le contenu du compteur on a finalement trois cas possibles :





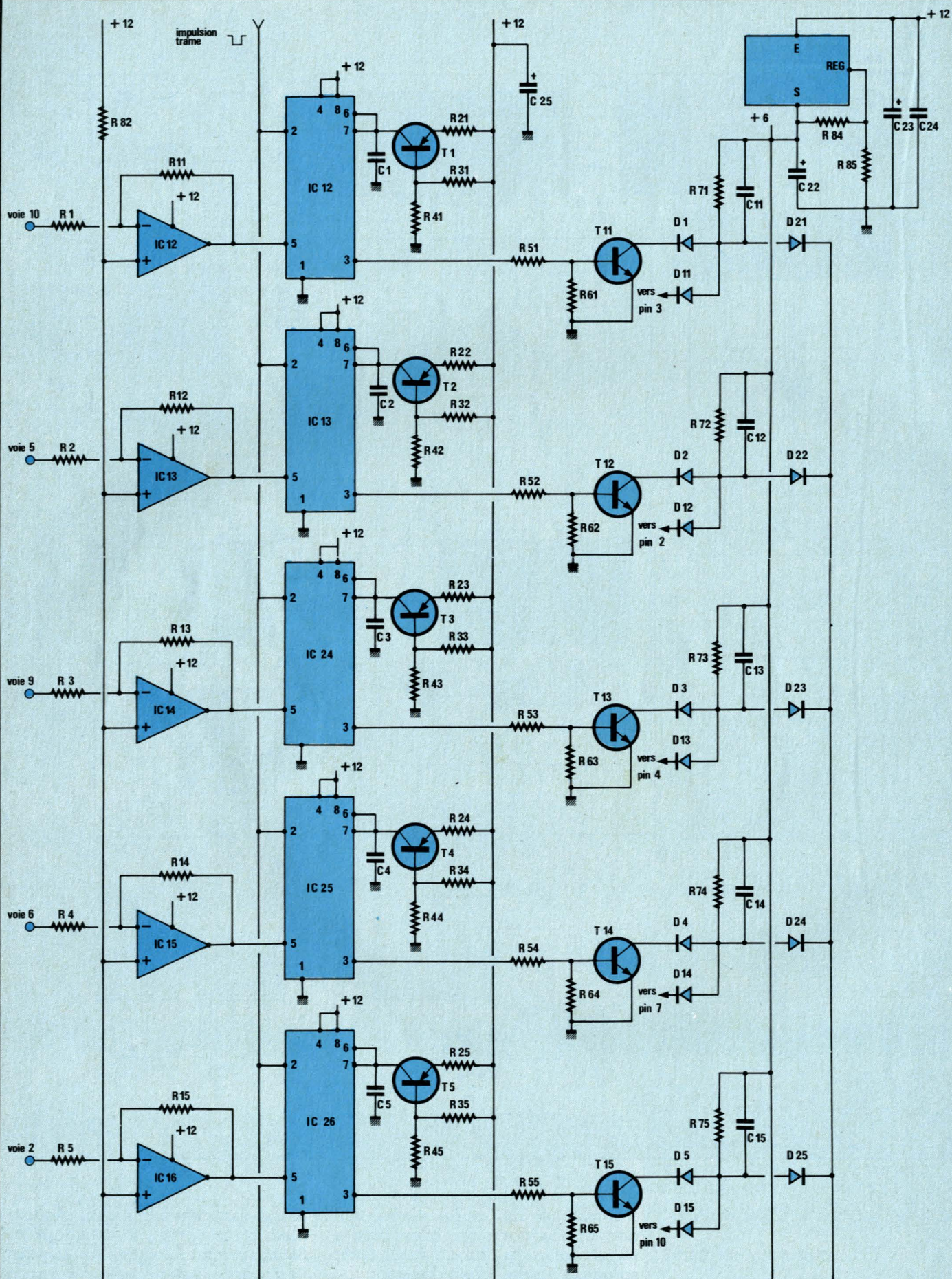
$N < 86$ , voie rouge validée, verte inhibée.  
 $86 \leq N \leq 150$ , voies rouge et verte validées.  
 $N > 150$ , voie verte validée, rouge inhibée.

L'addition du rouge et du vert donnant du jaune, on obtient bien le résultat attendu : ruban rouge dans sa partie haute, jaune dans son milieu et vert dans le bas.

Les frontières vert-jaune et jaune-

rouge sont très facilement modifiables. En modifiant le décodage du 86° top de synchro ligne, on déplace la frontière jaune-rouge et en modifiant le décodage du 150° top de synchro ligne, on déplace la frontière







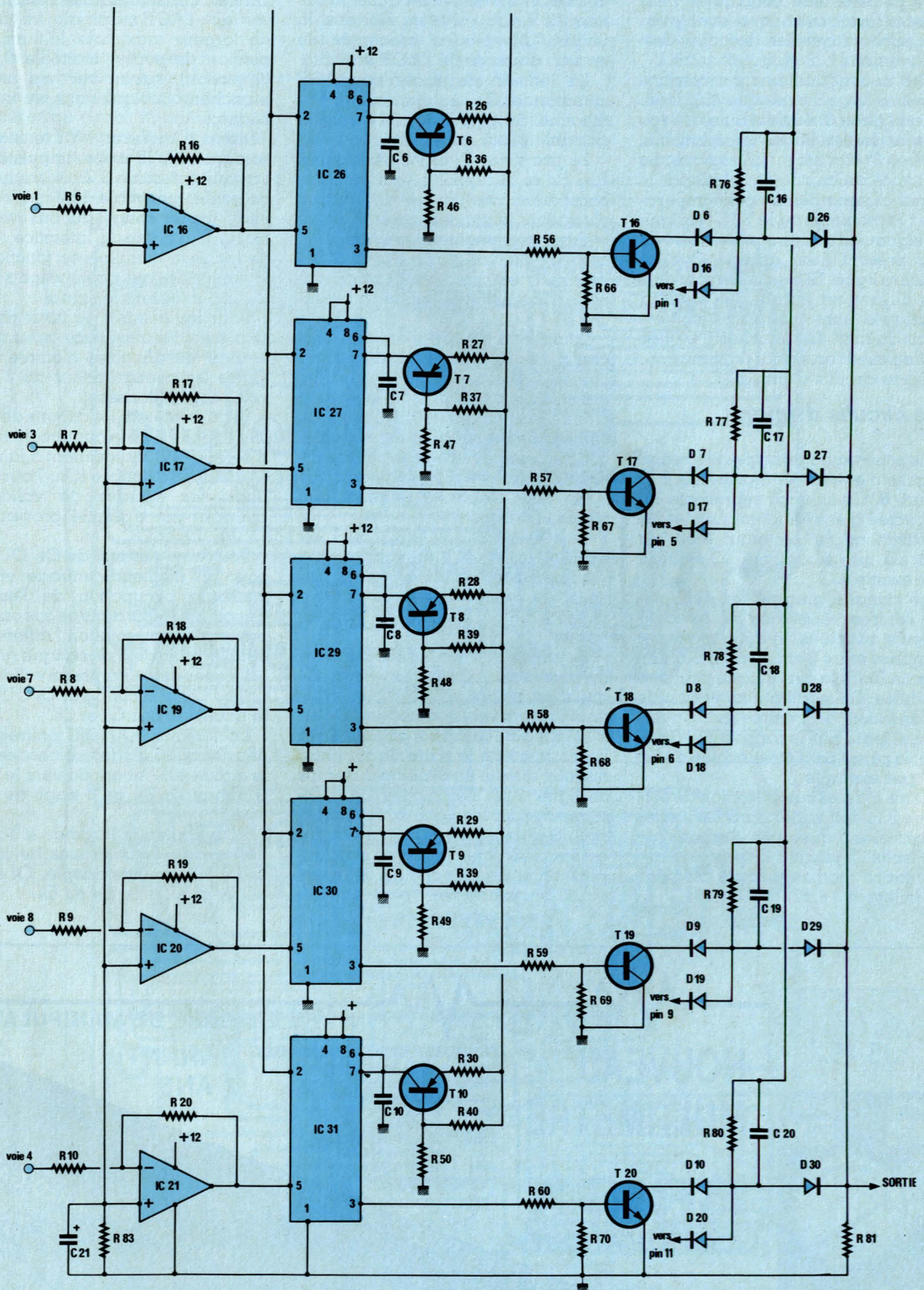


Figure 6 - Schéma de principe bargraph vertical (Entrées).



vert-jaune. Les sorties Q<sub>1</sub> à Q<sub>9</sub> du 4040 peuvent être combinées pour obtenir une quelconque configuration sachant qu'elles décodent respectivement 1, 2, 4, 8, ..., 256.

On trouve finalement l'interface de sortie IC<sub>4</sub>, un classique 4503, buffer si l'entrée 3<sup>e</sup> état est au zéro logique, et sorties haute impédance si l'entrée 3<sup>e</sup> état est au un logique. La présence de ce circuit, piloté par le signal chroma Blanking est impérative : le moniteur ou le TVC réaligne les signaux d'entrée sur le niveau du noir présent juste après le top de synchro ligne. Si les sorties sont actives durant cet instant, les niveaux appliqués sont interprétés comme étant du noir. Les broches 9 et 5 de IC<sub>3</sub> reçoivent un signal provenant de la carte circuits d'entrée.

## Les circuits d'entrée

Le schéma de principe de la carte circuits d'entrée est représenté à la figure 6. Ce schéma représente les dix voies d'entrée identiques et les explications ne porteront bien sûr que sur une seule voie, IC<sub>12</sub> et IC<sub>22</sub> par exemple.

Le signal à mesurer est appliqué sur l'entrée, résistance R<sub>1</sub>. Avec les valeurs adoptées, la dynamique est comprise entre 0 et 1 V. En modifiant le gain R<sub>11</sub>/R<sub>1</sub> la dynamique peut être modifiée. En modifiant la tension de polarisation de l'entrée non inverseuse défini par le rapport R<sub>83</sub>/(R<sub>83</sub> + R<sub>82</sub>), la plage peut être décalée de 2 à 4 V par exemple.

Dans tous les cas la tension de sortie de IC<sub>12</sub> doit varier dans les limites maximales : quelques dizaines de millivolts (0) jusqu'à la tension d'alimentation moins quelques dizaines de millivolts (+ 12).

L'amplificateur étant inverseur, si la tension à mesurer est nulle on obtient 12 V à la sortie de IC<sub>12</sub> et si la tension d'entrée est maximale, la tension de sortie de l'AOP vaut 0.

La tension de sortie de l'AOP commande IC<sub>22</sub>, un circuit bien traditionnel du type 555 monté en monostable piloté en tension.

Le transistor T<sub>1</sub> et les résistances R<sub>21</sub>, R<sub>31</sub> et R<sub>41</sub> qui lui sont associés constituent une source de courant chargeant le condensateur C<sub>1</sub>.

Dans ces conditions la largeur du créneau délivré à la sortie du 555 - broche 3 - est directement proportionnelle à la tension appliquée à la broche 5.

Lorsque la tension d'entrée - broche 5 - est maximale, la largeur du créneau est maximale et sensiblement égale à 19,6 ms et si la tension d'entrée est minimale, la largeur de l'impulsion est sensiblement égale à 3,2 ms. La source de courant linéarisant la conversion largeur/tension.

On peut établir la relation liant temps et tension :

$\tau = 1,36 \text{ (ms/V)} \cdot V + 3,2$  où  $\tau$  est exprimé en ms et V en volts.

L'impulsion, modulable en largeur, est synchronisée par le complément de l'impulsion de synchro trame.

Le transistor T<sub>11</sub> et les diodes D<sub>1</sub> et D<sub>11</sub> sont assimilables à un inverseur qui n'est validé que lorsque le signal présent sur la cathode de D<sub>11</sub> est à l'état haut. Le signal appliqué sur D<sub>11</sub> provient de la carte de synchronisation et vaut un dixième du temps de ligne utile. Les diodes D<sub>21</sub> à D<sub>30</sub> somment tous les signaux de tous les circuits d'entrée et le signal obtenu est renvoyé vers la carte de synchronisation et vers les circuits de sortie.

Le fonctionnement peut être ré-

sumé de la manière suivante :

Tension à mesurer nulle : tension de sortie de l'AOP maximale, impulsion de largeur maximale 19,6 ms, impulsion de sortie minimale 0,4 ms (inversion), ruban vert au niveau plancher - quelques mm au bas de l'écran.

Tension à mesurer 1 V : tension de sortie de l'AOP nulle, impulsion de largeur minimale 3,2 ms, impulsion de sortie maximale 16,8 ms, ruban vert, jaune, rouge du bas vers le haut de l'écran. L'interstice entre deux rubans contigus est fonction de la valeur des deux composants R<sub>71</sub> et C<sub>11</sub> qui intègrent le signal.

Pour les besoins du futur article, analyseur de fréquence, nous avons équipé les dix voies d'entrée mais toutes les configurations de 1 à 10 voies sont autorisées.

Si on numérote les rubans de gauche à droite 0 à 9 le numéro du ruban n correspond directement à la sortie Q<sub>n</sub> du circuit intégré IC<sub>11</sub>. Pour 4 rubans, les signaux de validation pourront par exemple provenir de Q<sub>1</sub>, Q<sub>3</sub>, Q<sub>5</sub> et Q<sub>7</sub>.

Pour trois rubans, de Q<sub>2</sub>, Q<sub>4</sub> et Q<sub>6</sub> pour un meilleur centrage et une meilleure occupation de l'espace disponible. Mais dans ce cas on peut préférer une solution différente : doubler la largeur de chaque ruban.

Le premier ruban sera validé par Q<sub>1</sub> OU Q<sub>2</sub>, le second par Q<sub>4</sub> OU Q<sub>5</sub> et le troisième par Q<sub>7</sub> et Q<sub>8</sub>.

La fonction OU est réalisée par deux simples diodes ; cathodes vers le circuit 4017 et anode vers le point commun D<sub>1</sub> D<sub>21</sub> qu'il s'agit de cette voie.

Pour tripler la largeur, si l'on ne désire que deux rubans, le même procédé peut être adopté. Q<sub>1</sub> ou Q<sub>2</sub> ou Q<sub>3</sub> puis Q<sub>6</sub> ou Q<sub>7</sub> ou Q<sub>8</sub>.



**NOUVEAU  
MULTIMETRE  
BRISK  
«L'AUTOMATIQUE»**

### CHANGEMENT AUTOMATIQUE DES GAMMES

Affichage numérique 3 1/2 digits LCD  
Indications automatiques de polarité et de dépassement de signes et de fonctions,  
Tension : CC de 200 mV à 1000 V (0,5%)  
: CA de 2 V à 600 V (1%)  
Courant : CC de 200 mA à 10 A (1,5%)  
: de 200 mA à 10 A (2%)  
Ohms : de 200 Ω à 2000 Ω  
Impédance d'entrée 10 MΩ

**FINI LES ERREURS DE MANIPULATION**

**GARANTIE  
2 ANS**

**PANTEC**  
MULTIMETRES PROFESSIONNELS  
DIVISION OF CARLO GAVAZZI  
Disponibles dans les points de vente officiels PANTEC  
C.G. PANTEC  
27-29, rue Pajol  
75018 Paris  
Tél. : 202.77.06  
Recherchons distributeurs dans toute la France.



## Réalisation pratique

La réalisation pratique ne pose aucun problème majeur. Pour la platine de synchronisation, le tracé des pistes du circuit imprimé est représenté à la **figure 7** et l'implantation des composants correspondante

à la **figure 8**.

Pour la platine : circuits d'entrée, le tracé des pistes du circuit imprimé est représenté à la **figure 9** et l'implantation des composants correspondante à la **figure 10**.

Rappelons que le nombre de voies d'entrée à équiper n'est fonction que des besoins propres à chaque utilisateur.

Cette application ne comportant aucun réglage, sauf erreur d'implantation ou composant défectueux, le fonctionnement est immédiat.

En cas de panne on s'aidera, des explications données dans la partie théorique et des oscillogrammes représentant les signaux les plus importants prélevés en divers points du montage.

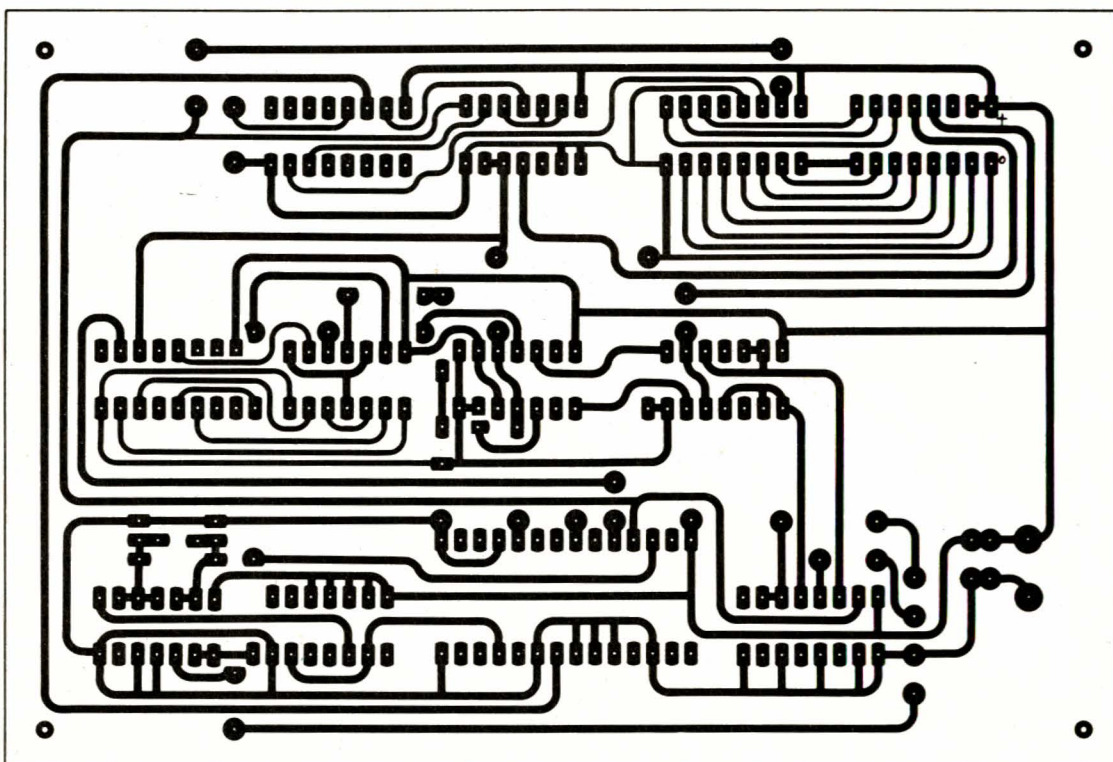


Figure 7 - Trace des pistes (Synchro).

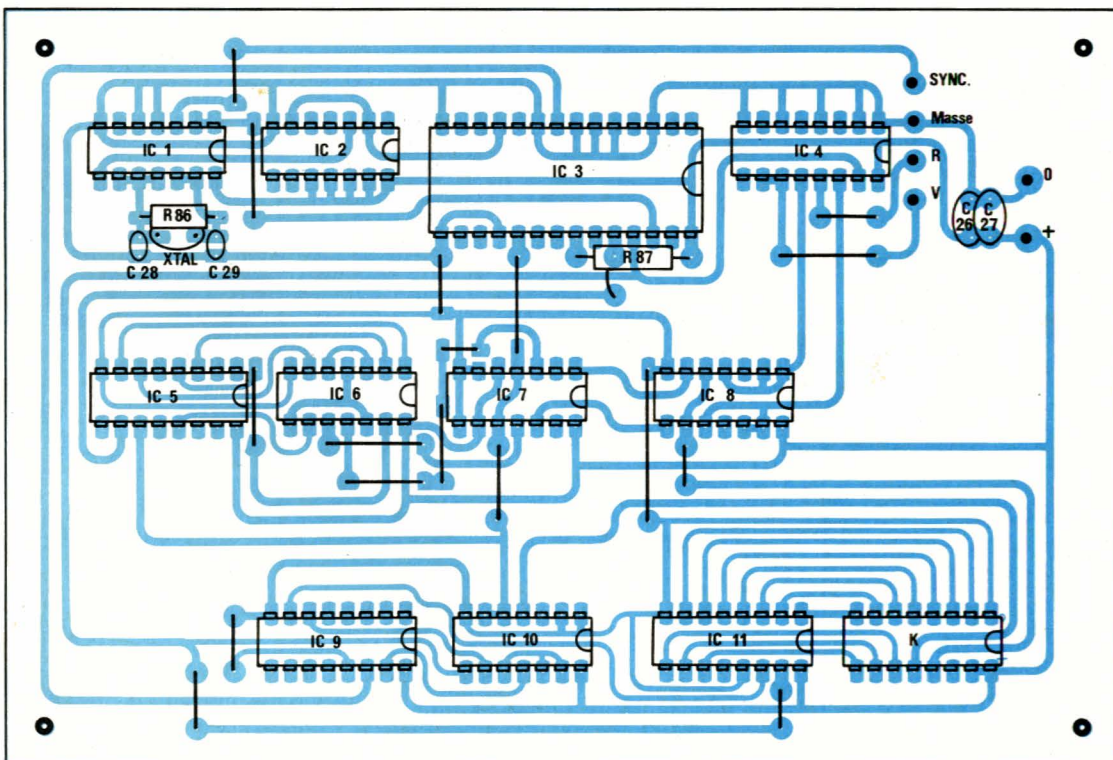


Figure 8 - Implantation des composants (Synchro).



**Vous serez toujours**



**calme  
et  
serein  
face aux  
stress.**

**GRATUIT**

## Maîtrisez votre EMOTIVITE

### L'hyper-Emotivité est un mal du siècle

Les stress de la vie moderne vous assaillent sans cesse : face aux autres, face aux responsabilités, l'hyper-émotivité vous envahit et vous bloque, vous restez figé, votre voix tremble.

### La Stabilité Emotive

vous permettra de vivre calme et détendu malgré soucis et agressivités. Vous maîtriserez énervement, irritation, colères, sautes d'humeur. Vous éliminerez peurs, angoisses, découragement, baisse de moral. Vous réussirez mieux votre vie professionnelle, sociale, sentimentale, sexuelle.

### Vous resterez calme et sûr de vous face à toutes les situations

Votre « vraie » personnalité profonde et riche d'atouts, prendra le dessus. Vous deviendrez heureux de vivre malgré les difficultés de votre vie quotidienne. Votre confiance en vous ira en se développant, et vous irez de l'avant en vainqueur.

### Votre fatigue disparaîtra

### Votre santé s'améliorera

Les stress rongent votre énergie et sont cause de plus de 70 % de vos maladies. Apprenez à les éviter en comprenant leurs mécanismes physiologiques. Vous ne tremblerez plus.

### La Stabilité Emotive changera votre vie

Vous étudierez tranquillement chez vous cette nouvelle Méthode d'action mise au point par Maurice Ogier : vous la pratiquerez chaque jour dans votre vie en suivant ses Conseils. Concrète, simple, efficace, elle vous apprendra :

1. Les techniques de Maîtrise de l'Emotivité.
2. Comment AGIR concrètement face aux stress.
3. Un nouveau comportement de vie positive.
4. A éliminer la fatigue et de nombreux maux.

Maurice OGIER

Institut Français de la Communication. Service 973  
6, rue de la Plaine, 75020 Paris, France (métro Nation)

### LIVRE GRATUIT

Vous recevrez gratuitement, en nous envoyant ce bon, le petit livre de Maurice Ogier "Comment maîtriser stress et émotivité", sans aucun engagement ni démarchage, sous pli confidentiel. ☐ M. ☐ Mme ☐ Mlle.

Nom .....

Prénom .....

Adresse .....

Code ..... Ville .....

A retourner à Maurice OGIER

Institut Français de la Communication. Service 973  
6, rue de la Plaine, 75020 Paris, France (métro Nation)  
Pour l'Afrique, joindre 2 coupons-réponse.

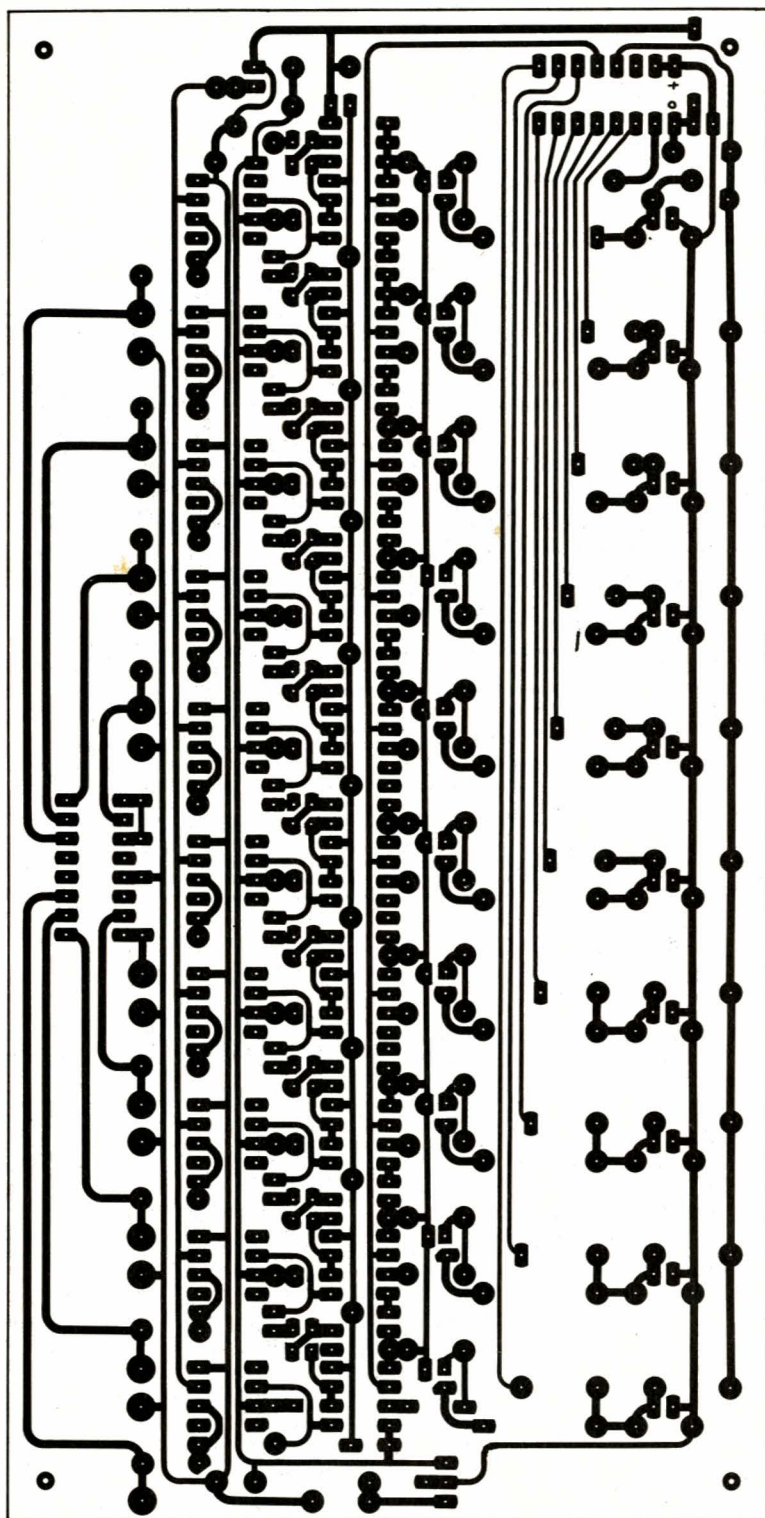


Figure 9 - Tracé des pistes (Entrées).



## HF - VHF

**MAGASIN**, Vente par Correspondance :  
136, bd Guy Chouteau, 49300 CHOLET  
Tél. : (41) 62.36.70

**BOUTIQUE** : 2, rue Emilio Castelar  
75012 PARIS - Tél. : (1) 342.14.34  
M° Ledru-Rollin ou Gare de Lyon

CD 4001	4,80
CD 4013	6,00
CD 4016	7,00
CD 4020	12,00
CD 4040	12,00
CD 4049	8,00
CD 4053	9,90
CD 4069	7,00
CD 4093	6,00
CD 4511	15,00
CD 4528	12,00
CD 4584	12,80
etc...	

## MOTOROLA

MC1496P	12,00
MC3396P	45,00
MC145104P	45,00
MC145106P	48,00
MC145151P	150,00

## PLESSEY

SL565C	85,00
SL6601C	55,00
SP8629C	45,00
SP8630	185,00
SP8658	45,00
SP8660	46,00

## R.T.C.

TBA 970	89,00
TDA2593	24,00
TDA4560	45,00
NE 5532	29,00
NE 5534 = TDA 1034	25,00
TCA 660 B	44,00

## DIVERS

LF 356	6,50
LF 357	8,00
LM 317T	15,00
LM 360	70,00
LM 555	5,00
LM 567	18,00
LM 723 N	4,50
LM 4250	12,00

**QUARTZ STANDARD** ... 25,00 pièce

3,2768 Mhz - 4,0000 Mhz - 5,0000 Mhz  
- 6,4000 Mhz - 6,5536 Mhz - 8,0000 Mhz  
- 10,000 Mhz - 10,240 Mhz - 10,245 Mhz  
- 10,600 Mhz - 10,700 Mhz - 12,000 Mhz  
- autres valeurs nous consulter.

Frais de port payables à la commande  
P.T.T. recommandé urgent : 25 F  
Contre-remboursement : 45 F

Prix non contractuels, susceptibles de varier  
avec les approvisionnements.

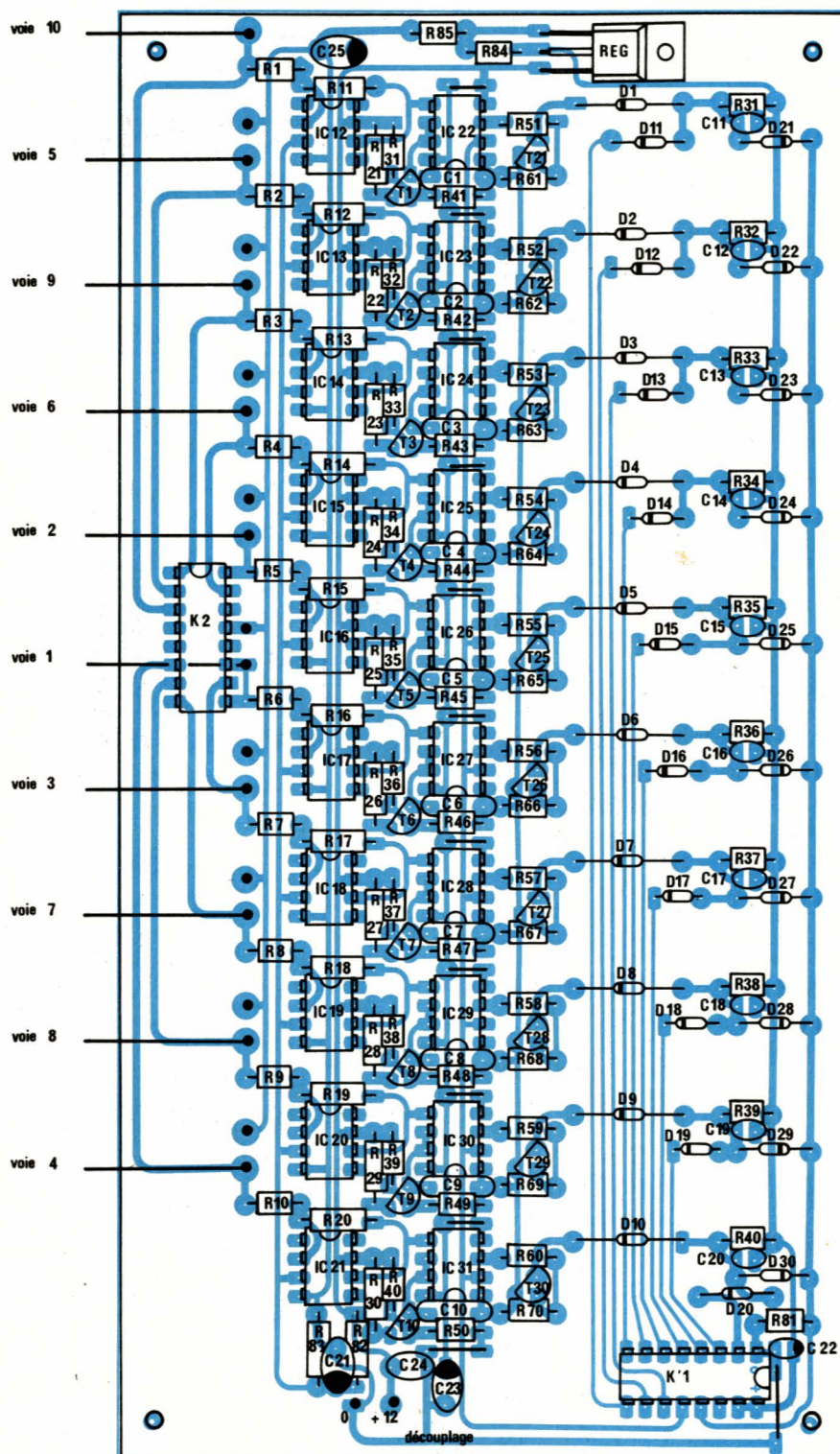
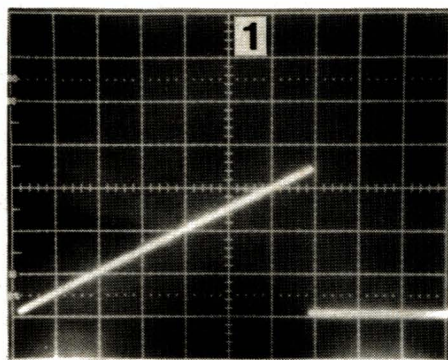
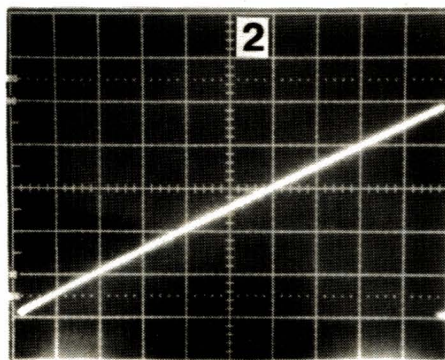


Figure 10 - Implantation des composants (Entrées).

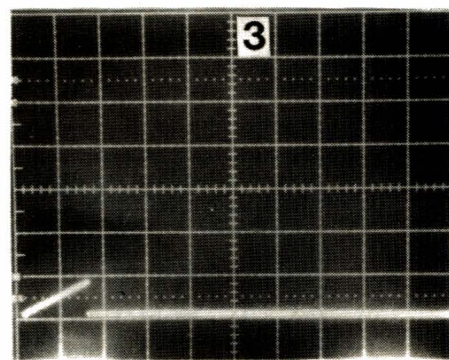




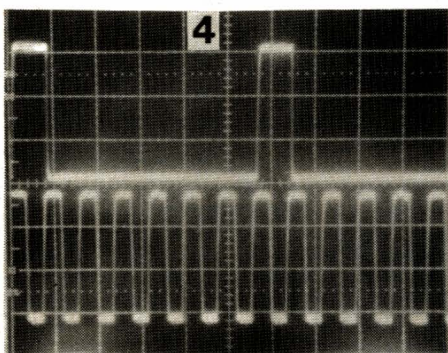
1 - pin 6 et 7 (555) tension d'entrée intermédiaire  
Réglages : 2 ms/div, 2 V/div.



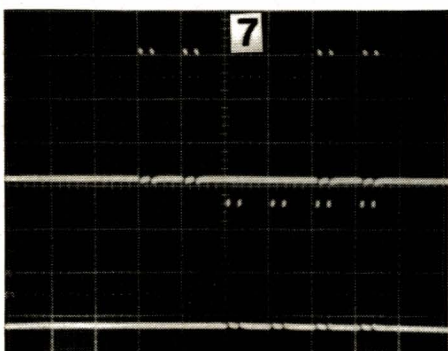
2 - pin 6 et 7 (555) tension d'entrée maximale.  
Réglages : 2 ms/div, 2 V/div.



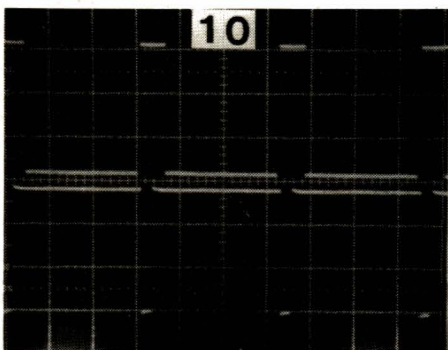
3 - pin 6 et 7 (555) tension d'entrée minimale.  
Réglages : 2 ms/div, 2 V/div.



4 - sup. pin 7, IC<sub>3</sub> réglages : 2 V/div., 1 μs/div.  
inf. pin 4, IC<sub>3</sub>

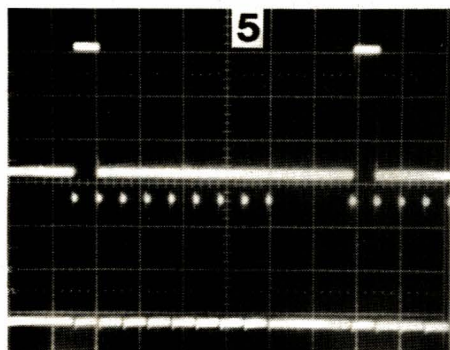


7 - sup. pin 3 IC<sub>7</sub> réglages : 2 V/div., 2 ms/div.  
inf. pin 11, IC<sub>7</sub>

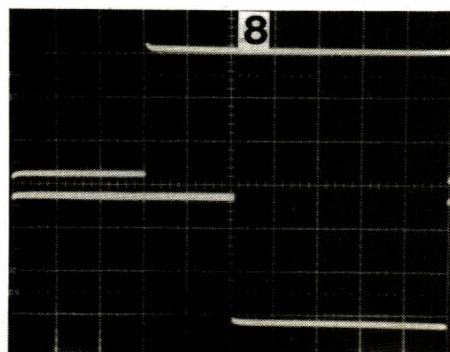


10 - sup. pin 25 IC<sub>3</sub> réglages : 2 V/div., 2 ms/div.  
inf. pin 26, IC<sub>3</sub>

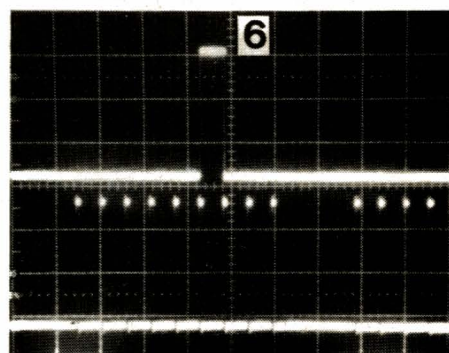
mise en  
évidence de  
la linéarité  
du 555



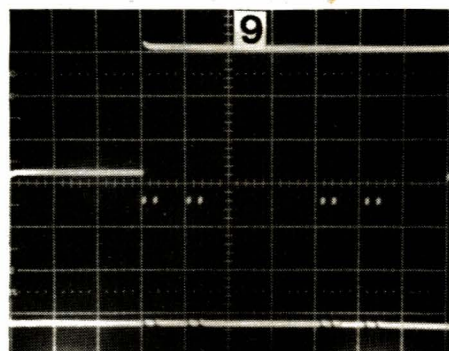
5 - sup. pin 2 IC<sub>1</sub> réglages : 2 V/div., 10 μs/div.  
inf. pin 14, IC<sub>2</sub>



8 - sup. pin 1 IC<sub>7</sub> réglages : 2 V/div., 2 ms/div.  
inf. pin 12, IC<sub>7</sub>



6 - sup. pin 5, IC<sub>11</sub> réglages : 2V/div., 10 μs/div.  
inf. pin 14, IC<sub>1</sub>



9 - sup. pin 1 IC<sub>7</sub> réglages : 2 V/div., 2 ms/div.  
inf. pin 3, IC<sub>7</sub>

## Conclusion

Nous aborderons dans le prochain numéro l'étude et la réalisation de filtres par octave transformant le bargraph en analyseur par bande d'octave. D'ores et déjà, la réalisation peut être employée dès que l'on éprouve le besoin de visualiser un niveau rapidement sans avoir sa valeur précise. L'appareil proposé se prête donc naturellement au remplacement d'un ensemble de vu-mètres.

François de DIEULEVEULT



Circuits intégrés	Nomenclature bargraph horizontal	Nomenclature bargraph vertical	Semi-conducteurs
IC <sub>1</sub> : 74 HC 00	C <sub>5</sub> : 1,5 nF MKH	IC <sub>8</sub> : 4081	T <sub>1</sub> à 10: 2N 2907
IC <sub>2</sub> : 74 HC 74	C <sub>6</sub> : 1,5 nF MKH	IC <sub>9</sub> : 4017	T <sub>11</sub> à 20: 2N 2222
IC <sub>3</sub> : SAA 1043	C <sub>7</sub> : 1,5 nF MKH	IC <sub>10</sub> : 4001	
IC <sub>4</sub> : 4040		IC <sub>11</sub> : 4017	<b>Diodes</b>
IC <sub>5</sub> : 4017	<b>Résistances</b>	IC <sub>12</sub> à 21: TL 071 ou équivalent	D <sub>1</sub> à 30: 1N 4148
IC <sub>6</sub> : 4011	R <sub>1</sub> : 4,7 MΩ	IC <sub>22</sub> à 31: 555	<b>Résistance 1/4 W, 5 %</b>
IC <sub>7</sub> : 4503	R <sub>2</sub> : 3,9 kΩ	REG LM 317/TDB 0317	R <sub>1</sub> à 10: 12 kΩ
IC <sub>8</sub> : 4011	R <sub>3</sub> : inexistante	<b>Condensateurs</b>	R <sub>11</sub> à 20: 100 kΩ
IC <sub>9</sub> : NE 555	R <sub>4</sub> : inexistante	C <sub>1</sub> à 10: 47 nF MKH	R <sub>21</sub> à 30: 100 kΩ
IC <sub>10</sub> : NE 555	R <sub>5</sub> : 15 kΩ	C <sub>11</sub> à 20: 82 pF céramique	R <sub>31</sub> à 40: 100 kΩ
IC <sub>11</sub> : NE 555	R <sub>6</sub> : 15 kΩ	C <sub>21</sub> : 10 μF 16 V tantale goutte	R <sub>41</sub> à 50: 330 kΩ
<b>Divers</b>	R <sub>7</sub> : 15 kΩ	C <sub>22</sub> : 10 μF 16 V tantale goutte	R <sub>51</sub> à 60: 3,3 kΩ
Xtal: 10 MHz	<b>Circuits intégrés</b>	C <sub>23</sub> : 10 μF 16 V tantale goutte	R <sub>61</sub> à 70: 680 Ω
L: 220 μH TOKO	IC <sub>1</sub> : 74 HC 00	C <sub>24</sub> : 0,1 μF mylar	R <sub>71</sub> à 80: 4,7 kΩ
<b>Condensateurs</b>	IC <sub>2</sub> : 74 HC 74	C <sub>25</sub> : 47 μF 16 V tantale	R <sub>81</sub> : 10 kΩ
C <sub>1</sub> : 15 pF	IC <sub>3</sub> : SAA 1043	C <sub>26</sub> : 47 μF 16 V tantale	R <sub>82</sub> : 9,1 kΩ
C <sub>2</sub> : 15 pF	IC <sub>4</sub> : 4503	C <sub>27</sub> : 0,1 μF mylar	R <sub>83</sub> : 820 Ω
C <sub>3</sub> : 0,1 μF MKH	IC <sub>5</sub> : 4040	C <sub>28</sub> : 15 pF céramique	R <sub>84</sub> : 220 Ω
C <sub>4</sub> : 47 μF/16 V	IC <sub>6</sub> : 4081	C <sub>29</sub> : 15 pF céramique	R <sub>85</sub> : 820 Ω
	IC <sub>7</sub> : 4013		R <sub>86</sub> : 3,3 MΩ

## ERRATUM Suite de la page 57

Et vous sauvegarderez votre moniteur par :

CSAVE "MONITEUR", A#7602, E#97FF, AUTO

Nous espérons que le moniteur vous donnera ainsi entière satisfaction et nous vous prions de nous excuser pour ces deux erreurs.

7A80: 68 28 60 98 29 40 F0 07	3405	7B88: 16 78 85 FE AD 17 78 85	4584	7CE8: 3A 2A 10 79 AD C6 92 20	3985
7A88: 98 38 D8 E9 07 D0 01 98	4350	7B90: FF B1 FE 20 10 79 C8 C0	5241	7CF0: 67 2A AD C5 92 20 67 7A	4273
7A90: 29 0F 85 FF 8A 29 40 F0	4794	7B98: 08 D0 EC AD 16 78 18 D8	4550	7CF8: 60 00 20 D0 7A 20 B0 7B	4042
7A98: 07 8A 38 D8 E9 07 D0 01	3986	7BA0: EA EA 69 08 8D 16 78 AD	4110	7D00: 20 DB 79 8D 19 78 20 AB	3834
7AA0: 8A 29 0F 0A 0A 0A 0A 05	525	7BA8: 17 78 69 00 8D 17 78 60	3029	7D08: 7A 90 37 20 DB 79 8D 1A	3719
7AA8: FF 60 00 48 29 F0 C9 40	4299	7BB0: A9 0D 20 7A 79 AD 17 78	3543	7D10: 78 20 AB 7A 90 2C AE 19	3587
7AB0: F0 0D C9 30 D0 16 68 48	3537	7BB8: 20 67 7A AD 16 78 20 67	3174	7D18: 78 AC 1A 78 20 83 7A AE	4214
7AB8: C9 3A 10 10 68 38 60 68	2789	7BC0: 7A A9 3A 20 10 79 A9 20	3007	7D20: 16 78 86 FE AE 17 78 86	4600
7AC0: 48 C9 40 F0 07 C9 47 10	3492	7BC8: 20 10 79 60 4C D8 88 20	3695	7D28: FF A0 00 91 FE 38 D8 A9	5625
7AC8: 03 68 38 60 68 18 60 00	2099	7BD0: D0 7A 20 B0 7B 20 58 7B	3659	7D30: 00 6D 16 78 8D 16 78 A9	3793
7AD0: 4C DE 7A 20 3F 20 A9 0D	2808	7BD8: AD 08 02 C9 38 F0 F3 AD	5804	7D38: 00 6D 17 78 8D 17 78 4C	3058
7AD8: 20 7A 79 EA EA EA A2 00	5283	7BE0: 08 02 C9 38 D0 F9 AD 08	4648	7D40: FD 7C C9 0D F0 03 4C FD	4930
7AE0: BD D3 7A 20 7A 79 E8 00	5857	7BE8: 02 C9 38 F0 F9 AD 08 02	3887	7D48: 7C 60 20 D0 7A A2 FE 9A	5836
7AE8: 03 D0 F5 A2 04 8E 18 78	3802	7BF0: C9 AF F0 0A AD 08 02 C9	3846	7D50: AD C3 92 48 AD C0 92 AE	5720
7AF0: 20 DB 79 20 AB 7A 90 24	3844	7BF8: 38 D0 F9 4C D2 7B 60 00	3983	7D58: C1 92 AC C2 92 28 20 62	3755
7AF8: CE 18 78 AE 18 78 9D 00	3249	7C00: 48 AD 0D 03 29 40 F0 C4	4306	7D60: 7D 00 6C 16 78 A9 00 85	3215
7B00: 98 D0 ED AE 01 98 AC 00	4096	7C08: 8D 0D 03 20 1B ED AD 08	3136	7D68: 35 20 CA E6 20 A8 E4 20	4663
7B08: 98 20 83 7A 8D 16 78 AE	4166	7C10: 02 C9 A9 F0 03 68 40 48	3534	7D70: 04 E8 60 20 D0 7A AD 16	4043
7B10: 03 98 AC 02 98 20 83 7A	3676	7C18: 78 68 8D C0 92 8E C1 92	5620	7D78: 78 85 5F AD 17 78 85 60	3897
7B18: 8D 17 78 60 C9 0D D0 86	4926	7C20: 8C C2 92 68 8D C3 92 68	5111	7D80: 20 D0 7A AD 16 78 85 61	4043
7B20: 60 4C 30 7B 0D 43 4F 4D	2520	7C28: 8D C5 92 68 8D C6 92 BA	5792	7D88: AD 17 78 85 62 4C 97 7D	4114
7B28: 4D 41 4E 44 45 20 3F 20	1947	7C30: 8E C4 92 A2 30 9A A9 40	4479	7D90: 0D 4E 4F 4D 20 3F 20 A2	2772
7B30: A2 00 BD 24 7B 20 7A 79	3502	7C38: 8D 16 7C 20 AD 88 20 6A	3438	7D98: 00 BD 90 7D 20 7A 79 E8	4905
7B38: E8 E0 0C D0 F5 20 DB 79	5466	7C40: 7C 20 E0 8D D8 A2 FF A0	6489	7DA0: E0 07 D0 F5 20 AA 84 A2	5242
7B40: AA BD 00 93 85 FE BD 80	5672	7C48: 20 88 D0 FD CA D0 F8 A9	7286	7DA8: 00 BD 04 98 95 35 E8 C9	5293
7B48: 93 85 FF F0 E3 20 53 7B	5030	7C50: 38 8D 08 02 20 04 E8 A9	3530	7DB0: 0D D0 F6 A9 00 95 34 20	3357
7B50: 4C 50 90 6C FE 00 00 00	2370	7C58: 38 8D 08 02 20 4C 89 A9	3297	7DB8: CA E6 20 7B E5 20 04 E8	4471
7B58: AD 17 78 85 FF AD 16 78	4538	7C60: 00 8D DF 02 4C 50 96 00	2869	7DC0: 60 00 00 00 00 00 00 00	96
7B60: 85 FE A0 00 B1 FE 20 67	4578	7C68: 00 00 A9 0D 20 7A 79 A9	3650	7DC8: 00 00 00 00 00 00 00 00	0
7B68: 7A A9 20 20 10 79 AD 16	2877	7C70: 20 20 10 79 A9 41 20 10	2215	7DD0: 08 68 29 EF 48 28 4C 18	2619
7B70: 78 85 FE AD 17 78 85 FF	5646	7C78: 79 A9 3A 20 10 79 AD C0	4314	7DD8: 7C 00 00 00 00 00 00 00	124
7B78: C8 C0 08 D0 E7 A9 20 20	4089	7C80: 92 20 67 7A A9 20 20 10	2396	7DE0: 8C 18 78 A0 03 D1 FE F0	6155
7B80: 10 79 20 10 79 A0 00 AD	3367	7C88: 79 A9 58 20 10 79 A9 3A	3304	7DE8: 0B CC 18 78 F0 04 C8 4C	4203
		7C90: 20 10 79 AD C1 92 20 67	4008	7DF0: E5 7D A0 00 60 48 A9 00	3054
		7C98: 7A A9 20 20 10 79 A9 59	3385	7DF8: 85 FE A9 91 85 FF 68 A0	5931
		7CA0: 20 10 79 A9 3A 20 10 79	2665	7E00: 03 20 E0 7D C0 00 D0 5D	4399
		7CA8: AD C2 92 20 67 7A A9 20	3813	7E08: 48 A9 04 18 65 FE 85 FE	5510
		7CB0: 20 10 79 A9 50 20 10 79	2775	7E10: A5 FF 69 00 85 FF A0 00	4305
		7CB8: A9 3A 20 10 79 AD C3 92	4621	7E18: B1 FE C9 02 D0 00 18 A9	5200
		7CC0: 20 67 7A A9 20 20 10 79	2712	7E20: 02 65 FE 85 FE A5 FF 69	6383
		7CC8: A9 53 20 10 79 A9 3A 20	2776	7E28: 00 85 FF 68 A0 03 20 E0	4281
		7CD0: 10 79 AD C4 92 20 67 7A	4180	7E30: 7D C0 00 D0 4F 48 A9 04	3383
		7CD8: A9 20 20 10 79 A9 50 20	2828	7E38: 18 65 FE 85 FE A9 00 65	4612
		7CE0: 10 79 A9 43 20 10 79 A9	3488	7E40: FF 85 FF A0 00 B1 FE C9	6374
				7E48: 02 D0 E0 A9 02 18 65 FE	4659



# Réalisation

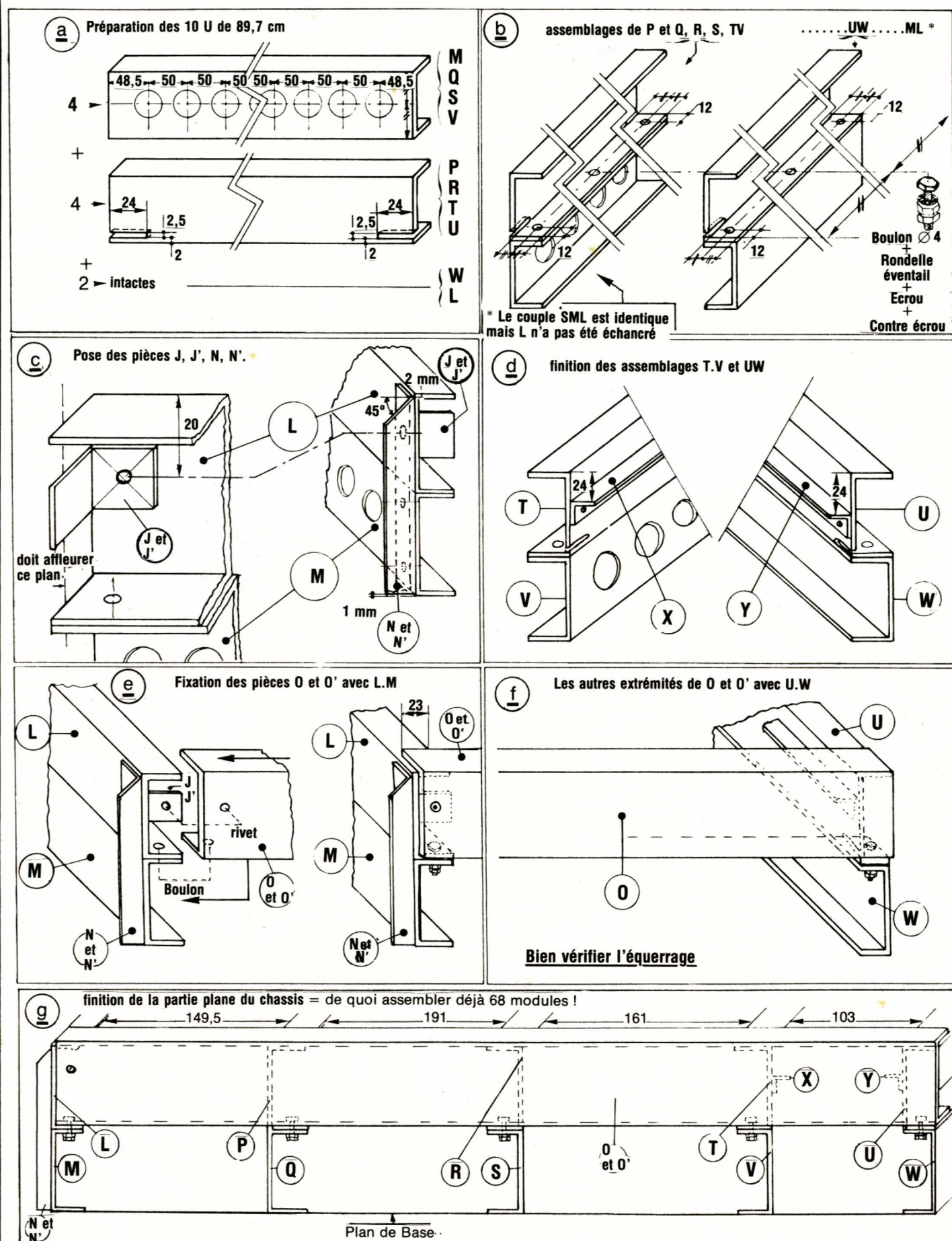


Figure n° 3

les étapes de la fabrication de la partie plane du châssis.



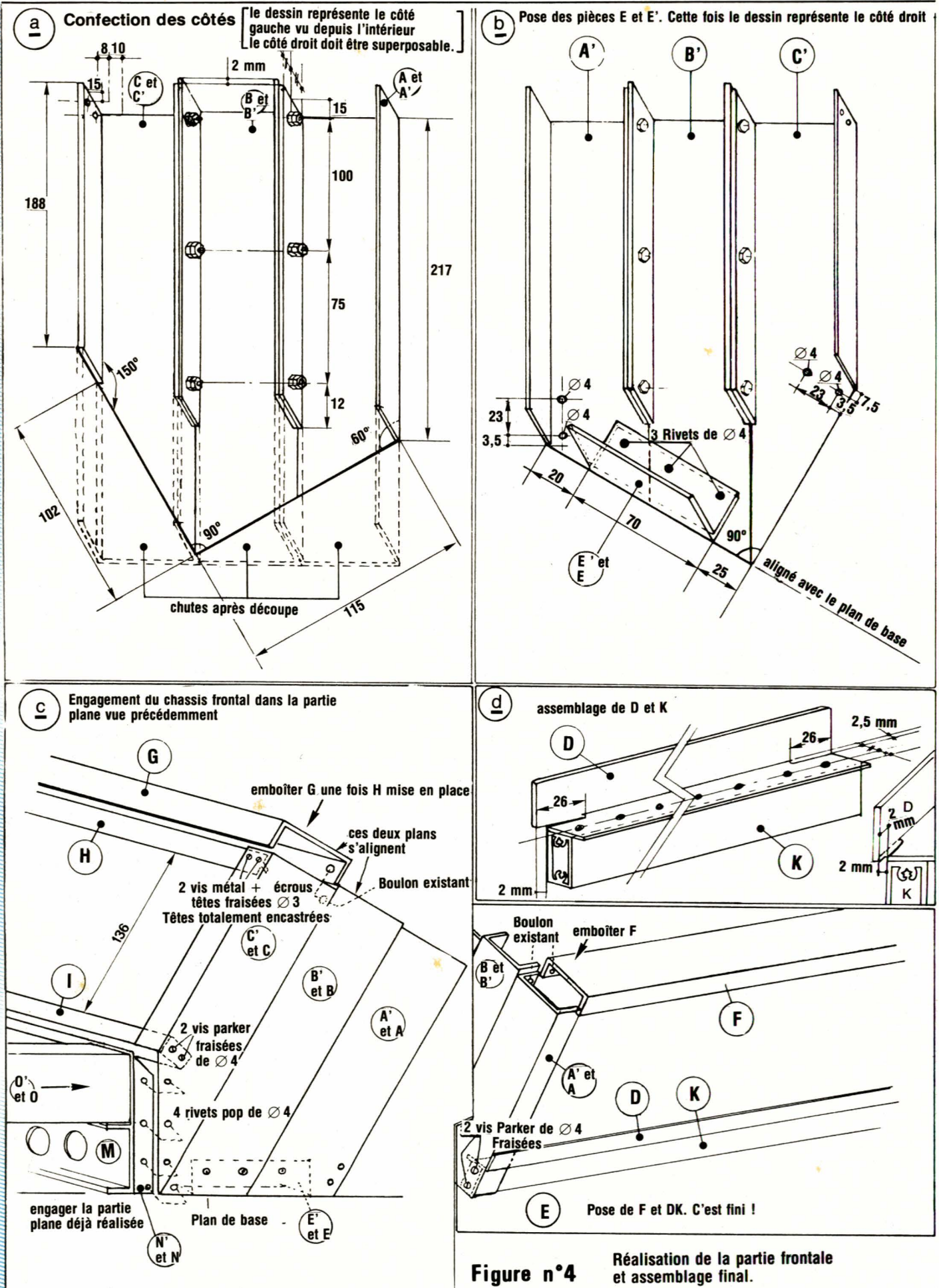
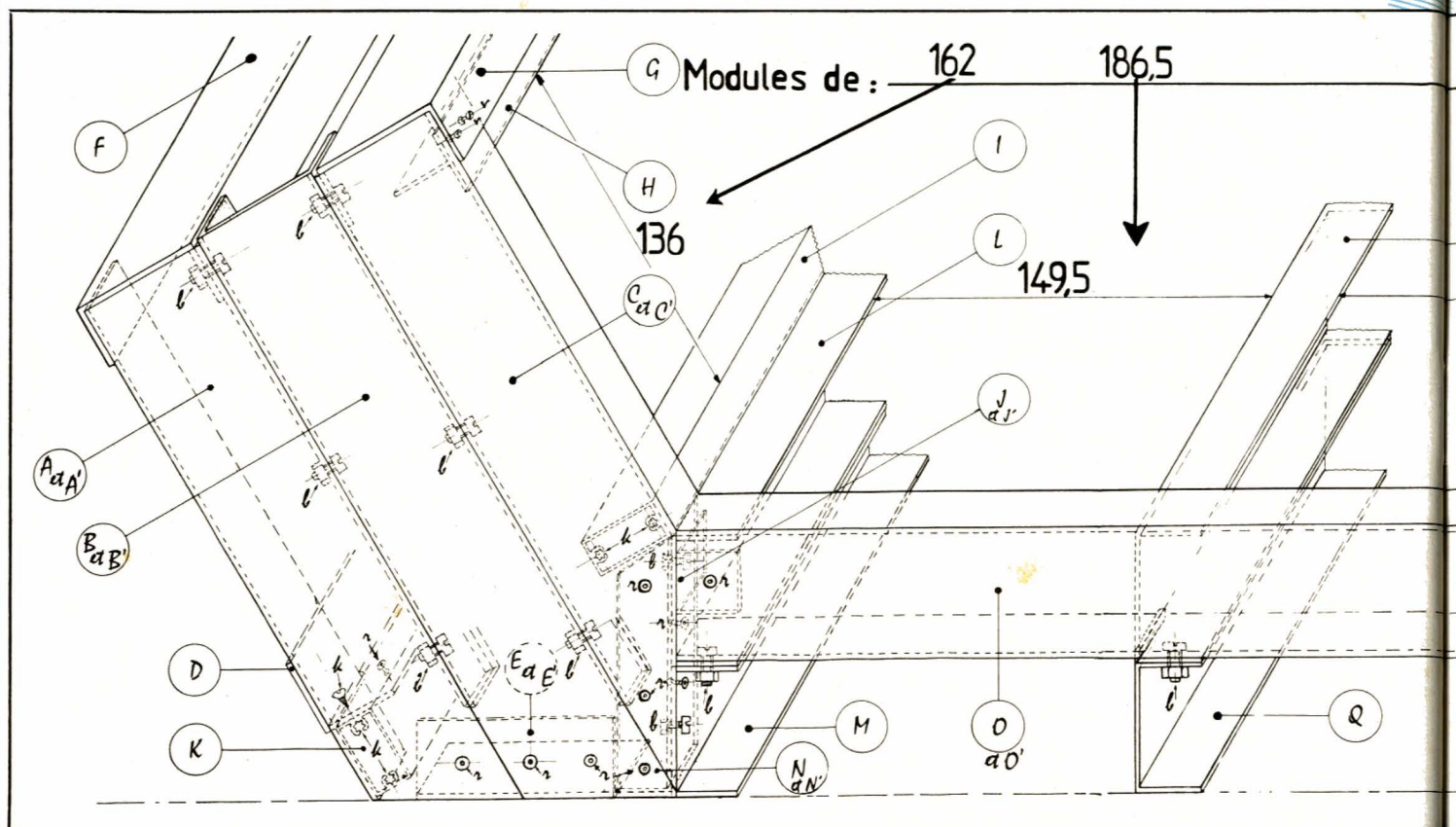


Figure n°4

Réalisation de la partie frontale et assemblage final.





## Réalisation pratique

Avant tout, l'auteur insiste sur le fait qu'il est impératif de suivre scrupuleusement l'ordre des usinages et des assemblages, comme ils seront décrits. Ceci évitera tout gâchis regrettable de matière et toute perte de temps.

La figure 2 établit le récapitulatif des divers profilés nécessaires à la construction. Tout d'abord du U de  $25 \times 50 \times 25$  (a). C'est le plus utilisé et c'est le même qui servira de face avant aux modules. Ensuite, nous nous servirons de trois types d'équerres :  $20 \times 20$  (b),  $30 \times 30$  (c),  $10 \times 10$  (d) de TE de  $25 \times 25$  (f) et d'un tube de  $15 \times 30$  (e) un peu particulier, puisqu'il comporte deux logements destinés à recevoir des vis parker.

Tous ces profilés sont en aluminium anodisé blanc. Vous devrez vous les procurer chez un spécialiste aluminier, et vous les faire couper aux cotes précises mentionnées à la liste des fournitures que vous pouvez consulter en fin d'article. Un tel châssis complet revient à peu près à 800 F. C'est beaucoup, mais d'un très bon rapport qualité-capacité/prix (c'est à peu près le prix de 2 racks 19 pouces 2 unités). Si pour quelque raison que ce soit, vous éprouviez des difficultés à vous approvisionner, consultez la

rubrique services en fin d'article. Cette rubrique servira, tout au long de notre construction, à vous faire profiter des innombrables démarches qu'a fait l'auteur pour contacter des gens sérieux, fiables et compétents. En écrivant à RADIO PLANS, comme il sera indiqué dans cette rubrique, vous saurez où vous adresser pour vous procurer ce que vous désirez, en prenant directement contact avec ces professionnels. Soyons clair une bonne fois : IL NE S'AGIT PAS D'UNE OPERATION COMMERCIALE, c'est un SERVICE.

L'auteur a vraiment envie que vous fabriquiez cette console et a tout fait pour qu'elle soit REELLEMENT reproductible et à moindre coût. Si il y a de très bonnes surprises dans cette rubrique, tant mieux pour tous !

Ce mois-ci vous pourrez vous procurer deux choses : 1° un plan (genre architecte) du châssis que nous décrivons, (à l'échelle 1) et de toutes les figures étapes de la fabrication. 2° tous les éléments nécessaires à la confection de la structure, coupés avec grande précision.

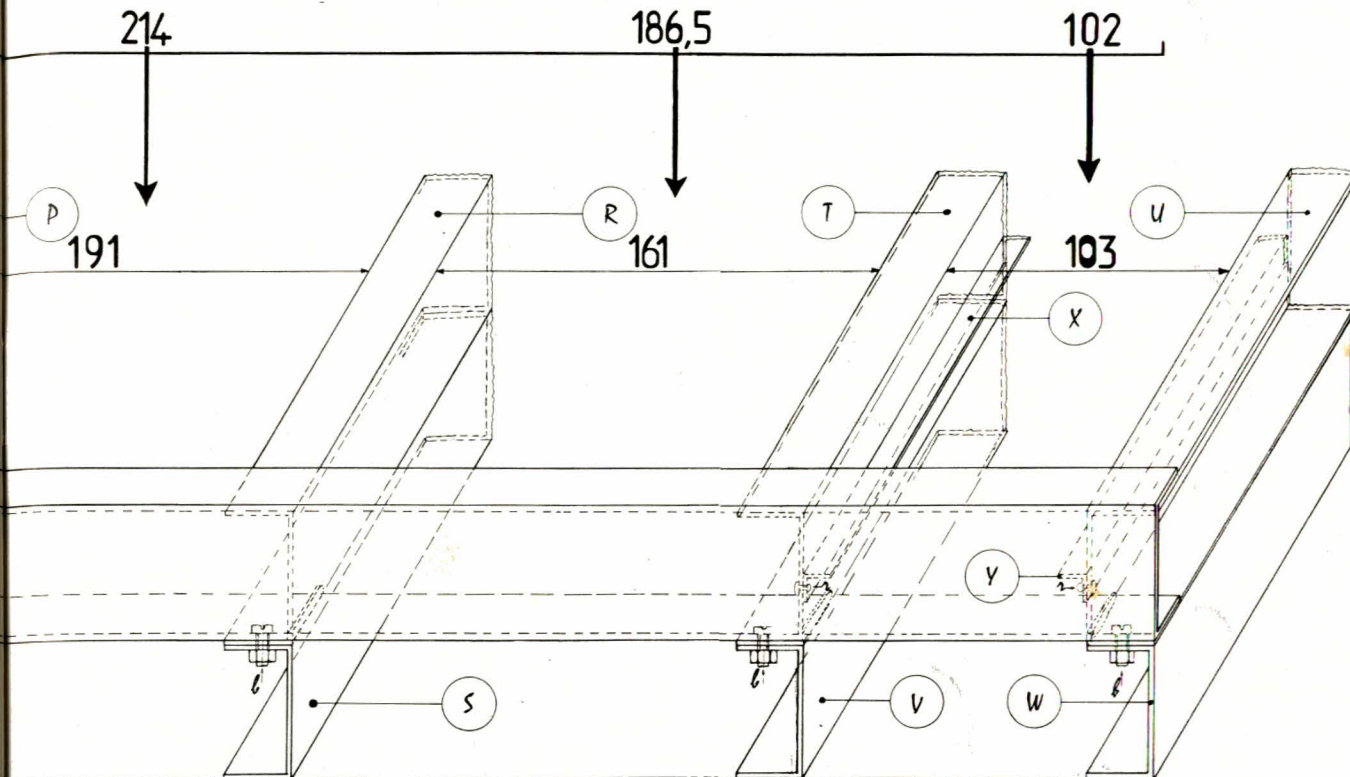
Voilà, vous êtes en possession de la matière, passons à la confection. Isolez du fagot les 10 barres de 896,5 mm en U de  $25 \times 50 \times 25$ . La figure 3 a vous indique ce qu'il faut en faire : prenez en quatre et percez

dans chacune 17 trous de diamètre 19. Très facile à faire avec un emporte pièce. La cote de 19 n'est pas impérative (c'est la dimension nécessaire pour monter des XLR mâles châssis...), pourvu qu'elle se situe au moins entre 18 et 22 mm et que le bord des trous ne soit pas coupant.

Ensuite, prendre 4 autres barres et effectuer à la scie, une fente comme le définit la figure, à chaque extrémité et du même côté. Attention ! Il vous reste deux barres qui sont toutes usinées : elles restent intactes. Vous avez ainsi préparé les pièces M, Q, S, V, P, R, T, U, W et L. De ces 10 barres vous allez faire 5 pièces, en les couplant deux à deux comme suit figure 3 b : Prendre une barre échancrée et une percée, percer trois trous de  $\varnothing 4$  comme indiqué sur le côté du U proche des fentes. Poser cette pièce sur la barre percée et bien les aligner. Marquer le report des trous de  $\varnothing 4$  à l'aide d'un petit morceau de mine de crayon (sauf si votre perceuse fait moins de 46 mm de haut...), percer aux endroits marqués et assembler seulement avec un boulon + rondelle éventail + contre-écrou, par le trou central. Répéter trois fois l'opération. Ce sont les couples PQ, RS, TV.

Les couples UW et ML sont différents : UW est constitué d'une barre





échancrée et d'une intacte ; De plus, les U sont opposés. ML est fait des deux restantes, soit une intacte sur une percée. Le plus gros est fait (si, si). Percer maintenant un côté de chacune des petites équerres identiques J et J', avec un foret de  $\varnothing 4$  (figure 3 c. Préparer ensuite les pièces N et N', en coupant un de leur côté à 45° comme indiqué. Attention, il y en a une gauche et une droite, regardez bien avant de couper ! Il faut maintenant assembler ces 4 pièces sur le couple ML (c'est celui qui n'est pas échancré) en les positionnant comme indiqué sur le dessin : N, J et N', J' affleurent les extrémités de ML, et N et N' sont décollées à leur base de 1 mm de M. On préférera utiliser 3 rivets pop par côté mais on pourra aussi visser à la condition que les têtes de vis soient à l'intérieur des U.

La figure 3 d montre comment finir les pièces TV et UW, en leur rivant les petites équerres de  $10 \times 10$  (X et Y, destinées à accueillir les modules départ-multipiste. **REGARDEZ BIEN LES DESSINS ! C'est le premier grand moment car tout ce qui est prêt va s'assembler très vite :** On engage une des barres de 727,5 (O et O') dans l'ensemble MLNJ comme indiqué en 3°. O est porté par L et le recouvre en partie. Fixer avec boulon et rivet après avoir reporté au crayon le trou du boulon et

percé celui du rivet. Vérifiez l'équerrage. Faire de même de l'autre côté pour O'. C'est là que les cotes de coupe sont importantes : la pièce L par exemple, est recouverte deux fois sur 23 mm soit  $896,5 - 46 = 850,5$  donc 17 fois 50 plus 5/10 de jeu ! En effet, la grande qualité de l'aluminium que nous avons choisi autorise de se contenter de 5 dixièmes de millimètre de jeu pour 17 modules.

Pour finir la partie plane de notre châssis, il suffit de monter UW à l'autre extrémité figure 3 f, et de répartir PQ, RS, TV figure 3 g, en respectant bien les cotes mentionnées, les équerrages, et le sens des pièces.

L'auteur sourit, car il vient de constater qu'il lui a fallu autant de temps pour écrire ce que vous venez de lire, qu'il en a mis pour construire son châssis complet ! Enfin, vous avez déjà de quoi stocker 68 modules.

## Réalisation de la partie inclinée

Il était hors de question d'avoir à plier quoi que ce soit (l'aluminium anodisé se casse ou se fendille, et le pliage de précision n'est pas à la portée de tous). C'est pourquoi nous avons mis au point un autre système d'as-

semblage, tout aussi efficace et très facile à réaliser. Voici comment procéder : Prendre trois barres de 280 mm A, B, C) et les placer côte à côte sur une surface bien plane, après avoir percé comme indiqué figure 4 a, celle que l'on aura placée au centre. Faire en sorte que la pièce B dépasse de ses voisines d'exactement 2 mm. Marquer, percer et assembler. Faire de même avec les pièces A', B', et C'.

Reporter ensuite les cotes nécessaires pour tracer les deux traits de découpe, puis couper. Attention, il y a un côté droit et un gauche, ils sont symétriques mais pas identiques. Pour vous aider, nous avons dessiné la figure 4 a côté gauche, et la figure 4 b côté droit.

Une fois la coupe faite, il faut dégager « pointu » des jointures AB et CD, pour récupérer une surface plane destinée à recevoir les pièces E, E', N, N'. Pour ce faire, on sera amené à démontrer provisoirement l'assemblage car la scie ne peut pas déboucher côté 217. Enfin, on positionnera les équerres E et E' et on percera 4 trous de  $\varnothing 4$  comme indiqué en 4 b. Ces trous serviront à fixer les pièces SI et K, taillées dans le profilé dessiné figure 2 e. Relier maintenant les deux côtés par la barre I, sans bloquer les vis on aura au préalable chanfreiné leurs logements.



Il est temps de raccorder cet ensemble au châssis plan que nous avons précédemment construit. Aidez-vous de la figure 4c et des photos de détails. Le résultat doit être le suivant : L'ensemble doit s'emboîter exactement et se fixer aux pièces N et N', le plan de base doit s'aligner avec la partie plane. Le bord de C prolonge le bord de O et s'engage derrière celui-ci. Enfin, les arrêtes communes à I et L doivent se toucher sans forcer. Quelques petits coups de lime pour oter les bavures et casser les bords permettront un assemblage parfait que l'on immobilisera par 8 rivets pop et en serrant les vis de I.

On peut placer maintenant le TE (H) en procédant ainsi : le rentrer à l'intérieur de C, C' et ajuster la cote H I à 136 mm. Percer deux trous de 3 mm de chaque côté pour lier H à C et C'. Attention, il faut bien respecter l'équerrage et percer les trous au-dessus de la jambe du TE. En effet, ces 4 vis devront être cachées par le bandeau G et seuls 10 mm de H seront visibles. Les têtes des vis seront totalement noyées dans l'épaisseur de C et C'. Emboîter G et le fixer par les deux boulons arrière (G compense un des écarts de 2 mm que nous vous avons indiqué figure 4 a).

Il faut assembler D et K : D sera fendu de chaque côté sur 26 mm et 2,5 mm de large. On positionnera très précisément K, comme le montre la figure 4 d après avoir coupé 2 mm de chaque côté à une branche du L de D (on aura ainsi fait passer sa cote de  $900,5 - 4 = 896,5$ , longueur exacte de K). On fera ensuite en sorte que K soit en retrait de 2 mm de la face interne de D. Ceci fait, on emboîtera l'ensemble ainsi constitué en le faisant glisser comme un tiroir dans A et A'. On le fixera à l'aide de 4 vis parker dans les trous déjà faits (H est à l'intérieur de A et D recouvre A sur toute sa longueur). Enfin, on emboîte F comme on a fait pour G.

**C'EST FINI !**

## Notes

L'auteur n'ose pas penser à sa cote de popularité après une telle description... pour sa défense, il y a quand même un résultat qui en vaut la peine et il est conscient que ce type de structure - jamais décrite - donnera des idées aux bricoleurs.

Précisons encore quelques points importants :

— Ne pas avoir peur de refaire plusieurs fois les mesures et vérifier constamment les équerrages.

— Les seules vis apparentes sont sur les côtés, et l'esthétique du bloc arrière bien parallèle n'est pas très heureuse. Rassurez-vous, tout rentrera dans l'ordre quand nous garnirons les côtés de bois ; les formes seront adoucies et les vis ne seront plus visibles.

— Reportez-vous régulièrement à la figure générale n° 5. La longueur des modules (extérieure) est indiquée, mais ne cherchez pas à faire le calcul des recouvrements : Il n'y a pas d'erreur, un peu de patience !

— L'auteur a dû construire deux structures pour vous proposer un produit sûr. Il en a retiré qu'il peut garantir (avec la qualité de l'aluminium utilisé) que 17 modules de 50 mm de côte-à-côte dans 850,5 mm ne posent aucun problème d'insertion et assurent une qualité d'assemblage « pro ».

— Veillez à ce que l'aspect des barres proposées soit impeccable. N'acceptez pas de rayures car vous ne pourriez rien faire pour les éliminer (surtout n'attaquez pas la couche anodisée avec un abrasif quelconque).

— Une fois l'ensemble construit, vous voilà tranquilles avec la mécanique et prêts à jouer pleinement des modules qui seront décrits.

## Services

Comme nous l'avons dit, vous pouvez vous procurer ce mois-ci un plan à grande échelle regroupant toutes les figures de cet article, et l'adresse d'une société susceptible de vous fournir toutes les barres découpées nécessaires à la confection du châssis, avec l'assurance de cotes précises et d'aspect impeccable.

Pour savoir comment procéder, faites exactement ceci : Prenez deux enveloppes suffisamment affranchies, inscrivez au dos de chacune en gros « CONSOLE AC, DOC 185 », mettez votre adresse sur la première et glissez-la dans la deuxième sur laquelle vous porterez l'adresse de RADIO PLANS, 2 à 12, rue de BELLEVUE, 75940 PARIS. C'est tout, inutile de faire une lettre : La meilleure façon de dire un

chaleureux MERCI aux secrétaires de RADIO PLANS, est encore de leur faciliter la tâche.

## Conclusion

L'auteur est conscient d'avoir augmenté votre stress d'au moins 100 points avec une telle réalisation mécanique. D'effroi ou de rêve ? Il ne sait pas, mais si c'est d'effroi, vous verrez que cela ira mieux le mois prochain avec la description du préampli micro. Si c'est de rêve, votre cas s'aggravera sans retour. Expérience faite, ça ne fait pas trop mal... Bon courage !

ALARY Jean

Liste des fournitures nécessaires à la réalisation d'un châssis de 17 tranches, comportant chacune 5 modules

Profilé alu en « u » de 25 × 50 × 25  
10 barres de 896,5 mm (pièces L, M, P, Q, R, S, T, V, U, W)  
2 barres de 900,5 mm (pièces G, F)  
6 barres de 280 mm (pièces A, A', B, B', C, C')  
2 barres de 727,5 mm (pièces O, O')

Equerres alu de 20 × 20  
2 barres de 97 mm (pièces N, N')

Equerre de 30 × 30 alu  
2 barres de 70 mm (pièces E, E')  
1 barre de 900,5 mm (pièce D)  
2 barres de 25 mm (pièces J, J')

Equerre alu de 10 × 10  
2 barres de 896,5 mm (pièces X et Y)

Tube alu de 15 × 30, profilé pour  
2 vis Parker en bout  
2 barres de 896,5 mm (pièces I et K)

Té alu de 25 × 25  
1 barre de 896,5 mm (pièce H)

Faire couper les cotes de 896,5 mm avec le même réglage machine  
26 boulons de 4 × 20 et 52 écrous  
26 rondelles éventail pour boulons de 4  
4 vis de 3 × 20 à tête fraisée plate, ainsi que 8 écrous pour dito.  
4 vis Parker de 4 × 20 à tête fraisée bombée.  
Une quarantaine de rivets pop de 4 × 10.



# Comment développer votre concentration et votre MEMOIRE

**Enfin une méthode pratique, nouvelle...  
qui donne des résultats quasi-instantanés et sans effort de volonté !**

Il existe maintenant une technique simple pour acquérir une mémoire puissante et fidèle. Que ce soit dans votre travail ou en société, avec cette méthode, vous aurez plus d'assurance et de confiance en vous.

On vous regardera avec plus d'admiration et de considération.

Vous penserez plus clairement et vous vous exprimerez avec aisance.

**B**eaucoup de gens ne font rien pour leur mémoire car ils ne savent pas que l'on peut considérablement développer sa concentration et sa mémoire.

## Développez les pouvoirs naturels de votre mémoire

Cette nouvelle méthode a été mise au point par un psychologue américain et fait fureur aux USA.

Des milliers d'Industriels, hommes d'affaire, commerciaux, syndicalistes, étudiants et secrétaires ont suivi avec succès les 10 jours d'entraînement (à raison d'une heure par jour) — alors qu'au départ, ils pensaient avoir une mauvaise mémoire.

Le "truc" réside dans l'utilisation des réserves du cerveau. Vous savez sans doute que nous n'utilisons que 10 % de notre potentiel cérébral. La méthode du Dr Brothers libère votre esprit des freins qui bloquent les 90 % qui restent.

## Des résultats au-to-matiques

Les résultats sont automatiques. C'est la façon la plus facile de retenir les noms, les visages, les numéros de téléphone, les discours, et même la musique.

Un "Mnémomètre" vous permet de mesurer vos progrès jour après jour.

Pas de "clefs", de "listes", de techniques compliquées à apprendre : révélez les pouvoirs naturels qui sont déjà en vous.

## VOTRE CADEAU GRATUIT

Si vous retournez ce bon avant le 10.03.85, nous joindrons à votre méthode un petit livre de John Clark et Christian Godefroy : "Faites-le maintenant" qui vous dévoilera la clef de la confiance et du succès. Vous pourrez le garder même si vous vous faites rembourser.

## Voici ce que vous découvrirez dans cette méthode :

- ☐ Les 8 étapes pour retenir un discours, une histoire drôle ou une anecdote.
- ☐ Comment retenir les noms et briller dans les discussions.
- ☐ L'art de lire plus vite en mémorisant tout ce que vous lisez, (étonnant).
- ☐ 9 règles pour économiser votre mémoire.
- ☐ Comment apprendre en dormant.
- ☐ Vos heures de mémorisation optimale.
- ☐ Des "trucs" pour vous souvenir de l'orthographe — de l'histoire et des données techniques.
- ☐ 3 conditions simples pour améliorer vos associations mentales.
- ☐ La règle d'or de la concentration.
- ☐ Les meilleurs moyens pour gagner du temps.

Deux-cent-soixante pages pratiques qui se dévalent comme un roman !

## Des preuves

① Le Dr Brothers a démontré l'efficacité de sa méthode en remportant 50 millions de centimes à un "quitte ou double" télévisé.

"Dans ma méthode, je vous explique comment j'ai fait et comment vous pouvez multiplier par 10 la puissance de votre mémoire. N'y cherchez pas d'attrape-nigaud ou de supercherie — il n'y en a pas. Il ne s'agit que d'un fait naturel, mis à jour suite à de longues recherches et patients travaux de psychologues, médecins et autres scientifiques".

Dr Brothers.

② Si, en suivant la méthode, vous n'obtenez pas le même résultat, retournez-nous le livre dans les 30 jours qui suivent sa réception, et vous serez remboursé par retour.

③ Tous les lecteurs sont unanimes :

"J'ai lu votre méthode plus spécialement pour apprendre l'allemand. Je n'ai pas été déçu. Elle m'a permis de retenir facilement le vocabulaire et mon professeur m'a félicité de mes progrès..."

Jean-Claude S. à Genève

"J'ai passé avec succès mes derniers examens, pourtant pas faciles. J'ai pu retenir sans effort des textes entiers et mon oral s'est très bien passé. Remerciez le Dr Brothers de ma part pour sa méthode, qui est formidable".

Michel P. à St-Claude

"Maintenant, je suis plus sûr de moi devant les autres et je défends plus facilement mon point de

vue. Les arguments se présentent à mon esprit, comme sur un tableau devant moi. Mon attention et ma concentration se sont décuplées".

Jeannine R. à Thiais

## Quel que soit votre âge, vous obtiendrez des résultats IMMEDIATS

Vos enfants amélioreront leurs résultats scolaires avec cette méthode. Examens et concours deviennent un jeu d'enfant lorsque l'on a une mémoire "incollable".

Le manque de mémoire est une maladie qui se soigne à tout âge. Faites quelque chose pendant qu'il en est encore temps.

Dans les études, dans le travail et dans la vie, ceux qui ont de la mémoire remportent tous les premiers prix. Soyez de ceux-là !

Demandez vite votre exemplaire à l'essai sans engagement, et en 10 jours — 10 jours seulement — votre mémoire et votre concentration seront littéralement transformées.

## BON POUR UN ESSAI LIBRE DE 30 JOURS

à retourner aux Editions Godefroy, B.P. 9, rue du Moulin, 27760 La Ferrière-sur-Risle.

**OUI** la méthode du Dr Brothers m'intéresse. Je veux en avoir le cœur net et vérifier si en 10 jours ma mémoire s'améliore vraiment beaucoup.

LP 12 ☐ Envoyez-moi "Comment développer  
GP 02 votre concentration et votre mémoire  
en 10 jours" 145 F + 12 F de frais  
d'envoi réglé par  
☐ CCP ☐ Mandat-lettre ☐ Chèque

Je préfère la recevoir en contre-remboursement (145 F + 27 F de frais d'envoi, soit 172 F à payer au facteur).

Il est entendu que je dispose de 30 jours pour examiner l'ouvrage commandé — Si je ne suis pas satisfait(e), il me suffit de le retourner pour être intégralement remboursé(e).

Nom \_\_\_\_\_

Prénom \_\_\_\_\_

Adresse \_\_\_\_\_

Code \_\_\_\_\_ Ville \_\_\_\_\_

Suisse : Ed. Reuille - ch gd Mont Fleury n° 6/ch 1290 Versoix.  
Canada : Ed. Frémontel 1350 Sherbrooke O.n° 910, MTL H3G1J1.  
12567



# SERVICE

# CIRCUITS IMPRIMÉS

Les circuits imprimés dont les références figurent sur cette page correspondent à des réalisations sélectionnées par la rédaction suivant deux critères :

- 1) difficulté de reproduction,
- 2) engouement présumé (d'après votre courrier et les enquêtes précédemment effectuées).

Nous sommes contraints d'effectuer un choix car il est impossible d'assurer un stock sur toutes les réalisations publiées. Par ailleurs, cette rubrique est un service rendu aux lecteurs et non une contrainte d'achat : les circuits seront toujours dessinés de façon à ce qu'ils soient aisément reproductibles avec les moyens courants.

Certaines références non indiquées ici sont encore disponible (nous consulter).

## Circuits imprimés de ce numéro :

Références	Article	Prix* estimatif
EL 447 A	Préampli pour bobines mobiles .....	36 F

## Circuits imprimés des numéros précédents :

Références	Article	Prix estimatif
EL 415 C	Inverseur 772 .....	20 F
EL 415 D	Ampli de sortie à 2310 .....	20 F
EL 418 A	Récepteur IR + affichage .....	80 F
EL 418 C	Platine clavier pour l'émetteur I.R. ..	12 F
EL 419 B	Système d'appel secteur, émet. ....	20 F
EL 419 C	Système d'appel secteur, récept. ....	26 F
EL 419 D	Système d'appel secteur, répét. ....	14 F
EL 421 B	B. Sitter, platine de commande ....	24 F
EL 422 G	Platine synthèse Em. R/C .....	20 F
EL 424 A	Cinémomètre, carte principale .....	130 F
EL 424 B	Cinémomètre, carte affichage .....	28 F
EL 424 F	Programmation d'Eprom, carte aff. ...	36 F
EL 425 D	CR 80, platine principale (n° 424) ...	122 F
EL 425 C	RX 41 MHz à synthèse .....	42 F
EL 426 A	Interface ZX81 .....	48 F
EL 426 B	Synthé de fréquence ZX81 .....	32 F
EL 426 C	Platine TV Siemens .....	112 F
EL 426 D	Clavier (Platine TV) .....	40 F
EL 426 E	Affichage (Platine TV) .....	18 F
EL 427 B	Commutateur bicourbe Plat. princ. ...	114 F
EL 427 C	Commutateur bicourbe Alimentation ...	30 F
EL 427 D	Comm. bicourbe Ampli de synch. ...	16 F
EL 428 B	Carte Péritel .....	48 F
EL 428 D	Extension EPROM ZX81 .....	18 F
EL 428 E	Ampli téléphonique .....	24 F
EL 429 A	Carte de transcodage .....	66 F
EL 429 B	Bargraph 16 LED .....	66 F

EL 430 A	Ventilateur thermostatique .....	30 F
EL 430 B	Synthétiseur RC .....	50 F
EL 430 C	Tête HF 72 MHz .....	34 F
EL 430 D	HF 41 MHz .....	34 F
EL 431 A	Alim. et interface pour carte à Z 80 ..	42 F
EL 432 A	Centrale de contrôle batterie .....	20 F
EL 432 B	Centrale convertisseur .....	14 F
EL 432 C	Centrale shunt .....	8 F
EL 432 D	Séquenceur caméra 1 .....	26 F
EL 432 E	Séquenceur caméra 2 .....	36 F
EL 432 F	Millichmètre .....	40 F
EL 433 A	Préampli (carte IR de base) .....	28 F
EL 433 B	Préampli (carte IR codage) .....	38 F
EL 433 C	Synthé : alimentation .....	46 F
EL 433 D	Synthé : carte oscillateur .....	58 F
EL 434 A	Préampli (carte alim.) .....	46 F
EL 434 B	Préampli (carte de commutation) ...	66 F
EL 434 C	Préampli (correcteur de tonalité) ....	22 F
EL 434 D	Préampli (carte récept. linéaire) ....	82 F
EL 434 E	Synthétiseur (carte VCF, VCA, ADSR)	72 F
EL 434 F	Synthétiseur (carte LFO) .....	32 F
EL 434 G	Mini-chaîne (carte amplificateur) ....	58 F
EL 435 A	Synthé gestion clavier .....	114 F
EL 435 C	Synthé interface D/A .....	38 F
EL 435 D	Générateur pour tests sono .....	24 F
EL 436 A	Testeur de câbles CT 3 .....	48 F
EL 436 B	Préampli carte logique .....	68 F
EL 436 C	Préampli carte façade .....	102 F
EL 437 A	Carte codeur SECAM .....	100 F
EL 437 B	Mini-signal tracer .....	22 F
EL 438 A	Synchrodis .....	30 F
EL 438 B	Convertisseur élévateur .....	20 F
EL 439 A	Alarme hyperfréquences .....	156 F
EL 439 B	Alimentation pour glow-plug .....	22 F
EL 439 C	Meltem 99, carte principale .....	68 F
EL 439 D	Meltem 99, carte affichage .....	12 F
EL 440 A	Préamplificateur .....	30 F
EL 440 B	Booster symétriseur .....	50 F
EL 442 A	Carte de transmission secteur .....	34 F
EL 442 B	Boîte de direct .....	26 F
EL 443 A	Transitoires couleur .....	14 F
EL 444 A	FA 2 : filtre + bruit rose .....	50 F
EL 445 A	Progeprom .....	65 F
EL 446 A	Distorsiomètre platine principale ....	68 F
EL 446 B	Distorsiomètre filtre actif .....	33 F

\* Frais de port : voir fiche de commande



## Initiation au

## langage

## machine

## 2<sup>e</sup> partie

Dans le numéro précédent, nous avons examiné la structure interne d'un microordinateur ainsi que l'organisation d'un microprocesseur.

Cette deuxième partie sera entièrement consacrée à l'important problème de la représentation de l'information dans un ordinateur.

En particulier, nous étudierons le codage des nombres, des caractères alphanumériques, et des instructions. Nous évoquerons enfin l'influence de ce codage sur la vitesse d'exécution des programmes.

### Le langage binaire

Un ordinateur, étant principalement un ensemble de circuits électriques, ne peut manipuler que des grandeurs électriques. C'est pourquoi, l'information sera représentée par une tension pouvant varier entre 0 et 5 volts.

Pour réduire le coût du codage, on ne considère que deux états de cette tension :

- L'état bas, conventionnellement représenté par 0, correspond à une tension inférieure à 0,4 volts.
- L'état haut, représenté par 1, correspond à une tension supérieure à 2,8 volts.

Ainsi, lors d'une communication entre les différents éléments d'un ordinateur, l'émetteur mettra sur le fil liaison une tension inférieure à 0,4 volts pour émettre le message « 0 » ou supérieure à 2,8 volts pour émettre « 1 ».

Ainsi, le langage utilisé par un ordinateur est composé de deux symboles, notés arbitrairement « 0 » et « 1 » et appelés bits (contraction de binary digits). Ce langage est le langage binaire.

### Codage des nombres

Pour représenter un nombre entier, on formera un mot en assemblant plusieurs symboles. Le cas le plus courant consiste à utiliser des mots de 8 bits.

Exemple d'un mot de 8 bits : 0010 1110. Étant donnée la suite de bits :  $a_n, a_{n-1} \dots a_2, a_1, a_0$ , on fait correspondre le nombre :

$$N = a_n 2^n + a_{n-1} 2^{n-1} \dots + a_0 2^0.$$

Par exemple, au mot de 8 bits 00101110, on associe le nombre :  $N = 2^5 + 2^3 + 2^2 + 2^1 = 46$ .

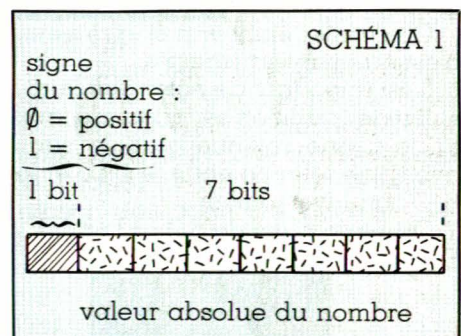
Remarquons qu'il n'est possible que de représenter des nombres positifs.

C'est pourquoi, en utilisant des mots de 8 bits, on pourra coder des entiers compris entre  $00000000 = 0$  et  $11111111 = 255$ .

Cette représentation est dite en convention non signée.

Pour représenter des nombres négatifs, il est nécessaire d'utiliser un autre code.

Une première méthode consiste à coder le signe par le bit de gauche du mot. Pour des mots de 8 bits, on trouvera alors la structure :



Remarquons que dans ce cas, la valeur absolue du nombre est comprise entre 0 et 127. On pourra donc représenter les nombres compris entre - 127 et + 127.

Ce codage, malgré sa simplicité, présente deux inconvénients majeurs.

— Le nombre « zéro » possède deux représentations (00000000 et 10000000) correspondant à + 0 et à - 0.

— Les opérations élémentaires ne sont pas simples à programmer. Il faut en effet tenir compte de tous les cas qui peuvent se présenter :

- les deux opérandes sont positives ;
- les deux opérandes sont négatives ;
- les deux opérandes sont de signes opposés.

C'est pourquoi on utilise souvent un autre code qui élimine ces inconvénients ; ce code est appelé complément à deux.

Les nombres positifs sont représentés de la même façon que précé-



demment. Par contre, les nombres négatifs sont représentés par le code de leur valeur absolue, complémenté, auquel on a ajouté 1 à tous les bits. Ainsi, leur 8<sup>e</sup> bit sera égal à 1.

Exemple : 2 est codé par 00000010  
inversion des bits :  
11111101  
on ajoute 1  $\Leftrightarrow$  - 2 :  
11111110

Les nombres négatifs que l'on peut coder seront compris entre - 1 (11111111) - 128 (10000000).

Remarquons que les inconvénients rencontrés précédemment disparaissent :

- 0 est toujours codé par 00000000
- les opérations élémentaires se font simplement.

Exemple :

2	00000010
+	3 00000011
=	5 00000101

5	00000101
+	(- 3) 11111101
=	2 (1) 00000010

Ce dernier étant vrai si la retenue n'est pas prise en compte.

Il est important de noter que le résultat de l'addition sera déclaré faux s'il y a une retenue globale sans avoir une retenue entre le bit 6 et le bit 7, ou inversement.

On parle alors de débordement.

Exemple :

- 128	10000000
- 128	10000000
=	0!! (1) 00000000

pas de retenue partielle

Les codes présentés ci-dessus ne sont pas les seuls utilisés pour représenter les entiers. On emploie quelquefois le code Gray qui permet d'éviter les ambiguïtés des commutations ou plus fréquemment un code décimal codé binaire (DCB ou BCD) dans lequel chaque chiffre est représenté séparément.

## Code Gray

0 est codé par 0000...0 et l'on ne change qu'un seul bit en passant d'un nombre au suivant.

Pour des mots de 3 bits :

0	→	000
1	→	001
2	→	011
3	→	010
4	→	110
5	→	111
6	→	101
7	→	100

## Code BCD (binary coded decimal).

Chaque chiffre est codé séparément sur 4 bits :

Par exemple 321 peut être codé par :

0011	0010	0001
3	2	1

L'inconvénient de ce code est qu'il met en jeu un grand nombre de bits.

## Le codage des nombres réels

Un nombre réel,  $\alpha$  par définition un nombre infini de chiffres. Il ne sera possible de tous les représenter et c'est pourquoi on ne prendra en compte que les premiers chiffres, appelés chiffres significatifs.

Un nombre réel peut s'écrire :

$X = M \cdot \alpha^E$ , dans lequel :

M est la mantisse qu'on choisira comprise entre 1/2 et 1 ;

$\alpha$  est la base de l'exponentiation ;  $\alpha = 2$  dans la majorité des cas ;

E est l'exposant.

Le codage d'un nombre réel pourra donc être décomposé en un codage de deux nombres : M et E.

L'exposant E, qui est un entier, sera codé en complément à 2, à la différence près que les bits de signe seront inversés (l'exposant est négatif si son bit de signe est 0 et positif s'il est égal à 1). Ainsi :

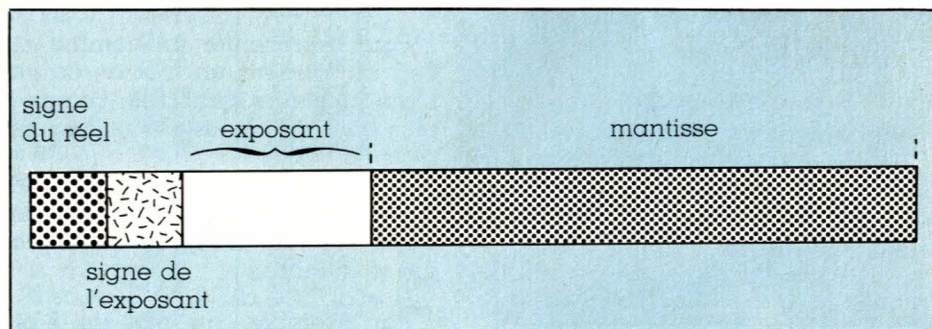
0000 représente l'exposant le plus négatif

0111 représente l'exposant - 1

1000 représente l'exposant 0

1111 représente l'exposant le plus positif.

La structure d'un nombre réel sera donc :



Dans cette représentation, zéro sera codé par 00...00 comme dans la représentation binaire en complément à deux.

En pratique, ce codage est utilisé dans certaines machines scientifiques mais pas dans tous les ordinateurs, chaque constructeur ayant défini une représentation personnelle.

## Le codage des caractères

Le codage des caractères est moins compliqué que celui des nombres. En effet, on ne fait pas de calculs sur des caractères, et l'opération la plus compliquée consiste à les comparer entre eux.

Les caractères sont utilisés dans un ordinateur pour les communications avec l'homme. On trouvera donc les chiffres, les lettres, les symboles de ponctuation, et quelques caractères particuliers (\$, l'espace, le saut de ligne,...), soit au total une centaine de symboles. On pourra donc les représenter par des mots de 7 bits ( $2^7 = 128$ ).

En général, les lettres sont classées par ordre alphabétique, de façon à ce que la lettre « b », par exemple, soit représentée par le code de la lettre « a » augmenté de 1. De même, les chiffres sont classés par ordre croissant.

Un code standard, utilisé par la plupart des constructeurs, dénommé code ASCII (American Standard Code for Information Interchange) permet de faire communiquer plusieurs ordinateurs.

## Code ASCII (American Standard Code for information Interchange).

Dans ce code, chaque caractère est codé par un mot de 7 bit. Les lettres sont classées par ordre alphabétique et les chiffres sont ordonnés.

A est codé par 100 0001 (noté 65)

B est codé par 100 0010 (noté 66)

C est codé par 100 0011 (noté 67)

etc.

Le code d'une minuscule s'obtient en ajoutant 010 0000 (noté 32) au code de la majuscule correspondante.

Ainsi, « a » est codé 110 0001 (noté 97)

« b » est codé 110 0010 (noté 98)

Les caractères de contrôle sont obtenus en retranchant 100 0000 au code de



la majuscule correspondante. Ainsi, CTRL A est codé 000 0001 (noté 1) etc. Parmi ces caractères spéciaux, retons :

CTRL H : backspace, fait reculer le curseur d'une case

CTRL I : fait avancer le curseur d'une case

CTRL J : fait avancer le curseur d'une ligne

CTRL K : fait reculer le curseur d'une ligne

CTRL L : réalise un saut de page ou efface l'écran

CTRL N : est l'équivalent de la touche RETURN

Le codage des chiffres est très simple :

« 0 » est codé par 011 0000 (noté 48)  
« 1 » est codé par 011 0001 (noté 49) etc.

En conséquence, pour obtenir un chiffre à partir de son code ASCII, il suffit de considérer les 4 bits de droite.

Ceux-ci donnent en effet la représentation classique du chiffre.

Le petit programme suivant permet de calculer très simplement la valeur d'un chiffre à partir de son code ASCII  
LDA CODE ASCII ; recherche du caractère ASCII

AND #\$0F ; annulation des 4 bits de gauche

STA NOMBRE ; et rangement du résultat qui représente le chiffre en binaire.

Les autres caractères, comme « . », « , », « ; », « [ »... n'ont pas de code simple. Toutefois, DELETE est codé par 1111111 (noté 127).

Ceci est dû à l'utilisation des cartes perforées : en cas d'erreur, comme on ne peut plus reboucher les trous, on les perce tous, ce qui signifie que le caractère ne doit pas être pris en compte (et ceci correspond au rôle de DELETE).

Ainsi, certaines instructions seront codées sur 1 octet (1 octet est un mot de 8 bits), d'autres sur 2 ou 3 octets.

Nous obtenons la structure suivante :

1 <sup>er</sup> octet	2 <sup>e</sup> octet	3 <sup>e</sup> octet
ordre	adresse	
LDA	1000	
INC	1000	
STA	1000	
CLR	1000	

Remarquons que les adresses peuvent être codées de deux façons :

— Soit on place d'abord les poids forts puis les poids faibles (ex. 6800 - 6809)

— D'abord les poids faibles puis les poids forts (6502, Z80, 8085).

Il existe aussi des instructions qui sont codées sur deux octets.

Exemple : LDA # \$ 27 qui signifie charger l'accumulateur avec la valeur 27.

Quelques microprocesseurs, pour être compatibles avec un modèle antérieur, en étant beaucoup plus puissants, possèdent des codages plus compliqués : par exemple, le Z80 a des instructions codées sur 4 octets.

**Influence du codage sur la durée d'exécution :**

Le temps d'exécution d'une instruction est proportionnel au nombre d'accès à la mémoire, car celle-ci a un temps de réponse relativement important. Une horloge rythme le fonctionnement du microprocesseur.

Ainsi, pour lire une instruction, les opérations suivantes sont effectuées :

1. Sur un passage de l'horloge de 5 à 0 volt, il envoie l'adresse de l'instruction vers la mémoire. Cette dernière mettant un certain temps à répondre, le microprocesseur ne pourra lire l'instruction que lors du passage de l'horloge de 0 à 5 volts (front de montée).

2. Pendant que l'horloge reste au niveau haut, le microprocesseur décode l'instruction grâce à un circuit logique.

3. Si l'instruction comporte une adresse, le microprocesseur envoie cette adresse vers la mémoire lors du front de descente suivant et lira le résultat lors du front de montée suivant.

4. Il recommence éventuellement la même chose si l'adresse comporte un deuxième octet.

5. Au coup d'horloge suivant, il exécute l'instruction et incrémente le compteur programme.

6. Si l'instruction agit sur des cases de la mémoire, il lui faut encore lire ou écrire vers les cases en question.

Nous constatons finalement que la durée d'une instruction est supérieure ou égale au nombre d'accès mémoire qu'elle doit réaliser.

Prenons par exemple quelques instructions du 6502 :

— L'instruction NOP (= ne rien faire) est codée sur 1 octet. Il suffit donc au microprocesseur de lire une fois la mémoire et l'instruction est terminée.

Cette instruction prend 2 coups d'horloge.

— Les instructions : CLI, CLC, SEC, SEI, etc (= mettre à 0 ou à 1 les drapeaux CARRY, I, etc.) sont également codées sur 1 octet et prennent 2 coups d'horloge.

— L'instruction LDA # \$ 27 (chargeur dans « A » la valeur 27) est codée sur 2 octets. Le microprocesseur doit donc lire 2 fois la mémoire pour pouvoir l'exécuter.

Cette instruction prendra 2 coups d'horloge.

— L'instruction LDA \$ 1000 (chargeur dans « A » le contenu de la case 1000) est codée sur 3 octets (car il faut deux octets pour coder l'adresse qui peut varier de 0 à 65535). Cette instruction doit donc lire 4 fois la mémoire (3 fois pour savoir ce qu'il faut faire plus 1 fois pour aller effectivement chercher le contenu de la case d'adresse 1000). Elle prendra donc 4 coups d'horloge.

— L'instruction JSR \$ 1000 (équivalent en assembleur de GOSUB 1000 en basic). Cette instruction se code sur 3 octets et nécessite pour son exécution deux accès mémoire supplémentaires pour sauvegarder l'adresse de retour sur la pile.

Nous constatons que cette instruction prend 6 coups d'horloge.

**CC :** La durée d'une instruction augmente en général avec le nombre d'accès mémoire.

Une autre cause qui fait augmenter la durée d'une instruction est la complexité de l'opération à effectuer. Par exemple, le 6809 possède une instruction pouvant effectuer la multiplication de deux mots de 8 bits. Cette instruction, opérant sur les registres internes ne demande qu'un seul accès à la mémoire. Par contre, elle dure 11 coups d'horloge.

Il est malgré tout rentable d'utiliser ces instructions car un programme écrit à l'aide d'instructions courantes (additions, etc.) ce qui ferait la même chose serait beaucoup plus lent.

C. BERGEROT

## Le codage des instructions

Une instruction comporte non seulement un ordre, mais aussi l'adresse en mémoire de la case concernée par cet ordre. Par exemple, l'instruction : LDA \$ 1000, qui signifie charger dans l'accumulateur A, le contenu de la case mémoire d'adresse 1000 sera représentée par :

— le code de LDA

— le code de l'adresse 1000

La mémoire étant constituée de mots de 8 bits, et le microprocesseur pouvant en général adresser 65 536 cases, nous constatons qu'il est nécessaire d'utiliser 2 mots pour coder les adresses. L'ordre (par exemple LDA) sera codé sur 1 mot.



# LES BRANCHÉS LISENT HIFI STÉRÉO



En plus de ses rubriques habituelles, Hi-Fi Stéréo a repris sa rubrique « Dossiers ». Régulièrement, ce sont vingt maillons Hi-Fi du même type qui sont passés au crible : mesures et possibilités bien sûr, mais aussi et surtout conseils optimaux d'utilisation pour chaque appareil, et compte rendu d'écoute.

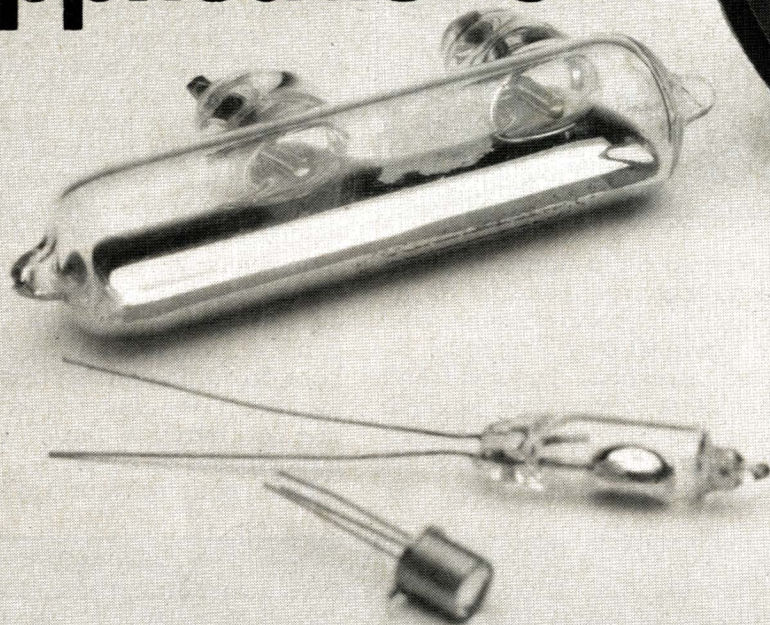
Le tout sans compromis !

Chaque mois, dans Hi-Fi Stéréo, vous trouverez des bancs d'essai et des reportages nombreux, pour vous aider à mieux choisir votre chaîne Hi-Fi.

**HiFi**  
stéréo



# Les capteurs et leurs applications



**fin**

Destinés à transformer les manifestations de phénomènes physiques en informations compréhensibles par une électronique de traitement appropriée, les capteurs constituent les organes essentiels de nombreux systèmes.

Pour en effectuer la mise en œuvre correcte, quel que soit leur type (mécanique, électrique, électronique), il est nécessaire d'en connaître les caractéristiques techniques et les conditions limites d'emploi.

Le but de cet article était de vous présenter le panorama le plus complet possible des capteurs courants.

Classés par genre, nous vous invitons à découvrir ce mois-ci la dernière partie consacrée aux capteurs de niveaux.

## Les capteurs de niveaux

Ils sont généralement de deux sortes : soit mécaniques, soit électriques. Dans le premier cas, un flotteur est solidaire d'un mécanisme simple assurant un contact. Dans le

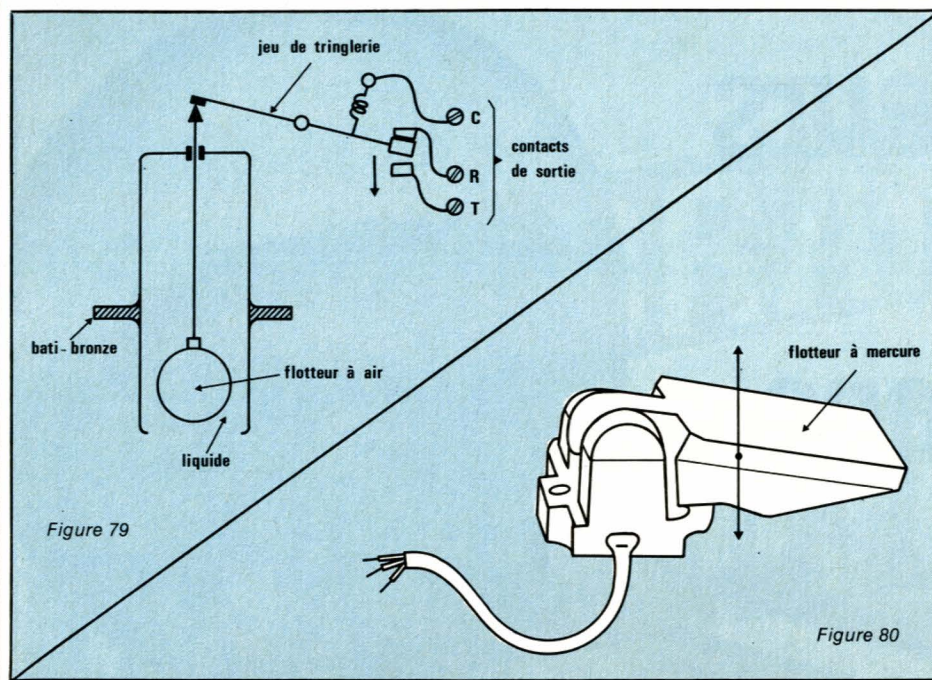
second, les modèles peuvent être plus ou moins sophistiqués : Capteurs à détection opto électronique, capteurs anti-corrosion, capteurs inductif, etc.

Le schéma de la figure 79 représente un capteur de niveau à flotteur

type MOBREY, comme ceux généralement utilisés pour les alarmes de niveau cale, dans les navires de la Marine Marchande. Un flotteur métallique peut glisser dans un bâti bronze, dès lors que le niveau d'eau monte. Par un jeu de leviers et de tringleries simples, un contact est actionné pour une position déterminée de la tige du flotteur. Un réglage peut être obtenu en jouant sur la longueur de cette tige ou sur le système de levier.

Un autre détecteur de niveau, dont le schéma est donné à la figure 80, est constitué d'une ampoule à mercure comme celle représentée à la figure 6. Celle-ci est insérée dans un flotteur plastique qui peut pivoter autour d'un point de rotation. Le fonctionnement est alors très simple. Dès que le niveau d'eau atteint une certaine limite, le flotteur s'élevant fait basculer le mercure contenu dans l'ampoule et il y a contact en





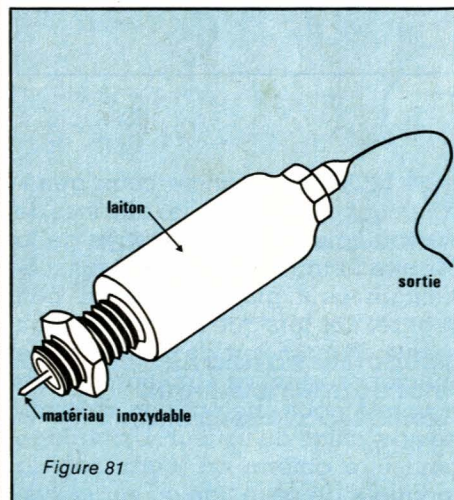
réalisé dans cet appareil grâce aux portes logiques N1 et N2 associées aux deux résistances de 10 k $\Omega$ . Lorsque le contact a lieu, un état bas est appliqué sur la base du transistor BC 177 qui se sature. Un potentiel positif se trouve alors sur la cathode du thyristor BRY 55 et celui-ci s'amorce. L'alarme retentit et est mémorisée. Si le niveau est redevenu normal, l'annulation de l'alarme et l'arrêt du signal sonore est effectué en appuyant sur le bouton BP.

L'appareil de détection de niveau représenté à la figure 83 utilise un capteur statique dont le fonctionnement est identique à la sonde de la figure 81. La seule différence consiste en l'emploi d'un modèle spécial à deux lames inoxydables isolées du corps du capteur. Le fonctionnement de ce détecteur est relativement simple. Deux oscillateurs de fréquence différente sont commandés par l'intermédiaire des électrodes de la sonde. Chaque oscillateur délivre en sortie un signal carré et lorsque l'alarme à lieu, la base du darlington de puissance est soumise à des alternances hachées que l'on retrouve amplifiées sur le haut parleur de sortie.

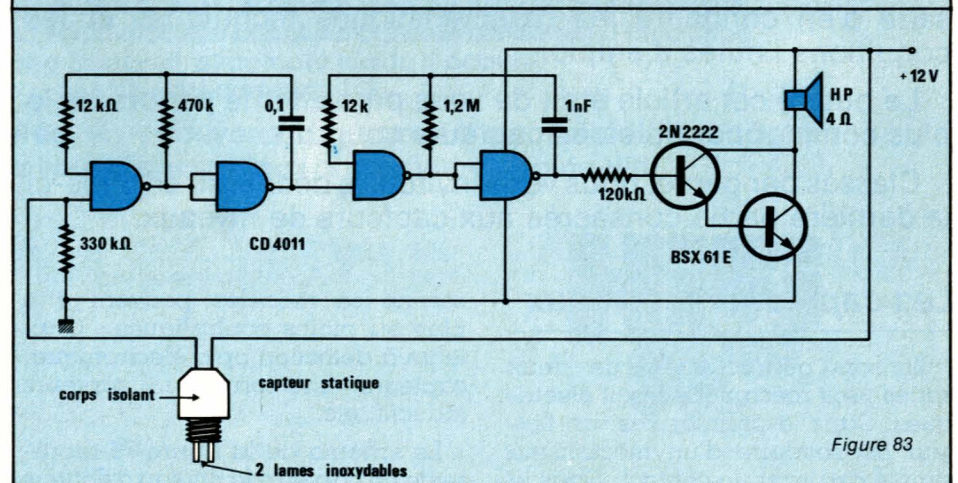
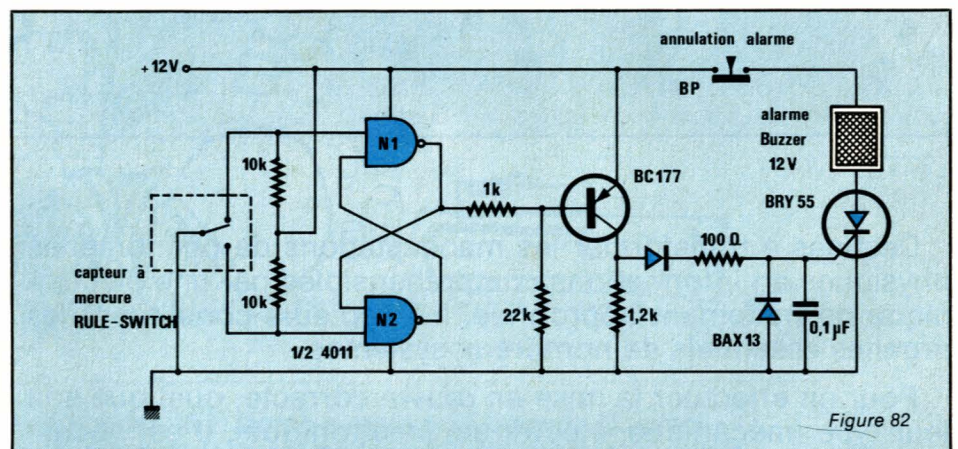
Enfin, nous trouvons à la figure 84

sortie. Ces deux systèmes sont très fiables et couramment utilisés à bord des navires. Si le premier est plus robuste, le second est totalement étanche et peut être immergé. Mais pour l'un comme pour l'autre, nous avons affaire à un fonctionnement mécanique tributaire, notamment dans un navire, à la gîte, au tangage et au roulis. À la figure 81 nous avons représenté un détecteur de

Le schéma de la figure 82 représente un montage d'alarme de niveau haut. Le capteur utilisé est celui de la figure 80 dont l'ampoule de mercure correspond à un inverseur. Comme nous l'avons déjà expliqué au tout début de cet article, le contact étant mécanique, il nous faut un système anti-rebonds, ce qui est



niveau de type statique. Il est constitué d'une enveloppe en laiton qui peut être vissée, par exemple, sur une paroi de cuve, dans laquelle se trouve insérée une tige métallique en matériau inoxydable. Lorsqu'un liquide conducteur (eau par exemple) atteint le capteur, il y a détection entre l'électrode centrale et le boîtier annulaire. À ce moment, un montage électronique approprié prend en compte cette détection.





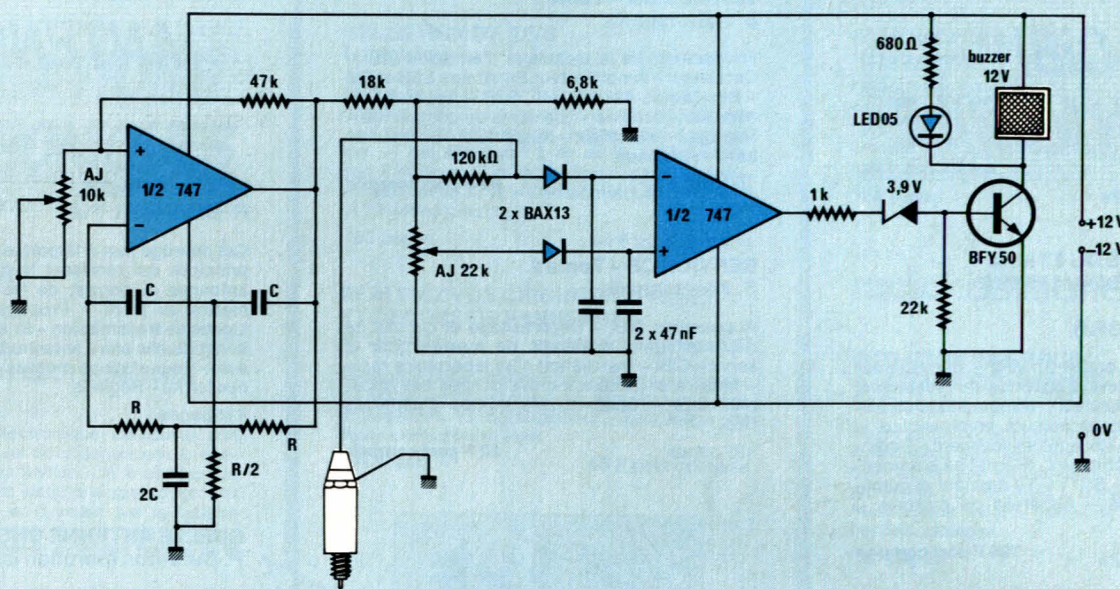


Figure 84

un dernier montage détecteur de niveau. Celui-ci utilise la sonde statique de la figure 81. Le schéma est relativement plus complexe que les précédents du fait de l'utilisation d'une sonde statique non isolée, parcourue par un courant sinusoïdal. Un tel choix, s'il est judicieux par l'emploi d'un signal sinusoïdal de fréquence appropriée et de basse tension, prédispose à une électrolyse pratiquement nulle au niveau de l'électrode centrale de la sonde, ainsi qu'à une corrosion réduite au minimum, surtout en eau de mer. La première partie du montage, réalisée autour du premier amplificateur opérationnel d'un 747, représente l'oscillateur sinusoïdal. C'est un oscillateur à filtre sélectif, le gain de l'amplificateur étant légèrement supérieur à l'affaiblissement provoqué par le filtre, et la tension ramenée à l'entrée doit tomber en phase. Le filtre ayant une fréquence de transmission minimale, il est placé dans la chaîne de réaction négative. La fréquence d'oscillation d'un tel montage est donnée par la relation :

$$F = \frac{1}{2 \pi R.C}$$

avec F en Hertz  
R en ohms  
C en Farads

On déterminera aussi précisément que possible la valeur de R et C, pour obtenir une fréquence de l'ordre de 1 500 Hz. Le potentiomètre de 10 kΩ permet, quand à lui, la mise au point du montage. Il agit à la

fois sur l'amplification et le déphasage, c'est-à-dire sur la distorsion et la fréquence. Après réduction de l'amplitude des sinusoïdes par le pont diviseur 18 kΩ/6,8 kΩ, nous attaquons un pont de Wheatstone constitué de la résistance de 120 kΩ, des deux résistances de part et d'autre du curseur du potentiomètre de 22 kΩ et de la résistance du capteur. Les deux diodes BAX 13 et les condensateurs de 47 nF redressent et filtrent la tension alternative, de façon à obtenir un signal continu entre les bornes inverseuses et non inverseuses du deuxième ampli OP du 747 qui travaille en comparateur. Il suffit alors qu'il y ait déséquilibre du pont dû à la détection d'eau par la sonde statique, pour que la sortie du comparateur bascule, saturant de ce fait un transistor NPN type BFY 50 dans le collecteur duquel est monté un buzzer. L'alarme retentit donc et s'arrête lorsque le capteur n'est plus en contact avec l'eau. On règle la sensibilité de l'appareil grâce au potentiomètre de 22 kΩ du pont de Wheatstone.

## Conclusion

Avec ce dernier montage, nous en avons terminé avec l'étude des capteurs et leurs applications. Bien sûr, tous n'ont pas été cités, tous n'ont pas été décrits, un livre entier n'y suffirait pas. Nous avons fait en sorte tout au long de cet article, par un choix judicieux de capteurs simples et courants, comparativement à d'autres

sophistiqués et inconnus, d'aider le mieux possible les lecteurs débutants pour le choix des composants, ainsi que de parachever les connaissances des autres par la description de matériels peu fréquents. Ainsi pensons-nous répondre aux souhaits de chacun, pour une meilleure compréhension des réalisations décrites.

C. DE MAURY



## Documentations

COMPEA - FIGARO - KLIXON - NATIONAL SEMI-CONDUCTOR - MOBREY - MURATA - M.C.B. - SIEMENS - SOCAPEX - SPECTROL - R.T.C. - TEXAS INSTRUMENTS.